

Redakční rada:

Doc. Ing. Dr. L. Oppl, CSc. (vedoucí redaktor) — Ing. V. Bašus (výkonný redaktor) —  
Doc. Ing. Dr. J. Cihelka — V. Fridrich, dipl. tech. — Doc. Ing. V. Chalupová, CSc. —  
Ing. arch. L. Chalupský — Doc. Ing. J. Chyský, CSc. — Ing. B. Jelen — Ing. L. Kubíček —  
Ing. Dr. M. Lázňovský — Ing. L. Strach, CSc. — Doc. Ing. J. Valchář, CSc.

Adresa redakce: Dvorecká 3, 147 00 Praha 4

OBSAH

Doc. V. Chalupová, CSc., Ing. K. Sobotková:	Rozbor fyzikálních podmínek využití řízené interference ke snižování hluku . . . . .	65
V. A. Brojda,		
V. N. Posochin:	Výpočet odsávání od průmyslových van . . . . .	71
J. Ráž, J. Prózr,	Vliv způsobu výpočtu tepelných ztrát a velikosti otopných těles na tepelnou pohodу ve vytápěném prostoru . . . . .	79
J. Lipanová:		
Ing. J. Šimeček, CSc.:	Porovnávání dvou granulometrických metod . . . . .	91
Dr. Ing. R. Zimmermann:	Energeticky hospodárne čisté prostory . . . . .	99
Ing. Š. Ondáš:	Grafické určovanie hodnôt dopadajúceho slnečného žiarenia na ľubovoľne orientovanú rovinu . . . . .	103
Ing. J. Matějček,		
Ing. P. Kutina, CSc.,	Zkušenosti z provozu zařízení pro rekuperaci tepla z odpadních vod . . . . .	107
Ing. M. Hartl:		

CONTENTS

Doc. V. Chalupová, CSc., Ing. K. Sobotková:	The analysis of physical conditions of the controlled interference utilization for the noise reduction . . . . .	65
V. A. Brojda,		
V. N. Posochin:	The calculation of the exhaustion of the industrial tanks . . . . .	71
J. Ráž, J. Prózr,	Influence of the heat losses calculation method and the heat bodies size upon thermal comfort in a heated room . . . . .	79
J. Lipanová:		
Ing. J. Šimeček, CSc.:	Comparasion of two granulometric methods . . . . .	91
Dr. Ing. R. Zimmermann:	Clean rooms economical in power consumption . . . . .	99
Ing. Š. Ondáš:	Graphical determination of the values of impinging solar radiation on the arbitrary directed plane . . . . .	103
Ing. J. Matějček,		
Ing. P. Kutina, CSc.,	An experience from the operation of the equipment for heat recuperation from waste water . . . . .	107
Ing. M. Hartl:		

ACADEMIA

## СОДЕРЖАНИЕ

Доц. Инж. В. Халупова, Аналisis физических условий использования регулируемых т.н., Инж. Соботкова: мой интерференции к понижению шума . . . . .	65
В. А. Бороды, . . . . .	
В. Н. Постохин: . . . . .	
Й. Раж, Й. Прозр, . . . . .	
Й. Липанова: . . . . .	
Инж. Я. Шимечек, . . . . .	
к.т.н.: . . . . .	
Д-р Инж. . . . .	
Р. Зиммерманн: . . . . .	
Инж. Ш. Ондаш: . . . . .	
Инж. Й. Матейчек, . . . . .	
Инж. М. Кутина, к.т.н., Опыт из эксплуатации оборудования для рекуперации тепла из сточных вод . . . . .	107
Инж. М. Гартл: . . . . .	

## SOMMAIRE

Doc. V. Chalupová, CSc., Ing. K. Sobotková: Analyse des conditions physiques de l'utilisation de l'interférence commandée pour la diminution d'un bruit . . . . .	65
V. A. Brojda, . . . . .	
V. N. Posochin: . . . . .	
J. Ráž, J. Prózr, . . . . .	
J. Lipanová: . . . . .	
Ing. J. Šimeček, CSc.: . . . . .	
Dr. Ing. R. Zimmermann: . . . . .	
Ing. Š. Ondáš: . . . . .	
Ing. J. Matějček, . . . . .	
Ing. P. Kutina, CSc., . . . . .	
Ing. M. Hartl: . . . . .	
Expériences de l'exploitation d'une installation pour la récupération de chaleur des eaux résiduaires . . . . .	107

## INHALT

Doc. V. Chalupová, CSc., Ing. K. Sobotková: Analyse der physikalischen Ausnutzungsbedingungen der gesteuerten Interferenz zur Lärmverminderung . . . . .	65
V. A. Brojda, . . . . .	
V. N. Posochin: . . . . .	
J. Ráž, J. Prózr, . . . . .	
J. Lipanová: . . . . .	
Ing. J. Šimeček, CSc.: . . . . .	
Dr. Ing. R. Zimmermann: . . . . .	
Ing. Š. Ondáš: . . . . .	
Ing. J. Matějček, . . . . .	
Ing. P. Kutina, CSc., . . . . .	
Ing. M. Hartl: . . . . .	
Erfahrungen aus dem Betrieb einer Anlage für die Wärmerekuperation von Abfallwässern . . . . .	107

# ROZBOR FYZIKÁLNÍCH PODMÍNEK VYUŽITÍ ŘÍZENÉ INTERFERENCE KE SNIŽOVÁNÍ HLUKU

DOC. ING. V. CHALUPOVÁ, CSc., ING. K. SOBOTKOVÁ  
ČVUT, fakulta elektrotechnická, katedra fyziky

Akustici se již dlouho zabývají myšlenkou aktivního útlumu hluku, kde nežádoucí zvuk je tlumen sekundárním zvukem opačné fáze. V článku jsou popsány základní principy aktivního útlumu.

Recenzoval: Ing. Jiří Ransdorf, CSc.

Při řešení otázek snižování hluku je již dlouho známa snaha o minimalizaci akustické emise s využitím aktivního útlumu. Předpokládejme, že existuje v prostředí zdroj hluku emitující vlnění (označme ho jako primární zdroj); pak jestliže by při splnění všech nutných fyzikálních předpokladů existoval v prostředí přídavný zdroj zvuku (označme ho jako sekundární), který by emitoval vlnění, které by se s vlněním primárního zdroje rušilo v důsledku interference, došlo by k aktivnímu útlumu zvuku v prostředí.

Nové možnosti řešení tohoto problému nabízí využití systémového přístupu. Obecná teorie systémů zde vychází z nejsložitějšího zcela obecného modelu a postupnou approximací dochází k jednodušším formám řešení využitelných v praxi.

## 1. SYSTÉMOVÝ PŘÍSTUP K ŘEŠENÍ AKTIVNÍHO ŘÍZENÍ HLUKU

Aktivní řízení hluku je aplikací Huygensova principu a principu interference. Předpokládejme, že máme dán soubor primárních zdrojů  $q_p$ . Tyto zdroje můžeme považovat za vstup do systému  $G$ , jehož výstupem je primární pole  $F_p$ . Rovnici systému pak můžeme vyjádřit jako [2]:

$$GF_p = q_p. \quad (1)$$

Primární pole  $F_p$ , které můžeme získat buď výpočtem nebo měřením, se však liší od požadovaného výsledného pole. Toto výsledné pole označené  $F_r$  můžeme vyjádřit pomocí modifikačního operátoru  $M_F$

$$F_r = M_F \cdot F_p. \quad (2)$$

Tento modifikační operátor můžeme získat, jestliže známe primární i výsledné pole. Jestliže aplikujeme modifikační operátor též na primární zdroje získáme modifikované zdroje  $q_m$

$$q_m = M_F q_p. \quad (3)$$

Víme však, že tyto modifikované zdroje  $q_m$  nemohou vytvořit výsledné pole  $F_r$ , protože

$$GF_r \neq q_m.$$

Zavádíme proto sekundární zdroje  $q_s$ , které umožňují získání požadovaného výsledného pole  $F_r$ .

Operační rovnice pak má tvar

$$GF_r = q_m + q_s. \quad (4)$$

Po dosazení rovnice (2) a (3) získáme

$$\begin{aligned} GM_F F_p &= M_F q_p + q_s, \\ GM_F F_p &= M_F G F_p + q_s. \end{aligned} \quad (5)$$

Z této rovnice pak můžeme vyjádřit sekundární zdroje  $q_s$

$$q_s = (GM_F - M_F G) F_p. \quad (6)$$

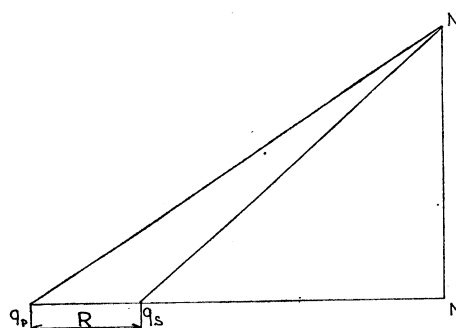
Aktivní řízení hluku odpovídá speciálnímu případu, kde modifikační operátor  $M_F$  je nulový v té části prostoru, kterou chceme řídit.

## 2. VYUŽITÍ PRINCIPU INTERFERENCE

Jestliže se v prostoru šíří více vln, pak jejich okamžitá výchylka výsledného vlnění je dána vektorovým součtem okamžitých výchylek jednotlivých vlnění.

U periodických vlnění dochází k interferenci, tzn., že v určitých místech dochází k trvalému zeslabení či zesílení vlnění. Vlny mohou být generovány více zdroji, nebo mohou vznikat např. odrazem od překážek. Výsledkem interference je úplné nebo částečné stojaté vlnění. Vlnění o stejném kmitočtu, které má stálý fázový posun, se nazývá koherentní vlnění. Interference se pak projevuje trvalým zesílením či zeslabením akustického vlnění v daném bodě. Fáze výsledného vlnění v obecném případě závisí jak na poloze bodu, v němž studujeme výslednou výchylku tak i na umístění zdrojů.

Má-li být akustický tlak vyzářovaný primárním zdrojem anulován interferencí



Obr. 1. Uspořádání primárního a sekundárního zdroje

s antihlukovou vlnou vysílanou sekundárním zdrojem vzdáleném o  $R$  od primárního zdroje, viz obr. 1, musí obě vlny dojít do bodu  $M$  se stejnou amplitudou a s fázovým rozdílem  $\Delta\varphi$ , kde

$$\Delta\varphi = \pi - kR. \quad (7)$$

kde  $k$  je vlnové číslo.

Z toho vyplývá, že úplného interferenčního minima [4] je možno dosáhnout pro daný kmitočet pouze v jediném bodě  $M$ . Pro každý jiný bod  $N$  bychom museli pro dosažení této podmínky změnit nastavení amplitudy i fáze. Můžeme si vyjádřit interferenční útlum, jestliže akustické tlaky vyzařované primárním a sekundárním zdrojem nejsou zcela vyváženy.

Nechť primární zdroj má akustický tlak

$$p_p = A e^{j\omega t} \quad (8)$$

a sekundární zdroj má akustický tlak

$$p_s = -(A + \Delta A) e^{j(\omega t + \delta\varphi)}, \quad (9)$$

kde  $\Delta A$  je chyba amplitudy a  $\delta\varphi$  je chyba fáze.

Akustický tlak pro interferenci získáme jako součet akustického tlaku primárního a sekundárního zdroje [3]

$$|p_p + p_s| = A \left[ 4 \left( 1 + \frac{\Delta A}{A} \right) \sin^2 \left( \frac{\delta\varphi}{2} \right) + \left( \frac{\Delta A}{A} \right)^2 \right]. \quad (10)$$

Jestliže definujeme interferenční útlum  $\Delta$  jako

$$\Delta = 10 \log \left| \frac{p_p}{p_p + p_s} \right| \quad [\text{dB}], \quad (11)$$

pak

$$\Delta = -10 \log \left[ 4 \left( 1 + \frac{\Delta A}{A} \right) \sin^2 \left( \frac{\delta\varphi}{2} \right) + \left( \frac{\Delta A}{A} \right)^2 \right]. \quad (12)$$

Interferenční útlum tedy závisí jak na chybě amplitudy, tak i na chybě fáze akustického tlaku sekundárního zdroje.

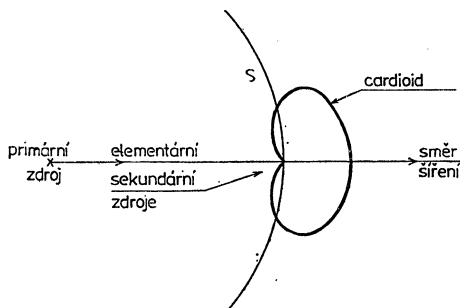
### 3. ZDROJE ZVUKU

Zdroj zvuku může mít velmi různorodý charakter. Zdroj zvuku může být např. mechanického nebo aerodynamického původu. Pro posouzení významnosti zdroje vyjadřujeme jeho akustický výkon, popřípadě hladinu akustického výkonu.

Podle směrové charakteristiky vyzařování definujeme zdroj směrový, který vyzařuje energii v závislosti na směru a všeobecný zdroj, který vyzařuje energii do všech směrů [6]. Směrovat zdroje se velmi významně uplatňuje při aktivním řízení zvuku. Interferenční útlum bude tím vyšší, čím více akustické energie primárního zdroje bude vyzařováno právě ve směru do řízené oblasti. Účinky sekundárního zdroje jsou též směrové, vyzařování je maximální ve směru šíření, zmenšuje se pomalu v jiných směrech a rovná se nule v opačném směru [8] (obr. 2). Sekundární zdroje jsou rozloženy rovnoměrně na hranici řízené oblasti  $Z_0$ .

Podle převládajících rozměrů zdroje a směrů vyzařování definujeme bodový, přímkový, plošný a obecný zdroj. Zdroj zvuku vytváří akustické pole, které závisí jednak na konfiguraci zdrojů a dále např. na plochách odrážejících zvuk z okolí zdrojů a dalších podmírkách šíření vln v akustickém poli.

Ve volném akustickém poli uvažujeme směry paprsků šířících se od zdroje. V pří-



Obr. 2. Akustické pole primárního a sekundárního zdroje

padě, že při řešení musíme uvažovat i pole odražených vln, je řešení ještě složitější. Definujeme blízké akustické pole, v němž fáze okamžitého akustického tlaku a okamžité akustické rychlosti se vzájemně liší a vzdálené pole, ve kterém můžeme uvažovat tyto veličiny ve fázi.

#### 4. POŽADAVKY NA SEKUNDÁRNÍ ZDROJ

Abychom mohli vypočítat sekundární zdroje, musíme znát primární pole  $F_p$ . Toto primární pole můžeme určit v jednoduchých případech výpočtem nebo obecně přímým měřením pomocí vhodného pole mikrofonu.

Podle Huygensova principu primární zdroj  $q_p$ , který vyvolává akustický tlak  $p_p$ , může být nahrazen vhodnými zdroji, které vyvolávají stejný akustický tlak  $p_p$ . Huygensovy zdroje musí být rozloženy na povrchu ohraňující řízenou oblast  $\Omega$ . Tyto Huygensovy zdroje, které nahražují primární zdroj, můžeme vyjádřit pomocí oddělující funkce  $s(M)$  takto [8]:

$$\begin{aligned} s(M) &= 1 \text{ v řízené oblasti } \Omega, \\ s(M) &= 0 \text{ v neřízené oblasti } \bar{\Omega}. \end{aligned} \quad (13)$$

Změníme-li znaménka Huygensových zdrojů získáme vlastně sekundární zdroje, pak akustický tlak  $p_s$ , které vyvolávají, můžeme vyjádřit jako

$$\begin{aligned} p_s(M, t) &= -p_p(M, t) \text{ jestliže } M \in \Omega, \\ p_s(M, t) &= 0 \text{ jestliže } M \in \bar{\Omega}. \end{aligned} \quad (14)$$

Pracuje-li primární i sekundární zdroj současně, můžeme vyjádřit akustický tlak výsledného pole  $F_r$  v bodě  $M$  a čase  $t$ :

$$\begin{aligned} p(M, t) &= 0 \text{ jestliže } M \in \Omega, \\ p(M, t) &= p_p(M, t) \text{ jinde.} \end{aligned} \quad (15)$$

Tím lze teoreticky dokázat [6], že akustické pole je možno potlačit v oblasti  $\Omega$  vhodným uspořádáním sekundárních zdrojů po obvodu oblasti. Huygensovy zdroje odvozujeme tedy z primárního akustického pole  $F_p$  snímáním vhodné části pole v reálném čase.

## 5. MOŽNOSTI VYUŽITÍ ŘÍZENÉ INTERFERENCE

Celosvětově se zmínky o využití tohoto principu objevují již dlouho, avšak teprve v poslední době došlo k praktickému uplatnění [7]. Omezené použití aktivního útlumu hluku pro vyšší frekvence vychází z obtížné realizace zdroje pro tuto generaci zvuku o vyšších frekvencích. Technologie tedy omezuje použití antihluku směrem k nižším frekvencím slyšitelného rozsahu. Též jsme omezeni geometricky jednoduchými poli primárního zdroje. Nejjednodušším usporádáním je takový prostor, jehož velikost je menší než nejkratší vlnová délka, která má být řízena. Změny tlaku v tomto malém prostoru jsou stejné fáze a celou úlohu můžeme považovat za jednorozměrný případ.

Praktická jsou např. aktivně tlumená sluchátka, kde nedochází k rovnoměrnému útlumu v celém pásmu, ale je potlačena buď část frekvenčního pásma, nebo pouze určité frekvence podle charakteru hluku.

Antihlukové zařízení je též možno využít k potlačení hluku transformátorových rozvodů. Tako lze významně snížit nízkofrekvenční magnetostriktivní hluk, který je nejvíce rušivý a nelze ho snadno tlumit klasickými metodami [4].

Při konstrukci reálného systému pro aktivní řízení zvuku vycházíme z výsledků získaných teoretickým rozborem. Výsledné akustické pole  $F_r$  vzniká současným působením modifikovaných primárních zdrojů  $q_m$  a sekundárních zdrojů  $q_s$ . Ve skutečnosti musíme ještě uvažovat směrové účinky zdrojů, vzájemné působení primárního a sekundárního zdroje, vliv rušivého akustického pozadí, čas potřebný ke zpracování primárního pole a vytvoření pole sekundárního zdroje.

### POUŽITÉ SYMBOLY

$M$	bod v prostoru
$M_F$	modifikační faktor
$q$	akustický zdroj
$F$	akustické pole
$R$	vzdálenost primárního a sekundárního zdroje
$k$	vlnové číslo
$\Delta A$	chyba amplitudy
$\delta\varphi$	chyba fáze
$\Delta$	interferenční útlum
$s(M)$	oddělující funkce
$\Omega$	řízená oblast
$\bar{\Omega}$	neřízená oblast
$Z_o$	hranice řízené oblasti

### LITERATURA

- [1] Ffowcs Williams J. E.: Anti-Sound. Proc. R. Soc. Lond. A 395, 1984.
- [2] Jessel J. M.: Active noise reduction as an experimental application of the general system theory. Inter-noise 83.
- [3] Leventhall H. G., Egheesadi Kh.: Active attenuation of noise: dipole and monopole systems. Inter-noise 79.
- [4] Zahrádka I.: Antihluk jako opatření pro ochranu okolí VVN rozvoden před hlukem transformátorů — teorie a první praktické zkušenosti v ČSSR. Sborník transformátoru BEZ Bratislava, č. 62, 1985.
- [5] Mangiante G. A.: Active sound absorption. J. Acoust. Soc. Am. sv. 61, č. 6. červen 1977.
- [6] Chalupová V., Sobotková K.: Snižování hlučnosti zdrojů. Možnosti využití principů aktivního útlumu hluku interferencí. Zpráva ČVUT-FEL. 1985.

- [7] Chalupová V., Sobotková K., Dupal J.: Rozbor možností snižování hluku v průmyslové výrobě stavebních dílců. Stavební výzkum 3. 86.
- [8] Sobotková K.: Možnosti využití řízení interference ke snížení hluku. Referát k odborné kandidátské zkoušce ČVUT-FEL 1985.

## **АНАЛИЗ ФИЗИЧЕСКИХ УСЛОВИЙ ИСПОЛЬЗОВАНИЯ РЕГУЛИРУЕМОЙ ИНТЕРФЕРЕНЦИИ К ПОНИЖЕНИЮ ШУМА**

*Доц. Инж. В. Чалупова, к. т. н., Инж. К. Соботкова*

Акустики уже много лет занимаются идеей активного затухания шума, где шум глушится вторичным звуком с противоположной фазой. В статье описаны основные принципы активного затухания.

## **THE ANALYSIS OF PHYSICAL CONDITIONS OF THE CONTROLLED INTERFERENCE UTILIZATION FOR THE NOISE REDUCTION**

*Doc. Ing. V. Chalupová, CSc., Ing. K. Sobotková*

The concept of active attenuation of noise, where unwanted sound is cancelled by a secondary sound of opposite phase, has been of interest to acousticians for many years. The basic principles of active attenuation of noise are reviewed there.

## **ANALYSE DER PHYSIKALISCHEN AUSNUTZUNGSBEDINGUNGEN DER GESTEUERten INTERFERENZ ZUR LÄRMVERMINDERUNG**

*Doz. Ing. V. Chalupová, CSc., Ing. K. Sobotková*

Die Fachleute von Akustik beschäftigen sich schon lange Zeit mit einer Idee der aktiven Lärm-dämpfung, wo der unerwünschte Schall durch den Sekundärschall einer entgegengesetzten Phase gedämpft wird. Im Artikel werden die Grundprinzipien der aktiven Dämpfung eingeführt.

## **ANALYSE DES CONDITIONS PHYSIQUES DE L'UTILISATION DE L'INTERFÉRENCE COMMANDÉE POUR LA DIMINUTION D'UN BRUIT**

*Doc. Ing. V. Chalupová, CSc., Ing. K. Sobotková*

Pendant longtemps, les acousticiens s'occupent d'une idée de l'atténuation active d'un bruit où le son indésirable est atténué par le son second d'une phase contraire. Dans l'article présenté, on décrit les principes de base de l'atténuation active.

## **8. KONFERENCE VĚTRÁNÍ A VYTÁPĚNÍ ZEMĚDĚLSKÝCH OBJEKTŮ V ROCE 1988**

*Konference bude pořádána s mezinárodní účastí. Zájem o aktivní i pasivní účast je možno sdělit DT Praha, k rukám Ing. H. Walterové, Gorkého nám. 23, 112 82 Praha 1*

*(B5)*

# VÝPOČET ODSÁVÁNÍ OD PRŮMYSLOVÝCH VAN

Ing. V. A. BROJDA, CSc., Doc. Ing. V. N. POSOCHIN, DrSc.

Kazaňský inženýrsko-stavební ústav, SSSR

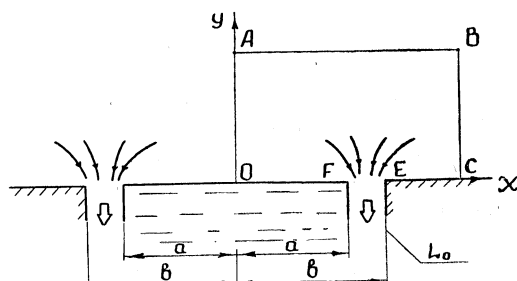
Na základě numerického řešení rovnice difuse je vypočteno pole koncentrací škodliviny ve vzdutém proudu, vytvořeném oboustranným odsáváním od průmyslové vany. Je navržena metoda výpočtu průtoku odsávaného vzduchu, při které koncentrace škodliviny v dýchacím pásmu nepřevyšuje přípustnou hodnotu.

Přeložil a recenzoval: Doc. Ing. Dr. Ladislav Oppl, CSc.

Výpočet odsávání od průmyslových van směřuje k určení potřebného průtoku odváděného vzduchu  $L$ . Existující metody výpočtu (1, 2, 3 aj.) jsou založeny na analýze kinematických charakteristik znečištěného proudu vzduchu nad vanou. Pokud se pole koncentrací škodlivin nad odpařujícím se povrchem nezkoumá, pak řešení úlohy v takovém případě nedává odpověď na otázku zda bude zajištěna normovaná koncentrace v dýchací zóně při vypočteném průtoku odsávaného vzduchu.

V tomto článku je navržena metoda výpočtu průtoku odsávaného vzduchu, při němž koncentrace škodliviny v dýchacím pásmu nepřekročí nejvyšší přípustnou (NPK-P).

Výpočtové schéma vany, opatřené oboustranným bočním odsáváním, je uvedeno



Obr. 1. Schéma pro výpočet

na obr. 1. Proudění je symetrické vzhledem k ose souřadnic a proto v dalším budeme zkoumat jeho pravou polovinu.

Škodliviny se vyvíjejí na úseku OF a šíří se v provozovně difusí. Štěrbinou FE se odsává vzduch, což brání difusi příměsi a lokalizuje je v ohrazeném pásmu. Abychom našli rozložení koncentrací, je nutno řešit v oblasti  $x > 0, y > 0$  úlohu pro dvourozměrnou rovnici difuse

$$\frac{\partial}{\partial x} \left( D \frac{\partial C}{\partial x} + \frac{\partial}{\partial y} \left( D \frac{\partial C}{\partial y} \right) - v_x \frac{\partial C}{\partial x} - v_y \frac{\partial C}{\partial y} \right) = 0, \quad (1)$$

kde  $C$  je koncentrace par,

$v_x, v_y$  složky vektoru rychlosti pohybu vzduchu vyvolaného působením odsávání,

$D$  koeficient turbulentní difuse.

V dalším budeme považovat veličinu  $D$  za konstantní a nezávislou na směru, což odpovídá představě o izotropním charakteru turbulentního pole v provozovně.

Naformulujieme mezní podmínky.

Při

$$x^2 + y^2 \rightarrow \infty \quad C = 0.$$

Vezmeme-li v úvahu, že při řešení rovnice (1) metodou konečných rozdílů zkoumání neomezené oblasti vyvolává určité obtíže, zaměníme ji obdélníkem OABC dostatečně velkých rozměrů, takových, aby

$$C = 0 \quad \text{na } AB \text{ a } BC. \quad (2)$$

Vlivem symetrie pole koncentrací a neproniknutelnosti pevných hranic

$$\frac{\partial C}{\partial x} = 0 \quad \text{na } OA, \quad (3)$$

$$\frac{\partial C}{\partial y} = 0 \quad \text{na } OF \text{ a } EC. \quad (4)$$

Budeme uvažovat, že u povrchu zdroje škodlivin je koncentrace par stálá a známá

$$C = C_0 \quad \text{na } OF.$$

Koncentrace par nad povrchem odpařování závisí na stavu lázně a její teplotě  $t_p$ . Na základě veličin, uvedených v [4–6] je proveden výpočet  $C_0$  a jeho výsledky pro lázně kyseliny solné ( $HCl$ ) a dusičné ( $HNO_3$ ) jsou uvedeny na obr. 2.

Co se týká posledního úseku hrance  $EF$ , připadajícího na plochu odsávací štěrbiny, nemáme žádné údaje o koncentraci v tomto úseku.

Pro rovnoměrnou elliptickou rovnici (1) činí neznalost okrajových podmínek v kterémkoliv úseku okrajovou úlohu neřešitelnou. Abychom se vyhnuli této situaci, budeme uvažovat, že  $D \rightarrow 0$  při přiblížení k  $EF$ . V takovém případě rovnice (1) v hraničním úseku se stává degenerovanou a nevyžaduje zde okrajové podmínky. Takový předpoklad je ekvivalentní domněnce o tom, že v úzkém pruhu, který se přimyká ke štěrbině  $FE$ , turbulentní difuze hraje značně menší úlohu než konvektivní přenos způsobený sacím proudem.

Rovnice (1) s okrajovými podmínkami (2–5) se řeší numerickou metodou konečných rozdílů. Rychlostní pole je určeno výrazy

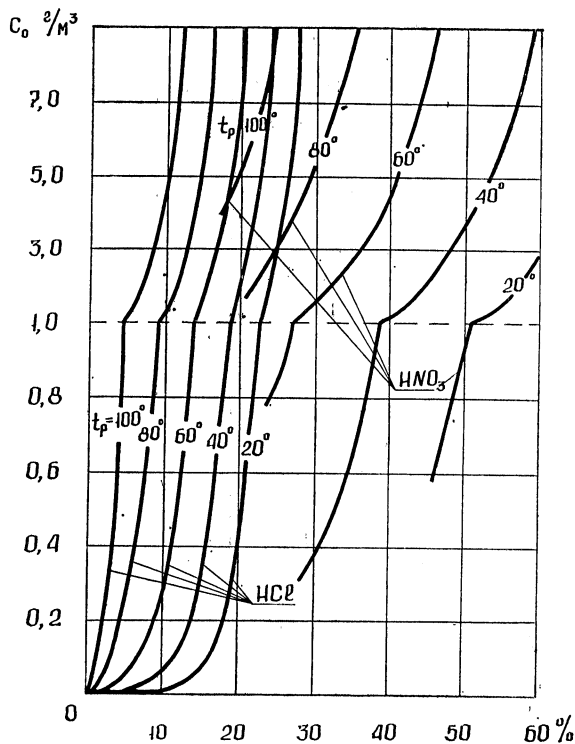
$$v_x = \frac{L_0}{2\pi(b-a)} \ln \frac{[(x+b)^2 + y^2][(x-a)^2 + y^2]}{[(x-b)^2 + y^2][(x+a)^2 + y^2]}, \quad (6)$$

$$v_y = \frac{L_0}{\pi(b-a)} \left\{ \arcsin \frac{x^2 + y^2 - b^2}{\sqrt{[(x+b)^2 + y^2][(x-b)^2 + y^2]}} - \right. \\ \left. - \arcsin \frac{x^2 + y^2 - a^2}{\sqrt{[(x+a)^2 + y^2][(x-a)^2 + y^2]}} \right\}, \quad (7)$$

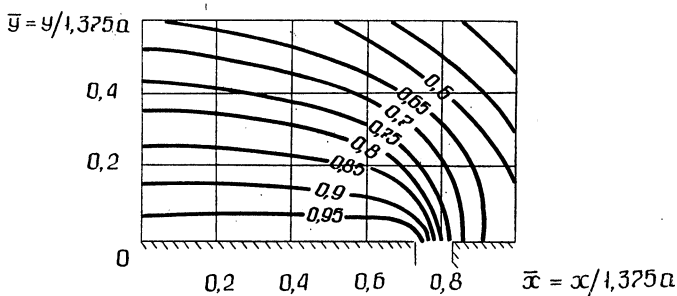
kde  $L_0$  je průtok odsávaného vzduchu na jednotkovou délku štěrbiny —  $L_0 = \frac{L}{2l}$ ,

$l$  délka štěrbiny odsávací.

Typické pole bezrozměrné koncentrace  $\bar{C} = \frac{C}{C_0}$ , vypočtené pro hodnoty para-



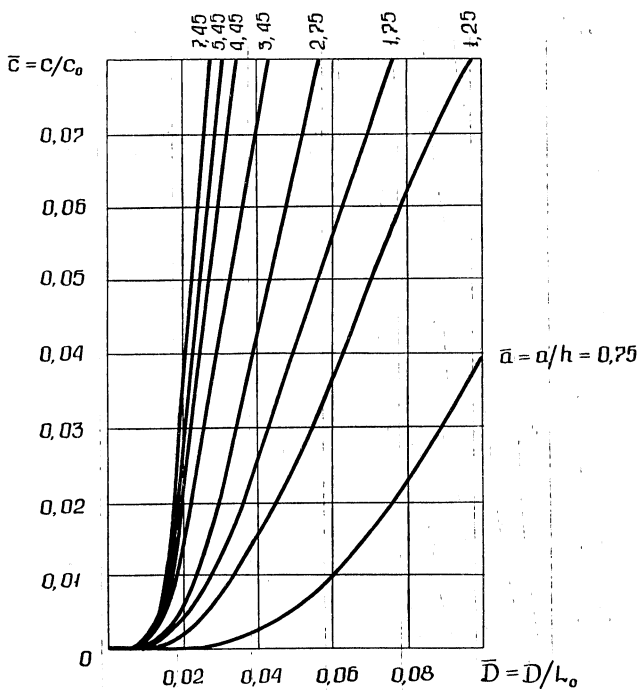
Obr. 2. Koncentrace par  $\text{HCl}$  a  $\text{HNO}_3$  nad hladinou lázně v závislosti na její koncentraci a teplotě (na ose úseček jsou vynesena procenta hmotnostní koncentrace lázně)



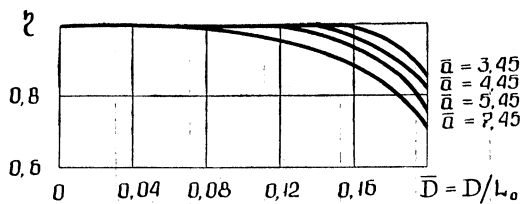
Obr. 3. Výpočtové pole koncentrace  $C = \frac{C}{C_0}$

metrů  $\frac{b-a}{a} = 0,125$ ,  $D = \frac{D}{L_0} = 1$ , je uvedeno na obr. 3. Jednotkou délky je rozměr  $1,375a$ .

Poloha charakteristického bodu, odpovídajícího dýchacímu pásmu, se bere ve výšce  $h = 0,4$  m nad okrajem vany. Počítáme-li koncentraci v charakteristickém



Obr. 4. Závislost koncentrace  $\bar{C}$  v charakteristickém bodě na  $\bar{D}$  a  $\bar{\alpha}$



Obr. 5. Závislost účinnosti odsávání  $\eta$  na  $\bar{D}$  a  $\bar{\alpha}$

bodě se souřadnicemi  $x = a$ ,  $y = h = 0,4$  m můžeme obdržet závislost parametrů  $\bar{C} = \frac{C}{C_0}$ ,  $\bar{\alpha} = \frac{a}{h}$ ,  $\bar{D} = \frac{D}{L_0}$ , která je uvedena na obr. 4. Rozsah hodnot šířky průmyslových van činí  $2a = 0,6$  až  $6,0$  m a v souladu s tím bezrozměrný parametr  $\bar{\alpha} = \frac{a}{0,4}$  se mění v rozmezí  $0,75 \leq \bar{\alpha} \leq 7,5$ . Šířka odsávací štěrbiny se bere konstantní  $b - a = 0,05$  m.

Důležitou charakteristikou odsávání je účinnost zachycení (odsávání), která vyjadřuje poměr průtoků zachycené ( $M_z$ ) a vznikající ( $M_v$ ) škodliviny

$$\eta = \frac{M_z}{M_v}. \quad (8)$$

Difuse škodliviny z povrchu zdroje probíhá v úseku *OF*

$$M_v = M_{OF} = -D \int_{OF} \frac{\partial C}{\partial y} dx. \quad (9)$$

Zachycení se určuje z konvektivního přenosu na úseku *FE*

$$M_z = M_{FE} = \frac{L_o}{b-a} \int_{FE} C dx. \quad (10)$$

Výsledky numerických výpočtů podle výrazů (8–10), provedených současně s výpočtem pole koncentrací, jsou uvedeny na obr. 5.

Zastavíme se u zhodnocení veličiny součinitele turbulentní difuse *D*. Základními příčinami vířivosti vzduchu v pásmu působení oboustranného odsávání jsou výtok přívodních proudů v provozovně, tepelná konvekce nad povrchem lázně i rozvíření u ostrých okrajů stran vany.

Celkový součinitel turbulentní difuse, způsobovaný všemi uvedenými příčinami, se určí z principu součtu měrných energií, přiváděných do proudu vzduchu každým z uvedených faktorů [7]

$$D = K \sqrt{D_C^3 + D_T^3 + D_P^3}, \quad (11)$$

kde  $D_C$ ,  $D_T$ ,  $D_P$  jsou příslušné součinitely difuse, způsobované působením přívodních proudů, tepelnou konvekcí nad ohřátým povrchem lázně a zvířením u okrajů stran,  
 $K$  součinitel získaný experimentálně ( $K = 0,45$ ).

Zkrácené vyhodnocení členů rovnice (11), založené na poučkách zpracovaných *V. M. Eltermanem* [7], dává

$$D_C = 0,25 \left( \frac{1,1 \cdot n \cdot v^2}{7200} \right)^{1/3} \cdot (2a)^{4/3}. \quad (12)$$

$$D_T = 0,007 1(t_p - t)^{4/9} \cdot (2a)^{4/3} \quad (13)$$

$$D_P = 0,16 L_o \frac{H}{l} \left\{ 2 - \left[ 0,25 + \left( \frac{l}{2a} \right)^2 \right]^{-0,5} \right\}, \quad (14)$$

kde  $n$  je násobnost výměny vzduchu v provozovně,

$v$  rychlosť vý toku přívodních proudů,

$t$  teplota vzduchu v místnosti,

$H$  hloubka hladiny pod okrajem vany.

Upozorňujeme, že veličina *D* v podmírkách charakteristických pro galvanovny a mořirny je o několik rádů vyšší než součinitel molekulární difuse, a to i pro velmi těkavé látky (aceton, amoniak aj.). Proto se molekulární difuse ve výpočtu neuvažuje. Obdržené výsledky dávají možnost předložit metodu výpočtu odsávání od van, se kterou je vhodné se seznámit na příkladu.

### Příklad

Má se provést výpočet oboustranného bočního odsávání od mořící vany pro délce z nerez oceli. Délka vany  $l = 1,5$  m, šířka  $2a = 1,2$  m. Hloubka hladiny pod okrajem vany  $H = 0,2$  m. Složení elektrolytu: kyselina dusičná ( $\text{HNO}_3$ ), hmotnostní kon-

centrace — 40 %, teplota lázně  $t_p = 50^\circ\text{C}$ . Násobnost výměny vzduchu  $n = 5 \text{ l/h}$ , střední rychlosť výtoku přívodních proudů —  $v = 2 \text{ m/s}$ . NPK-P pro  $\text{HNO}_3$  je  $5 \text{ mg/m}^3$  (8).

### Řešení

1. Z grafu na obr. 2 určíme koncentraci par kyseliny dusičné nad hladinou lázně

$$C_o = 2,5 \text{ g/m}^3 = 2500 \text{ mg/m}^3.$$

2. Nalezneme požadované snížení koncentrace par  $\text{HNO}_3$  v charakteristickém bodě

$$\bar{C} = \frac{\text{NPK} - \text{P}}{C_o} = \frac{5}{2500} = 0,002$$

a z grafu na obr. 4 nalezneme pro  $\bar{C} = 0,002$  a  $\bar{a} = \frac{0,6}{0,4} = 1,5$  hodnotu  $\bar{D} = 0,0175$ .

3. Určíme součinitele turbulentní difuze z rovnic (11)–(14)

$$D_C = 0,25 \left( \frac{1,1 \cdot 5 \cdot 2^2}{7200} \right)^{1/3} \cdot 1,2^{4/3} = 0,046 \text{ m}^2/\text{s},$$

$$D_T = 0,0071 (50 - 20)^{4/9} \cdot 1,2^{4/3} = 0,041 \text{ m}^2/\text{s}.$$

Předběžně budeme předpokládat, že  $L_0 = 1,3 \text{ m}^2/\text{s}$  a nalezneme

$$D_P = 0,16 \cdot 1,3 \cdot \frac{0,2}{1,5} \left\{ 2 - \left[ 0,25 + \left( \frac{1,5}{1,2} \right)^2 \right]^{-0,5} \right\} = 0,035 \text{ m}^2/\text{s},$$

takže

$$D = 0,45 \sqrt[3]{0,046^3 + 0,041^3 + 0,035^3} = 0,027 \text{ m}^2/\text{s}.$$

4. Průtok odsávaného vzduchu na 1 m délky odsávací štěrbiny činí

$$L_0 = \frac{D}{\bar{D}} = \frac{0,027}{0,0175} = 1,54 \text{ m}^2/\text{s},$$

což dobře souhlasí s prvním přiblížením. Je-li rozdíl větší než 20 %, tak při výpočtu  $D_P$  nutno vzít jinou hodnotu  $L_0$  a přepočítat  $D$ . Požadovaný průtok odsávaného vzduchu činí

$$L = 2 \cdot l \cdot L_0 = 2 \cdot 1,5 \cdot 1,54 = 4,62 \text{ m}^3/\text{s} = 16630 \text{ m}^3/\text{h}.$$

5. Účinnost odsávání se určí z grafu na obr. 5

$$\eta = 100 \text{ \%}.$$

Předložená metoda, jak je zřejmé, je vhodná i pro výpočet odsávání od „chladičů“ van, u nichž  $t_p \approx t$ .

## LITERATURA

- [1] Talićev, V. N.: Aerodynamika ventilacije, Moskva, Strojizdat, 1979.
- [2] Šepelev I. A.: Teoretičeskoje obosnovaniye dejstviya bortovych otsosov. — v knize: Otoplenije, ventilacija i kondicionirovaniye vozducha: Trudy CNIIPromzdanij, vyp. 37. Moskva, 1979
- [3] Drkal, F.: Teoretické řešení kruhového odsávání. Zdravotní technika a vzduchotechnika, 13 (1970).
- [4] Spravočník chimika. t.Z.M., Chimija, 1964.
- [5] Kratkij spravočník chimika. Moskva—Leningrad, Chimija, 1964.
- [6] Černyšev A. K., Poplavskij K. L., Zaičko N. D.: Sbornik nomogramm dlja chimiko-technologičeskikh rasčetov. Leningrad, Chimija, 1969.
- [7] El'berman B. M.: Ventilacija chimičeskikh proizvodstv. Moskva, Chimija, 1980.
- [8] Sanitarnije normy proektirovaniya promyšlennych predpriatij. Moskva, Strojizdat, 1972.

## **РАСЧЕТ ОТСАСЫВАНИЯ ОТ ПРОМЫШЛЕННЫХ ВАНН**

*B. A. Броуда, В. Н. Посохин*

На основе численного решения уравнения диффузии рассчитано поле концентрации вредного вещества в воздушном потоке, созданном двухсторонним отсосом от промышленной ванны. Предлагается метод расчета расхода удаляемого воздуха, при котором концентрация вредного вещества в зоне дыхания не превышает допускаемую величину

## **THE CALCULATION OF THE EXHAUSTION OF THE INDUSTRIAL TANKS**

*V. A. Brojda, V. N. Posochin*

The field of concentrations of the nuisance in the air flow created by two-sided exhaustion of the industrial tank is calculated there on the basis of the numerical solution of the diffusion equation. The method for the exhausted air flow calculation when the nuisance concentration in the respiration zone is not higher than the allowable value is drafted there.

## **BERECHNUNG DER ABSAUGUNG VON INDUSTRIEWANNEN**

*V. A. Brojda, V. N. Posochin*

Auf Grund der numerischen Lösung der Diffusionsgleichung ist das Feld der Schadstoffkonzentrationen im durch die beiderseitige Absaugung von einer Industriewanne ausgebildeten Luftstrom berechnet. Man entwirft eine Berechnungsmethode des Absaugeluftdurchflusses, bei der die Schadstoffkonzentration in einer Atmungszone den zulässigen Wert nicht überschreitet.

## **CALCUL DE L'ASPIRATION DES BAINS INDUSTRIELS**

*V. A. Brojda, V. N. Posochin*

Sur la base de la solution numérique de l'équation de la diffusion, le champ des concentrations d'une matière nuisible dans le courant d'air formé par l'aspiration de côté et d'autre d'un bain industriel est calculé. On projete une méthode de calcul du débit de l'air aspiré où la concentration d'une matière nuisible ne s'élève pas au-dessus de la valeur admissible dans une zone respiratoire.



## ● Nové normy DIN vzduchotechnického potrubí

Po zveřejnění návrhů v r. 1984 a připomínkovém řízení byly v listopadu 1985 v NSR vyhlášeny nové normy DIN plechového potrubí pro vzduchotechniku, nahrazující dosavadní normy z července 1966:

### DIN 24 190:

Čtyřhranné trouby pro vzduchotechnická zařízení; plechové trouby; falcované, svařované

### DIN 24 191:

Tvarovky čtyřhranného potrubí; falcované, svařované

### DIN 24 192:

Spoje plechových čtyřhranných trub a tvarovek

### Příloha 1 k normě DIN 24 192

Příklady spojení lehkými profily

### DIN 24 193/T 1:

Přírudy; úhelníkové přírudy řady 1

### DIN 24 193/T 2:

Přírudy; ploché a úhelníkové přírudy řady 2

### DIN 24 193/T 3:

Přírudy; ploché a úhelníkové přírudy řady 3

### DIN 24 194/T 1:

Těsnost plechových trub a tvarovek; zkoušení

### DIN V 24 194/T 2:

Těsnost; třídy těsnosti potrubních systémů.

Norma DIN 24 194/T 1 má umožnit na základě předepsaných zkušebních podmínek jednoznačné určení úniku vzduchu z plechových trub a tvarovek.

Norma DIN V 24 194/T 2 je předběžná norma (V), která obsahuje hodnoty přípustného úniku z potrubního systému ve čtyřech třídách těsnosti vycházejících ze tří různých zkušebních tlaků.

kkt 1/86

(Ku)

J. Šimeček, V. Štochl:

## Vláknitý prach v pracovním ovzduší

Jako sešit projektanta 03-2 vydala tuto monografii „Ústřední odborná skupina „Pracovní prostředí“ komitétu pro životní prostředí ČSVTS v r. 1986. Publikace v rozsahu 13,3 autorského archu je rozdělena do 7 kapitol a obsahuje 141 stran textu, 33 obrázků, 20 tabulek a 99 citací. Mezinárodními organizacemi (WHO, AIA) doporučené referenční mikroskopické metody stanovení početních koncentrací umělých minerálních vláken, resp. vláken azbestových, jsou uvedeny v závěru práce jako dvě přílohy.

První tři kapitoly se zabývají hygienickou problematikou prašnosti, biologickými účinky a přehledem metod měření vláknitých druhů prachu. Další tři kapitoly uvádějí vlastnosti, definice, charakteristiku a způsoby měření a hodnocení umělých minerálních vláken (např. skleněných), prachu s obsahem azbestu a organických vláknitých prachů v pracovním ovzduší. Poslední kapitola se zabývá zásadami technické protipařné prevence a ochrany pracujících proti prachu.

Publikace je určena technickým i zdravotnickým pracovníkům oboru hygieny práce, pracovníkům hygienické služby a závodních laboratoří prašnosti, funkcionářům bezpečnosti a hygieny práce v závodech s rizikem tohoto druhu prachu; jako učební text může být pomůckou při školení pracovníků v těchto profesích.

Práce vyšla ve Středisku interních publikací Státního nakladatelství technické literatury v Praze jako účelová neperiodická publikace. Objednávky vyřizuje: Prodejna technické literatury, Zelená 15, 160 000 Praha 6.

(Ši)

## ● ZVVZ pro spalovny odpadků

Současná doba klade zvýšené nároky na čistotu životního prostředí, zejména v okolí velkých měst. V Sovětském svazu probíhá plánovaná výstavba spaloven městských odpadků.

Podnik zahraničního obchodu Škodaexport Praha podepsal se sovětským partnerem PZO Mašinimport Moskva kontrakt na dodávku 10. spalovny městských odpadů pro město Kišiněv v Moldavské sovětské socialistické republice. Z ČSSR je dodáváno technologické zařízení tj. kotle z ČKD Dukla a vzduchotechnika ze ZVVZ. Ventilátory pro spalovny vyrábí a dodává ZVVZ Prachatice.

Spalovna v Kišiněvě bude vybudována v letech 1987—1989, bude mít 3 kotly o jednotkovém výkonu 15 tun odpadů za hodinu a vyrábí v každém kotli 40 t · h<sup>-1</sup> páry, která bude vytápět město.

Spalovny s československým technologickým zařízením spolehlivě pracují v Soči, Sevastopolu, Charkově. Ve městech Pjatigorsk, Murmansku, Kyjev probíhá montáž zařízení. V Rostově na Donu, Dněpropetrovsku a Saratově je montáž v období 1986—1987.

Zařízení spaloven z ČSSR zlepšuje ekologické podmínky nejen v SSSR, ale také v MLR — Budapešti, NDR — Berlíně a dalších městech.

(SN)

# VLIV ZPŮSOBU VÝPOČTU TEPELNÝCH ZTRÁT A VELIKOSTI OTOPNÝCH TĚLES NA TEPELNU POHODU VE VYTÁPĚNÉM PROSTORU

JIŘÍ RÁŽ: SÚRPMO

JIŘÍ PRÓZR, JULIE LIPANOVÁ: *Výzkumný a vývojový ústav SZP*

V článku je popsána úprava výpočtu tepelných ztrát místností a výpočtu velikosti otopných těles do formy vhodné pro výpočetní techniku. Úpravou výpočtů a zejména nahradou skokových změn některých výchozích veličin funkčními závislostmi je dosaženo zpřesnění výsledků a tím i zpřesnění podkladů pro navrhování vytápěcích zařízení.

Recenzoval: Doc. Ing. Dr. Jaromír Cihelka

## 1. ÚVOD

Současný vývoj je charakterizován snahou o co nejfektivnější využití tepelné energie a nedostatkových paliv při dodržení podmínek tepelné pohody. Rozšíření výpočetní techniky umožňuje získat realizační výstupy formou programů, obsahujících řešení teplotních poměrů místností za stacionárních, kvazistacionárních i nestacionárních podmínek. Výpočtem se přitom sleduje vnitřní teplota při zadaných vnějších klimatických podmínkách a konstantním výkonu otopného tělesa, nebo požadovaný výkon vytápěcího zařízení v závislosti na těchto podmínkách při konstantní hodnotě vnitřní teploty. Značná komplikovanost simulace teplotních poměrů za nestacionárních podmínek však vyžaduje zavádění zjednodušujících předpokladů, což význam těchto modelů zeslabuje. Zjednodušení se přitom netýká jen dimenzi toku tepla stavebními konstrukcemi, ale i hodnoty objemového toku větracího vzduchu, která se buď jen předpokládá, nebo určuje ze vztahů, obsažených v ČSN 06 0210 a ČSN 73 0549. Tyto vztahy vykazují skokový průběh funkčních závislostí na uvažovaných podmínkách a také požadavky na výkon reálných topidel bez ohledu na to, zda jsou v modelovaných provozních stavech tohoto výkonu schopna. Náročná řešení nejsou též většinou vhodná pro aplikaci při běžném vybavení pracovišť specializovaných na přímou projektovou činnost, kde lze očekávat používání osobní výpočetní techniky s poměrně nízkou kapacitou.

Pro numerické zjišťování funkčních závislostí a vazeb při navrhování otopných soustav je v projektové praxi požadován jednoduchý matematický model, pokud možno blízký vztahům uvedeným v ČSN 06 0210, který by však odstraňoval některé nedostatky, vyplývající z nutného zjednodušení tohoto právního předpisu, určeného převážně pro návrhy otopných soustav bez výpočetní techniky, ale hlavně komplexně řešil relace vytápěný prostor—těleso, které tvoří jediný integrovaný celek.

## 2. PŘEDPOKLADY A POŽADAVKY

Cílem výpočtu tepelných ztrát podle ČSN 06 0210 je numerické vyjádření tepelného výkonu, potřebného pro zajištění zvolené výsledné teploty. Za podmínek rychlosti proudění vzduchu  $w < 0,2 \text{ m s}^{-1}$  a relativní vlhkosti vzduchu  $\varphi < 40\%$

lze výslednou teplotu přibližně definovat jako aritmetický průměr teploty vzduchu a váženého průměru povrchových teplot vnitřních ploch, ohraničujících vytápěný prostor.

$$t_g \text{ [°C]} = \frac{t_v + t_{ips}}{2}.$$

Oblast tepelné pohody v místnostech s trvalým pobytom lidí je pak, při teplotách vzduchu 15 °C až 25 °C a účinné teplotě okolních ploch 12 °C až 28 °C, přibližně vymezena rozsahem výsledných teplot 18,5 °C až 21,5 °C. V bytové výstavbě je požadována minimální výsledná teplota 19 °C nejméně 16 hodin v denní době a přípustná otopná přestávka s minimální výslednou teplotou 16 °C v maximální délce 8 hodin.

U místností s nepřerušovaným vytápěním by se měla výsledná teplota udržovat při dolní mezi intervalu, dané hodnotou 20 °C. Vzrůst výsledné teploty nad tuto mez lze chápat jako hygienicky nezdůvodněné zvýšení tepelných ztrát, přičemž rozdíl teplot 1 K představuje zvýšení spotřeby paliva přibližně o 6 %. Proto je kladen požadavek na udržování přibližně konstantní výsledné teploty při nestacionárních vnějších klimatických podmínkách. Dosažení tohoto stavu předpokládá ideální regulaci, včetně přizpůsobení dodávky tepla fázovému posunutí amplitud teplot vnějšího a vnitřního vzduchu na základě časové prognózy vývoje vnějších klimatických podmínek, aby se při nepřerušovaném vytápění objektu zabránilo zbytečným tepelným ztrátám opakovou akumulací tepla do stavebních konstrukcí i vlastních prvků otopné soustavy.

Rovnoměrnost vytápění objektu lze dále zvýšit řízenou dodávkou konstantního objemového toku větracího vzduchu v hladině hygienického minima větrání, avšak v reálných objektech je nutno vždy počítat s fázovým zpožděním i akumulací tepla do prvků soustavy.

Aby bylo možno zajistit efektivní účinnost centrální kvalitativní regulace a stanovit požadavky na dodatkovou regulaci výkonu topidel, vyplývající z rozdílných energetických nároků jednotlivých místností v průběhu otopného období, je nutno dosáhnout rovnoměrného rozvržení otopných ploch, odpovídajícího normálovému, tj. výpočtovému stavu. Prakticky to znamená, odstranit z návrhových výpočtů tepelných ztrát, určujících ve svých důsledcích hodnoty průtoků i velikost rozvodných a regulačních prvků soustavy, všechny skokové průběhy funkčních závislostí, ale především výpočtem nepodložená vstupní data. Požadavky racionálního hospodaření s tepelnou energií a palivy tedy vyžadují neprojektovat jen podle nejrůznějších katalogů, ale na základě individuálního výpočtu s ohledem na konkrétní klimatické a dispoziční podmínky stavby.

K vyjádření rozdílných energetických nároků dispozičně různě situovaných místností při konstantních i proměnných vnějších klimatických podmínkách je nutno zvolit kritérium, respektující konkrétní tepelně technické vlastnosti použitých stavebních hmot, skutečný poměr asymetricky i symetricky chladnoucích a transparentních i netransparentních konstrukcí, skutečné teploty v sousedních vytápěných i nevytápěných místnostech, atd. Těmto požadavkům vyhovuje průměrná povrchová teplota vnitřních ploch, z níž lze odvodit požadovanou teplotu vzduchu při prostupu tepla za libovolných vnějších klimatických podmínek a při libovolném poměru ploch, sousedících přímo s venkovním prostředím. Namísto výpočtu s přírážkou na vyrovnání vlivu chladných stěn, je pak s konkrétními teplotami vzduchu jednotlivých místností uvažováno při všech navazujících výpočtech.

Přiblížení výsledků matematického modelu reálným poměrům při sdílení tepla mezi otopným tělesem a vytápěným prostorem si též vyžádalo odvození nových vztahů pro stanovení výkonu tělesa, umožňujících zohlednění podílu konvekční a radiační složky sdílení tepla v závislosti na velikosti radiátoru i na průtoku vody otopným tělesem, použitelných jak při konstantních, tak i při proměnných hodnotách vstupních dat, definovatelných jako samostatné funkce. Tím je dosaženo využitelností výpočtových vztahů pro všechny druhy otopných těles i jednoduché aplikace nových poznatků za podmínek jejich neukončeného vývoje.

### 3. ÚPRAVA VZTAHŮ

Pro výpočet tepelných ztrát a zisků prostupem, větráním i pro stanovení velikosti otopných těles je uvažována výpočtová teplota vzduchu v místnosti podle vztahu (1):

$$t_v [^\circ\text{C}] = 2t_g - t_{ips} \quad (1)$$

*Poznámka:* Na rozdíl od výsledné teploty je teplota vzduchu v mezích okrajových podmínek otopného období proměnná, lze ji však pro libovolnou vnější teplotu stanovit výpočtem. V praxi je pak snadno měřitelná suchým teploměrem psychrometru, umístěným v definičním bodě místnosti.

Průměrná povrchová teplota vnitřních ploch, ohraničujících místnost při teplotě vzduchu se přitom stanoví ze vztahu (2):

$$t_{ips} = \frac{\sum_{j=1}^n \frac{(\alpha_{ij} - k_j) S_j}{\alpha_{ij}} 2t_g + \sum_{j=1}^n \frac{S_j k_j t_{oj}}{\alpha_{ij}}}{\sum_{j=1}^n S_j + \sum_{j=1}^n \frac{(\alpha_{ij} - k_j) S_j}{\alpha_{ij}}} \quad [^\circ\text{C}]. \quad (2)$$

Tepelná ztráta prostupem:

$$Q_o = \sum_{j=1}^n S_j k_j t_v - \sum_{j=1}^n S_{ij} k_{ij} t_{ij} + \sum_{j=1}^n S_{ej} k_{ej} t_{ej} \quad [\text{W}]. \quad (3)$$

Aby bylo možno sledovat vliv změn okolních teplot vzduchu na vnější straně počítaných konstrukcí na potřebu tepla pro vytápění místnosti, jsou okolní teploty  $t_{o1}, t_{o2} \dots t_{on}$  (obecně  $t_{oj}$ ) rozlišovány podle toho, zda náležejí sousedním místnostem (obecně  $t_{ij}$ ) nebo vyjadřují okamžitou teplotu vnějšího vzduchu (obecně  $t_{ej}$ ).

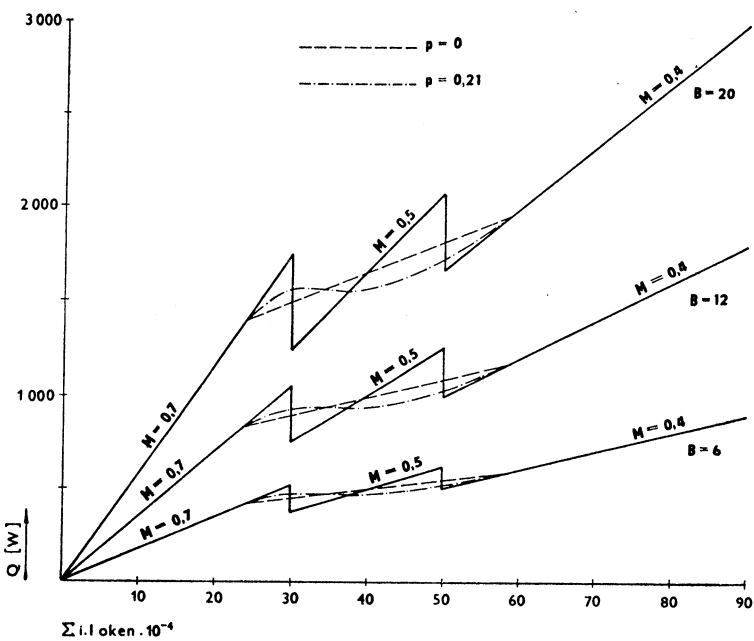
Tímto způsobem lze modelovat tepelné ztráty prostupem při uvažování jednorozměrného toku tepla prakticky za libovolných podmínek. Změny teploty vzduchu ve sledované místnosti, odpovídající okamžitému teplotám na vnější straně počítaných konstrukcí při konstantní výsledné teplotě se promítou i do výpočtu potřeby tepla pro ohřev větracího vzduchu a okamžitého výkonu otopného tělesa při změněných provozních podmínkách. Algoritmus výpočtu přitom nevyulučuje přibližné zahrnutí vlivu vícerozměrných tepelných toků, např. uvažováním jiných teplot na vnitřním i vnějším povrchu částí počítaných konstrukcí. Iteračními postupy se pak lze přiblížit řešení teplotních poměrů místností za nestacionárních podmínek při současném zpřesnění vlivu teploty i objemového toku větracího vzduchu a výkonu tělesa.

Tepelná ztráta při přirozeném větrání infiltrací:

$$Q_{inf} = c_v \sum [(il)_e \cdot 10^{-4} B \cdot M] (t_v - t_{ej}) \quad [\text{W}], \quad (4)$$

kde:  $\sum [(il)_e \cdot 10^{-4} B \cdot M] = G_v [\text{m}^3 \text{s}^{-1}]$  je objemový tok větracího vzduchu.

Proložením mezních hodnot charakteristického čísla místnosti  $M$ , které se v ČSN 06 0210 volí podle kritérií v hodnotách 0,4; 0,5 a 0,7 se odstraní skokový průběh závislosti potřeby tepla pro ohřev infiltrovaného vzduchu na aktivní provzdušnosti vnějších otvorů, znázorněný pro  $t_e = -12^\circ\text{C}$  a hodnoty  $B = 4$  až  $20 \text{ Pa}^{0,67}$  na obr. 1. To přispěje k zpřesnění výsledků výpočtů součtové teploty na konci otopné přestávky podle vztahů (70) a (71) ČSN 73 0549 i matematických modelů, v nichž bylo těchto vztahů pro výpočet objemového toku větracího vzduchu použito.



Obr. 1. Závislost potřeby tepla pro ohřev infiltrovaného vzduchu na aktivní provzdušnosti vnějších otvorů

Hlavní význam této úpravy pro praxi však tkví v rovnoměrnějším rozvržení otopných ploch odstraněním výpočtového parodoxu, podle kterého v blízkosti mezní hodnoty  $M$  dojde při zvětšení oken k návrhu menších topidel. Podobná úprava byla již publikována [1]. Po konsultacích se zpracovatelem ČSN 06 0210 bylo zvoleno buď lineární proložení mezních hodnot podle vztahu (5), doporučené doc. Ing. Dr. J. Čihelkou, nebo proložení sinusovkou podle vztahu (6), při parametru  $0 < p < 0,21$ .

$$M [-] = 0,3 \left[ \frac{\sum (il)_i}{\sum (il)_e} - 0,67 \right] + 0,4 \quad (5)$$

$$M [-] = 0,3 \left[ \left( \frac{\sum (il)_i}{\sum (il)_e} - 0,67 \right) - \frac{\sin \left[ \left( \frac{\sum (il)_i}{\sum (il)_e} - 0,67 \right) 360 \right] p}{2} \right] + 0,4. \quad (6)$$

Zavedením poměru aktivních provzdušností vnitřních a vnějších otvorů bylo možno při výpočtu  $M$  uvažovat jakékoliv vnitřní otvory, nikoliv jen vnitřní dveře, pro které je možno uvažovat následující hodnoty:

Dveře vnitřní	Dveře netěsněné (bez prahu)	Dveře těsněné (s prahem)
60/197	$\sum (il)_i = 37,01$	$\sum (il)_i = 18,50$
70/197	38,45	19,22
80/197	39,89	19,94
90/197	41,53	20,66

Výsledky výpočtu  $Q_{inf}$  při použití vztahů (5) a (6) jsou rovněž znázorněny v obr. 1.

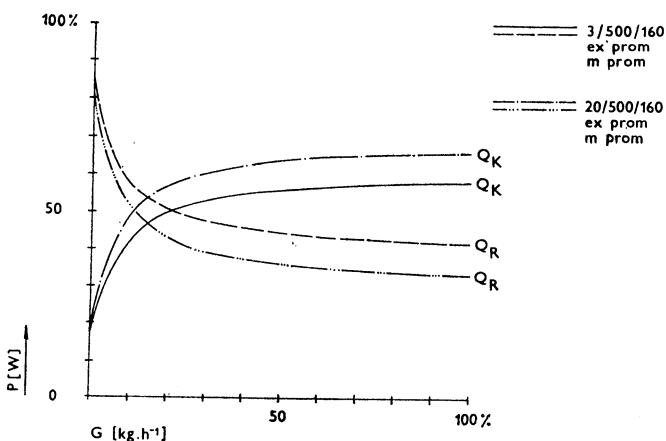
Podobným způsobem byl odstraněn skokový průběh závislosti charakteristického čísla budovy  $B$  na výšce podlaží.

Teploty v sousedních nevytápěných místnostech:

$$t_{ie} = \frac{\sum_{j=1}^n (S_j k_j)_i t_{ij} + \sum_{j=1}^n (S_j k_j)_e t_{ej} + c_v \sum [(il)_e \cdot 10^{-4} B \cdot M] t_{ej}}{\sum_{j=1}^n (S_j k_j)_{ie} + c_v \sum [(il)_e \cdot 10^{-4} B \cdot M]} [{}^{\circ}\text{C}] \quad (7)$$

*Poznámka:* V jednotlivých případech je nutno přihlížet ke vhodnosti uplatnění infiltrace nebo objemového toku větracího vzduchu.

Při formulování vztahů interpretujících vliv výkonu otopného tělesa na teplotní parametry vytápěného prostoru je třeba respektovat skutečnost, že approximace funkcí sdílení tepla konvekcí a radiací exponenciálou je pouze přibližná, přičemž vliv výkonu tělesa (ne tak již vliv průtoku vody tělesem) na teplotu prostoru je závislý na jeho velikosti. Různá energetická náročnost jednotlivých místností není

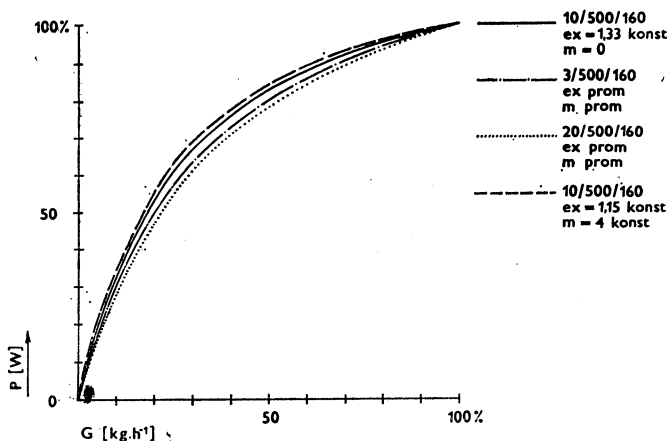


Obr. 2. Závislost podílu konvekční ( $Q_K$ ) a radiační ( $Q_R$ ) složky sdílení tepla radiátorem na průtoku vody [ $kg\ h^{-1}$ ]

prostou funkcí jejich objemu, ani poměru rozdílu okamžité vnější teploty a teploty vnitřního vzduchu k rozdílu výpočtové vnější a vnitřní teploty, jak se zjednodušeně předpokládá v odvození teorie hydraulické stability, nebo při výpočtu teplotních diagramů. Přibližně platí, že u vícečlánkových otopných těles je vliv výkonu tělesa na teplotu prostoru závislý více na souladu mezi projektovaným a skutečným průtokem, u méněčlánkových otopných těles pak více na souladu mezi vypočtenou a vysazenou otopnou plochou. Podíl obou složek sdílení tepla tělesem se při poklesu průtoku pod normálový (výpočtový) stav pozvolna mění ve prospěch radiační složky, která při poklesu průtoku asi pod 20 % převládá. Závislost podílu obou složek sdílení tepla na průtoku vody dvěma různé velikosti při promenných hodnotách součinitele závislosti výkonu tělesa na počtu článků a exponentu pro přepočet parametrů na provozní stav je znázorněna na obr. 2.

Závislost celkového výkonu radiátoru na průtoku při základních parametrech média a prostředí pro tři velikosti (3, 10, 20 článků) a při uvažování různých hodnot  $m$  a  $ex$  znázorňuje obr. 3.

Pro splnění požadavků na modelování teplotních parametrů místnosti při promenných klimatických podmínkách včetně uvažování vlivu reálného otopného tělesa



Obr. 3. Závislost celkového výkonu radiátoru na průtoku vody [ $\text{kg h}^{-1}$ ]

za různých provozních stavů, souvisejících např. se změnou hydraulických podmínek soustavy v průběhu otopného období, byly výpočtové vztahy formulovány tak, aby při své jednoduchosti umožňovaly návrhy otopných těles i modelování stavů jak při konstantních, tak i promenných parametrech. Současně byl kladen požadavek na to, aby nově odvozené vztahy umožňovaly též provádění výpočtů tradičním způsobem a tím i porovnání dosažených výsledků. V rámci tematické náplně tohoto příspěvku byly vybrány vztahy, související s projekčním návrhem.

Výkon otopného tělesa při výpočtovém stavu:

$$Q_T = n \left( q - \frac{mS \Delta t}{n'} \right) + mS \Delta t \quad [\text{W}] \quad (8)$$

*Poznámka:* Při aplikaci vztahu za podmínek výpočtu výkonu tělesa tradičním způsobem, tj. bez přihlédnutí k vlivu počtu článků radiátoru nebo při výpočtu nečlánkových otopných těles, je  $m = 0$  a vztah (8) získá běžně používaný tvar:

$$Q_T = n \cdot q \quad [\text{W}]. \quad (8a)$$

Požadovaný počet článků (nebo délka nečlánkového otopného tělesa) pro krytí energetického nároku místnosti při výpočtovém stavu:

$$n = \frac{Q_e - mS \Delta t}{q - \frac{mS \Delta t}{n}} \quad [1]. \quad (9)$$

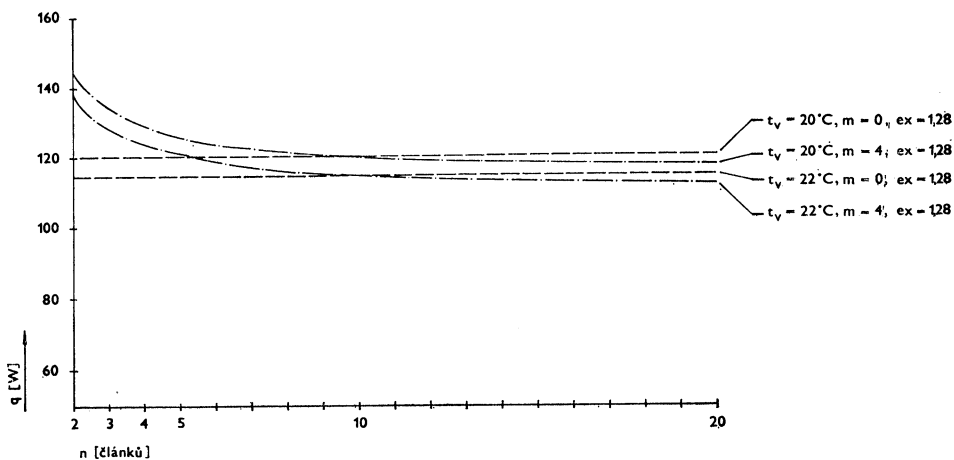
*Poznámka:* Při výpočtu otopných těles bez vzájemného osálání výhřevních ploch (např. vodorovných hladkých trubek) je měrný tepelný výkon  $q_N$  vztaven k jednotce délky, Ve vztazích (8), (8a) a (9) je

$$q = q_N \left( \frac{\Delta t}{\Delta t_N} \right)^{\text{ex}} \quad [\text{W}], \quad (9a)$$

kde:

$$\Delta t = \frac{t_p - t_z}{\ln \frac{t_p - t_v}{t_z - t_v}} = \left( \frac{q \Delta t_N^{\text{ex}}}{q_N} \right)^{\frac{1}{\text{ex}}} \quad [\text{K}]. \quad (9b)$$

Pro aplikaci vztahů (8) a (9) v projektovém procesu lze hodnoty  $m$  a  $\text{ex}$  považovat pro určitý druh tělesa za konstantní, neboť i z těchto předpokladů jsou výsledky v dobré shodě s laboratorním měřením. V konfrontaci výsledků s tradičním výpočtem je z obr. 4 zřejmá skutečnost, že průměrný výkon jednoho článku v závislosti na



Obr. 4. Závislost výkonu jednoho článku na velikosti radiátoru a konkrétní teplotě vzduchu,  $t_g = 20^\circ\text{C}$ ,  $t_p = 90^\circ\text{C}$  a  $t_z = 70^\circ\text{C}$

klesajícím počtu článků radiátoru vzrůstá, takže běžným způsobem stanovená otopná plocha je u malých radiátorů předimenzovaná, zatím co u vícečlánkových otopných těles, instalovaných většinou v tepelně exponovaných rohových a podstřešních místnostech, nepokrývá plně jejich energetické nároky.

Otopné těleso je však povrchovým výměníkem tepla typu voda—vzduch s křížovým proudem a hodnoty součinitele závislosti výkonu radiátoru na počtu článků  $m$  i exponentu pro přepočet výkonu z definičních na provozní podmínky  $ex$  jsou proměnné, nejen v závislosti na rychlosti a způsobu obtékání teplosměnných ploch a poměru pohltivosti sálajících i osálaných ploch, ale i na změnách povrchových teplot tělesa vlivem průtoku média, daných jak okamžitými teplotními parametry, tak i hydraulickými poměry.

Jak zavedený součinitel výkonu radiátoru na počtu článků, tak exponent však obsahují výkon tělesa při konkrétním provozním stavu a proto jejich dosazením do vztahů (8) a (9) lze tento provozní stav vyjádřit.

$$m = \frac{\frac{Q}{n} - q_N \left( \frac{\Delta t}{\Delta t_N} \right)^{ex}}{\Delta t \left( \frac{1}{n} - 0,1 \right) S} \quad [\text{Wm}^{-2} \text{K}^{-1}], \quad (10)$$

$$ex = \frac{\ln \left( \frac{\frac{Q}{n} + mS \Delta t \left( 0,1 - \frac{1}{n} \right)}{q_N} \right)}{\ln \left( \frac{\Delta t}{\Delta t_N} \right)} \quad [1]. \quad (11)$$

Zdánlivě problematické implicitní zastoupení obou hodnot, obsažených ve vztažích (10) a (11) je však řešitelné, protože součinitel  $m$  je současně prostým rozdílem hodnot koeficientů prostupu tepla krajního a průměrného středního článku radiátoru. Pro řešení je tedy potřebný tepelný výkon jednoho samostatného článku, který lze získat buď měřením, nebo z regresní funkce, proložené naměřenými výkony radiátoru při různém počtu článků. Dosazením hodnoty  $m$  do vztahu (11) lze pak stanovit exponenty, vztázené ke konkrétnímu provoznímu stavu. Tohoto řešení bylo např. použito pro výpočet funkčních závislostí, znázorněných na obrázcích (2) a (3),

Tab. 1. Závislost proměnných  $m$  a  $ex$  na velikosti radiátoru a teplotách prostředí

$n$ [čl.]	$t_v = 5 \quad t_u = 5$	$t_v = 15 \quad t_u = 14,2$	$t_v = 18 \quad t_u = 16,5$	$t_v = 24 \quad t_u = 21$
5	$Q = 816,5$ $m = 5,391$ $ex = 1,074$ $\bar{Q} = 816,6$	$Q = 693,2$ $m = 5,562$ $ex = 0,935$ $\bar{Q} = 691,8$	$Q = 658,3$ $m = 5,642$ $ex = 0,895$ $\bar{Q} = 654,8$	$Q = 590,0$ $m = 5,829$ $ex = 1,265$ $\bar{Q} = 581,6$
10	$Q = 1558,9$ $m = 4,616$ $ex = 1,155$ $\bar{Q} = 1557,1$	$Q = 1318,6$ $m = 4,809$ $ex = 1,157$ $\bar{Q} = 1317,8$	$Q = 1250,4$ $m = 4,894$ $ex = 1,233$ $\bar{Q} = 1247,0$	$Q = 1117,4$ $m = 5,091$ $ex = 1,013$ $\bar{Q} = 1106,7$
20	$Q = 3043,2$ $m = 4,229$ $ex = 1,163$ $\bar{Q} = 3038,2$	$Q = 2569,0$ $m = 4,433$ $ex = 1,179$ $\bar{Q} = 2570,0$	$Q = 2434,3$ $m = 4,521$ $ex = 1,285$ $\bar{Q} = 2431,3$	$Q = 2171,8$ $m = 4,723$ $ex = 0,990$ $\bar{Q} = 2156,8$

obecně jej však lze využít při modelování vztahů mezi otopným tělesem a vytápěným prostorem.

Pro názornost jsou v následující tab. 1 uvedeny hodnoty  $m$  a  $ex$  v závislosti na volených hodnotách teploty vzduchu  $t_v$  [ $^{\circ}\text{C}$ ], účinné teploty okolních ploch  $t_u$  [ $^{\circ}\text{C}$ ] a počtu článků radiátoru  $n$ . Tepelný výkon  $Q$  [W] byl pro uvedené podmínky stanoven z regresní funkce proložené měřením a tepelný výkon  $\bar{Q}$  [W] byl stanoven ze vztahu (8) při uvažování  $m = 4$  konst. a  $ex = 1,15$  konst.

Výpočty byly provedeny vlastními programy CR na kalkulátoru TI-59.

#### 4. POROVNÁNÍ VÝSLEDKŮ NÁVRHOVÝCH VÝPOČTŮ

Z uvedeného je zřejmé, že uvažování konstantních hodnot  $m$  a  $ex$  je, pro konkrétní druh otopného tělesa, při návrhových výpočtech reálné a srovnání výsledků obou výpočtových metod poměrně spolehlivé. Pro účely tohoto příspěvku bylo konstantních hodnot použito i pro modelování vlivu průtoku vody tělesem (tab. 2). Výstupní data programu CR jsou konfrontována s výsledky tradičního výpočtu při uvažování dvou různých hodnot aktivních provzdušností vnějších otvorů.

Tab. 2. Příklad porovnání tradičního výpočtu s výsledky programu CR

Místnost 301 $\Sigma (il)_e = 30$			Místnost 301 $\Sigma (il)_e = 50$	
	Tradiční způsob	CR	Tradiční způsob	CR
požadovaná $t_1$ [ $^{\circ}\text{C}$ ]	20	20	20	20
požadovaná $t_v$ [ $^{\circ}\text{C}$ ]	—	21,14	—	21,14
charakteristické číslo $M$ [—]	0,5	0,60	0,5	0,438
celková				
tepelná ztráta $Q_c$ [W]	1 604	1 799	2 104	2 005
vypočtený počet článků $n$ [—]	13,37	15,62	17,53	17,47
vysazený počet článků $n$ [—]	13	16	18	17
$t_v$ při vypočteném $n$ [ $^{\circ}\text{C}$ ]	19,07	21,14	21,19	21,14
$t_v$ při vysazeném $n$ [ $^{\circ}\text{C}$ ]	18,72	21,48	21,58	20,76
tl při vysazeném $n$ [ $^{\circ}\text{C}$ ]	18,79	20,17	20,22	19,81

Místnost 301 $\Sigma (il)_e = 30$	Vliv průtoku vody tělesem				
	$G$ [%]	$t_p$ [ $^{\circ}\text{C}$ ]	$t_z$ [ $^{\circ}\text{C}$ ]	$P$ [%]	$t_v$ [ $^{\circ}\text{C}$ ]
Tradiční způsob $n = 13$ článků	150	90	75,9	106,2	19,60
	100	90	70	100	18,72
	50	90	56,1	84,5	16,77
CR $n = 16$ článků	150	90	75,8	106,4	22,41
	100	90	70	100	21,48
	50	90	56,3	84,1	19,14

## 5. ZÁVĚR

V řadě diagnostických úvah, zaměřených na funkci otopných soustav, bývá naměřena teplota vzduchu, nebo výsledná teplota vytápěného prostoru, nejzávažnějším kritériem hodnocení. Nechybí ani případy, kdy jsou naměřené diference přisuzovány pouze hydraulickým poměrům, s dopadem na kritické posuzování druhu soustavy, nebo dokonce jednoznačným argumentem odvozování teoretických úvah pro montážní seřizování hlavic termostatických ventilů. Teplota vytápěného prostoru však není prostou funkcí průtoku vody otopnou soustavou, což lze demonstrovat např. uvedeným vlivem průtoku vody otopným tělesem. Budeme-li vycházet z předpokladu, že střední hodnoty skokových funkcí, uvedených v ČSN 06 0210, fyzikálně vystihují sdílení tepla mezi místností a vnějším prostředím při uvažovaných výpočtových podmínkách, pak teplota vzduchu  $t_v = 19,6^\circ\text{C}$ , naměřená v místnost při stanovení otopné plochy tradičním způsobem, může vést k tendenci zmenšit hydraulický odpor radiátorové armatury, přestože těmto teplotním poměrům v místnosti odpovídá už za tohoto stavu 150 % projektovaného průtoku.

Výpočet tepelných ztrát a stanovení velikosti otopných ploch, kterým nebyla, v poslední době věnována pozornost srovnatelná s hydraulikou otopných soustav, lze považovat za dominantní faktor návrhových výpočtů, determinující nejen vlastní úroveň tepelné pohody projektovaných staveb, ale i účinnost hydraulicky funkčních regulací tepelných výkonů a tím přímo i spotřeby paliv. Neméně důležitou roli hraje i v diagnostice a dodatečném odstraňování případných poruchových stavů. V praktických návrhových výpočtech i v teoretických řešeních je žádoucí, přiblížovat se skutečnosti pomocí modelů, respektujících v daných možnostech co největší měrou chování reálných prvků otopných soustav.

### SEZNAM OZNAČENÍ

$t_o$	[°C]	okolní teplota vně konstrukce
$t_{ij}$	[°C]	vnitřní okolní teplota vně konstrukce
$t_{ej}$	[°C]	okamžitá teplota vnějšího vzduchu
$t_{ie}$	[°C]	teplota v sousední nevytápěné místnosti
$t_g$	[°C]	výsledná teplota v místnosti
$t_v$	[°C]	teplota vzduchu v místnosti
$t_{ips}$	[°C]	průměrná povrchová teplota vnitřních ploch místnosti při teplotě vzduchu $t_v$
$t_p$	[°C]	teplota přívodní vody
$t_z$	[°C]	teplota zpětné vody
$\alpha_i$	[W m <sup>-2</sup> K <sup>-1</sup> ]	součinitel přestupu tepla na vnitřní straně konstrukce
$k$	[W m <sup>-2</sup> K <sup>-1</sup> ]	součinitel prostupu tepla konstrukce
$m$	[W m <sup>-2</sup> K <sup>-1</sup> ]	součinitel závislosti výkonu radiátoru na počtu článků
$S$	[m <sup>2</sup> ]	plocha konstrukce, přestupní plocha 1 článku na straně vzduchu (výhrevná plocha)
$S_i$	[m <sup>2</sup> ]	plocha vnitřní konstrukce
$S_e$	[m <sup>2</sup> ]	plocha vnější konstrukce
$Q_0$	[W]	tepelná ztráta prostupem
$Q_{inf}$	[W]	tepelná ztráta infiltrací
$Q_c$	[W]	celková tepelná ztráta místnosti
$Q$	[W]	tepelný výkon (obecně)
$Q_T$	[W]	tepelný výkon tělesa
$q$	[W]	měrný tepelný výkon skladebného prvku tělesa při konkrétním provozním stavu
$q_N$	[W]	měrný tepelný výkon skladebného prvku tělesa při základním provozním stavu (tj. při $\Delta t_N$ ), odvozený z výkonu těla o $n'$ článkích.

$n$	[—]	počet článků radiátoru
$n'$	[—]	počet článků radiátoru při měření
$M$	[—]	charakteristické číslo místnosti
$p$	[—]	parametr proložení sinusovkou
$\Delta t$	[K]	teplotní spád střední teploty média a vzduchu při konkrétním provozním stavu
$\Delta t_N$	[K]	teplotní spád střední teploty média a vzduchu při základním provozním stavu (tj. při $t_p = 90^\circ\text{C}$ , $t_z = 70^\circ\text{C}$ , $t_v = 20^\circ\text{C}$ )
$ex$	[—]	exponent pro přepočet parametrů z definičních na provozní podmínky
$G$	[%]	poměrný průtok vody otopným tělesem
$P$	[%]	poměrný výkon tělesa při poměrném průtoku
$G_v$	[ $\text{m}^3 \text{s}^{-1}$ ]	objemový tok větracího vzduchu
$c_v$	[ $\text{J m}^{-3} \text{K}^{-1}$ ]	měrné teplo vzduchu při střední teplotě $t_s = 0,5(t_v + t_e)$
$\Sigma(il)_i$	[ $\text{m}^3 \text{s}^{-1} \text{Pa}^{-0,67}$ ]	provzdušnost vnitřních otvorů
$\Sigma(il)_e$	[ $\text{m}^3 \text{s}^{-1} \text{Pa}^{-0,67}$ ]	provzdušnost vnějších otvorů
$B$	[ $\text{Pa}^{0,67}$ ]	charakteristické číslo budovy

## LITERATURA

- [1] Cihelka, J. a kol.: Vytápění a větrání, SNTL, Praha 1985.
- [2] ČSN 06 0210a) Výpočet tepelných ztrát budov při ústředním vytápění, účinnost od 1. 8. 1977.
- [3] ČSN 73 0540a), b) Tepelné technické vlastnosti stavebních konstrukcí a budov, účinnost od 1. 1. 1979.
- [4] ČSN 73 0549 Tepelné technické vlastnosti stavebních konstrukcí a budov — výpočtové metody, účinnost od 1. 1. 1979.
- [5] Havlík, I.: Podklad pro navrhování konstrukčních soustav, objektů a vhodně regulovaných otopných systémů s cílem racionalizace spotřeby tepla na vytápění, Praha 1985.
- [6] Chyba, A.: Některé provozní vlastnosti otopných těles, INOTHERM 84.

## ВЛИЯНИЕ СПОСОБА РАСЧЕТА ТЕПЛОВЫХ ПОТЕРЬ И РАЗМЕРА ОТОПИТЕЛЬНЫХ ПРИБОРОВ НА ТЕПЛОВОЙ КОМФОРТ В ОТАПЛИВАЕМОМ ПРОСТРАНСТВЕ

Й. Раж, Й. Прозр, Й. Липанова

В статье описывается оформление расчета тепловых потерь помещений и расчета размера отопительных приборов в вид удобный для вычислительной техники. Оформлением расчетов и главным образом взамен скачкообразных изменений некоторых начальных величин функциональными зависимостями достигнулось уточнения оснований для проектирования отопительных приборов.

## INFLUENCE OF THE HEAT LOSSES CALCULATION METHOD AND THE HEAT BODIES SIZE UPON THERMAL COMFORT IN A HEATED ROOM

Й. Раж, Й. Прозр, Й. Липанова

The modification of the heat losses calculation method for rooms and the modification of the heat bodies size calculation into a form suitable for the computer technique are described in the article. By the modification of calculations and above all by the jumping changes substitution of some starting quantities by the functional dependencies more precise results have been obtained and thus more precise data for the heating equipment design, too.

## EINFLUSS EINES BERECHNUNGSVERFAHRENS DER WÄRMEVERLUSTE UND DER HEIZKÖRPERGRÖSSE AUF DAS THERMISCHE BEHAGEN IN EINEM BEHEIZTEN RAUM

Й. Раж, Й. Прозр, Й. Липанова

Im Artikel wird die Berechnungsbearbeitung der Wärmeverluste von Räumen und die Berechnungsbearbeitung der Grösse von Heizkörpern in die für die Rechentechnik geeignete Form beschrieben. Durch die Berechnungsbearbeitung und besonders durch den Ersatz der Sprung-

änderungen von einzelnen Ausgangsgrössen gegen die Funktionsabhängigkeiten wird die Präzision von Ergebnissen und so auch die Präzision von Grundlagen für das Entwerfen von Heizanlagen erreicht.

## **INFLUENCE D'UN MODE DE CALCUL DES PERTES THERMIQUES ET DE LA GROSSEUR DES CORPS DE CHAUFFE SUR LE CONFORT THERMIQUE DANS UN ESPACE CHAUFFÉ**

*J. Ráž, J. Prózr, J. Lipanová*

Dans l'article présenté, on décrit le traitement d'un calcul des pertes thermiques des locals et celui d'un calcul de la grosseur des corps de chauffe dans la forme convenable pour la technique de calcul. La précision des calculs et d'autant la précision des bases pour l'élaboration des projets des installations de chauffage est obtenue par le traitement des calculs et surtout en compensation des variations de sauts de certaines grandeurs initiales par les dépendances de fonction.

### **7. republiková konference**

#### **VĚTRÁNÍ A VYTÁPĚNÍ ZEMĚDĚLSKÝCH OBJEKŮ**

Ve dnech 29. září až 1. října se v Pardubicích sešlo 180 účastníků již sedmého setkání pracovníků nejrůznějších oborů, kteří se podílejí na vytváření mikroklimatu v zemědělských objektech. Vzduchotechnici, topenáři, hygienici, veterináři, stavební fyzici, energetici i uživatelé si vyměnili zkušenosti se stavajícím stavem větrání a vytápění a spolupodíleli se na objasňování koncepce dalšího vývoje v této oblasti.

Nejdůložitější odborné závěry a doporučení zpracovala komise vedená Ing. V. Galetou do deseti bodů:

1. Dokončit revizi ON 73 4502. Podklady z výzkumné základny, zejména z VÚŽV Uhříněves, soustředit pokud možno do konce roku 1986 v AGP.

2. Vypracovat ve VÚZT Praha-Řepy ve spolupráci s dalšími ústavy jednotnou metodiku měření a hodnocení parametrů rekuperačních výměníků tepla a posuzování jejich ekonomické efektivnosti.

3. Na základě požadavků předaných AGP a VÚZT do VÚV Praha urychlit vývoj a zavedení výroby připravované řady axiálních ventilátorů pro ZIV ve VHJ STS a OZS nebo ČSVZ.

4. Zvýšit technickou úroveň výrobků pro větrání a vytápění určených pro ZIV jejich schvalováním a povinným hodnocením ve smyslu zákona 30/68 Sb. o státním zkušebnictví.

5. Ustavit při VÚŽV Uhříněves komisi, která upřesní požadavky na technické řešení přirozeného větrání stájí pro skot a ovce.

6. V návaznosti na bod 5 odborných závěrů stanovit ve VÚPS Praha dosud chybějící kritérium hodnocení tepelnětechnických vlastností stájových objektů a metody jejich posuzování.

7. Stanovit ve VÚPS Praha a VP VTR Vytápění ČKD Dukla základní technické a konstrukční podmínky pro podlahové a sálavé vytápění ve stájových objektech.

8. Pravidelně seznamovat odbornou veřejnost s výsledky výzkumných úkolů, s prováděnými měřeními v zemědělských objektech, s ověřováním experimentálních staveb, s využitím ZZT apod. v odborném tisku.

9. V programu pravidelných konferencí o technice prostředí v zemědělských objektech se více věnovat provozu, servisu, údržbě a obsluze větracích a otopných zařízení a dále stavební tepelné technice.

10. Požádat o předání této závěru prostřednictvím ČV komitétu pro životní prostředí vedení příslušných ústavů a odborům výzkumu a oddělení investic MZV ČSR a MPVZ SSR.

Konferenci pořádala odborná skupina Větrání a klimatizace ČV komitétu pro životní prostředí ČSVTS. Organizátorem byl Dům techniky Praha (Ing. H. Walterová)

*Ing. Vladimír Bašus  
odborný garant*

# POROVNÁNÍ DVOU GRANULOMETRICKÝCH METOD

ING. JAROSLAV ŠIMEČEK, CSc.

*Institut hygieny a epidemiologie, Praha*

Velikostním složením rozdílné dva druhy křemenného prachu byly analyzovány mikroskopickou metodou a analyzátorom čisticí CI-208 C (Climet Instruments, USA). S ohledem na různé dolní meze rozlišovací schopnosti obou metod jsou výsledky stanovení disperzity prachu vzájemně posunuty. U analyzátoru výsledky měření závisí na způsobu produkce aerosolu a jeho přívodu do přístroje. Ve srovnání s mikroskopickou metodou stanovuje analyzátor systematicky nižší četnosti výskytu prachových častic větších rozměrů; metodu je proto možno použít jen pro jemné prachy velikosti asi do 5 µm.

*Recenzovala: RNDr. Běla Stárková, CSc.*

## 1. ÚVOD

Velikostní složení (disperzita) prachu je jedním z důležitých faktorů, charakterizujících jeho vlastnosti a chování. Měření disperzity prachu (granulometrie) má mimořádný význam v celé řadě oborů, především ve vzduchotechnice, v hygieně práce a v technologii práškových materiálů. Ke stanovení disperzity prachu se používají desítky různých metod a přístrojů. Jsou založeny na rozdílných fyzikálních principech a poskytují „relativní“, více či méně vzájemně srovnatelné výsledky měření. O volbě vhodné granulometrické metody rozhoduje především účel měření, ale i měřicí rozsah, očekávané velikostní rozložení aerosolových častic, množství prachu které je k dispozici, fyzikálněchemické vlastnosti, rozpustnost prachu apod.

Hodnocení různých granulometrických metod a sledování srovnatelnosti výsledků měření jsou častými tématy odborných prací. V souvislosti se standardizací metod v oblasti hygieny práce jsme se rovněž touto problematikou museli několikrát zabývat a při posuzování nových metod a přístrojů se k ní opakovaně vracíme.

K hygienickému hodnocení prašnosti v pracovním ovzduší byla u nás už před mnoha lety standardizována metoda mikroskopická [1]. O její volbě rozhodovaly především možnosti a přístrojové vybavení laboratoří hygienických stanic. Sjednocením podmínek přípravy a vyhodnocení vzorků průmyslových aerosolů se měla zajistit co největší srovnatelnost interlaboratorních měření.

Na dvou druzích experimentálního křemenného prachu — podstatně odlišných svým velikostním složením — jsme sledovali porovnatelnost mikroskopických analýz s údaji automatického počítáče častic typu CI-208 C (Climet Instruments, USA). Při analýze počtu a velikosti prachových častic se postupovalo podobně jako při kalibraci analyzátoru, tj. využitím přídavného zařízení (aerosolového generátoru typu CI-205) k produkci a přívodu aerosolu do vlastního analyzátoru.

Analyzátor častic CI-208 C slouží především ke stanovení počtu a velikosti prachových častic, rozptýlených ve volném (venkovním i pracovním) ovzduší a ke kontrole ovzduší v čistých a aseptických prostorech. V předložené práci jsou uvedeny možnosti a rozsahy použitelnosti přístroje také k analýzám velikostního složení vzorků prachu ve formě prášku. Ve prospěch metody hovoří totiž tyto skutečnosti:

- malý vzorek prachu, potřebný k analýze (několik miligramů),

- snadná a rychlá příprava vzorku k analýze,
- automatické vyhodnocení se zápisem o počtu prachových částic v jednotlivých zvolených velikostních intervalech,
- krátká doba analýzy (v osmi velikostních intervalech asi 10 min.).

Ukázalo se, že granulometrická metoda s užitím analyzátoru částic CI-208 C ve srovnání s optickou mikroskopíí poskytuje rozdílné výsledky měření a že její aplikace je omezena jen na analýzy velmi jemného prachu velikosti maximálně do  $5 \mu\text{m}$ .

## 2. METODIKA MĚŘENÍ

Obě granulometrické metody — mikroskopická (OM) a analyzátor CI-208 C — byly zkoušeny na dvou vzorcích čistého křemenného prachu, které se v našem institutu používají k intratracheálnímu testování fibrogenity prachu v pokusech na krysách. Vzorek prachu 1 po vytřídění na mikrosítovacím stroji obsahuje frakce velikosti do  $5 \mu\text{m}$ , vzorek 2 frakce v rozmezí od 5 do  $15 \mu\text{m}$ .

*Optická mikroskopie.* Při analýze mikroskopickou metodou jsme postupovali podle zásad, stanovených standardní metodikou [1]: byla připravena suspenze prachu v destilované vodě a velikosti částic v kapce suspenze na mikroskopovacím sklíčku byly proměřovány na matnici projekčního mikroskopu při celkovém 1 000násobném zvětšení. Metodou rovnoplochých kruhů se u každého vzorku proměřilo nejméně 500 prachových částic. Výsledky analýz byly vyneseny graficky ve formě křivek kumulativní četnosti v % podle počtu částic nebo (po přepočtu) podle hmotnosti částic. Při logaritmicko-normální distribuci částic podle velikosti je v logaritmicko-pravděpodobnostním papíře průběh kumulativní četnosti (% částic menších než zvolená velikost) lineární. Disperzita prachu je v takovém případě jednoznačně charakterizována dvěma parametry:

- středním geometrickým průměrem částic (odpovídá četnosti 50 %),
- standardní geometrickou odchylkou  $s = d_{84\%}/d_{50\%} = d_{50\%}/d_{16\%}$ , která určuje směrnici přímky a stupeň polydisperznosti prachu.

*Analyzátor částic CI-208 C.* Na principu rozptylu světla třídí a počítá částice aerosolu v osmi velikostních intervalech, a to ve dvou volitelných rozsazích od 0,3 do  $10 \mu\text{m}$  resp. od 3 do  $20 \mu\text{m}$ . Přístroj poskytuje zápis o počtu prachových částic stejně velkých a větších než je zvolená mez velikostního intervalu. Blížší popis přístroje a jeho funkce byl publikován dříve [2].

Výrobce doporučuje aspoň jednou za rok přístroj překalibrovat. Kalibraci zajišťuje celostátní servisní služba, nebo ji mohou provádět ta pracoviště, která mají k dispozici další potřebné zařízení, tzv. aerosolový generátor typu CI-205. Hlavní součást generátoru tvoří lamelové čerpadlo pro přivod primárního vzduchu do ejektoru a skleněná nádobka s objemem asi  $20 \text{ cm}^3$  suspenze testovacího prachu v deionizované destilované vodě. Ejekčním účinkem se suspenze s prachem nasává a ve formě aerosolu se rozprašuje a přivádí do vlastního analyzátoru částic. Optimální počet registrovaných impulsů se zajistí jednak volbou vhodné koncentrace prachových částic v suspenzi, jednak regulací průtoku vzduchu ejektorem. K cejchování analyzátoru dodává výrobce dva testovací aerosoly (monodisperzní polystyren-latexové kuličky velikostí např. 0,8 a  $2 \mu\text{m}$ ).

Při analýzách vzorků experimentálního prachu jsme v prvním případě postupovali stejně, jako při kalibraci přístroje. V několika pokusech jsme nejdříve sledovali vliv

pozadí na celkové výsledky měření. Ejektorem rozprašovaný aerosol čisté deionizované vody se přiváděl do analyzátoru. V jednotlivých velikostních intervalech byly registrovány počty částic, pohybující se řádově pouze ve stovkách. Protože při vlastních granulometrických analýzách pracujeme s koncentracemi nejméně o dva řády vyššími, je možno vliv tzv. pozadí zanedbat (v žádném případě nezpůsobuje chyby větší než 5%).

Ve skleněné nádobce generátoru aerosolu CI-205 se do asi  $20 \text{ cm}^3$  deionizované vody přidávala taková množství zkoumaného vzorku prachu, aby počet analyzátem registrovaných částic nejménší velikosti  $0,3 \mu\text{m}$  se pohyboval řádově v deseti- nebo statisíčích. Protože analýza jednoho vzorku v osmi velikostních intervalech trvá asi 10 minut, mohl by být výsledek měření znehodnocen sedimentací velkých prachových částic v suspenzi během této doby. Pro informaci uvádíme pádové rychlosti částic křemenného prachu (hustoty  $\rho = 2,6 \text{ g} \cdot \text{cm}^{-3}$ ) velikosti 5 a  $10 \mu\text{m}$  ve vzduchu a ve vodě:

Velikost částic $d [\mu\text{m}]$	5	10
pádová rychlosť ve vzduchu	$2,1 \text{ mm s}^{-1}$	$8,3 \text{ mm s}^{-1}$
pádová rychlosť ve vodě	$1,32 \text{ mm min}^{-1}$	$5,3 \text{ mm min}^{-1}$

Výše pádu mezi hladinou suspenze a nasávacím otvorem ejektoru  $h = 25 \text{ mm}$  by podle toho odpovídaly doby sedimentace 19 min. pro velikost částic  $5 \mu\text{m}$  a 4,7 min pro  $10 \mu\text{m}$ . Možný vliv sedimentace se vyloučil tím, že vzorek suspenze v nádobce se v každé přestávce mezi dvěma velikostními intervaly (10 s) ručně protřepal a promíchal.

Ze zápisu o počtu prachových částic v jednotlivých velikostních intervalech se stanovily četnosti a kumulativní četnosti výskytu v % podle počtu částic, které se potom podle běžných zásad přepracovaly na % podle hmotnosti částic. Pro dolní mez rozlišovací schopnosti  $0,3 \mu\text{m}$  byl přitom počet detekovaných částic považován za 100 % větších, tj. 0 % menších, než je uvedená velikost. Ke stanovení reprodukovatelnosti a variačního rozptylu výsledků měření se každá analýza vzorku 3 až 4krát opakovala.

S ohledem na různé dolní meze rozlišovací schopnosti použitých metod (u optické mikroskopie asi  $0,8 \mu\text{m}$ , u analyzátoru  $0,3 \mu\text{m}$ ) bylo možno celkem logicky očekávat že naměřené disperzní křivky se vzájemně budou lišit a že u analyzátoru budou posunuty směrem k menším velikostem. Zejména při analýzách hrubého prachu (vzorek 2) z vodní suspenze se však ukázala jiná závažná skutečnost, že totiž analyzátor vykazuje systematicky nižší četnosti výskytu částic větších dimenzí než mikroskopie. Předpokládali jsme proto, že v generátoru aerosolu se nedáří uvést tyto frakce do naležitého vztahu a do proudu vzduchu, přiváděného do analyzátoru.

V další sérii porovnávacích měření jsme proto zvolili jiný postup: malý, několika-miligramový vzorek prachu se nasypal do skleněné nádobky generátoru a v suchém stavu se ejektorem rozprašoval a přiváděl přímo do analyzátoru. S ohledem na výše uvedené pádové rychlosti částic ve vzduchu se prach ve skleněné nádobce v průběhu celé analýzy promíchal a víril pomocí elektromagneticky roztáčeného míchadla.

Jako míchadlo sloužil rovný drátek o průměru 1,5 mm (2), v další fázi pak drátek zaoblený podle tvaru dna skleněné nádobky (křivky 3).

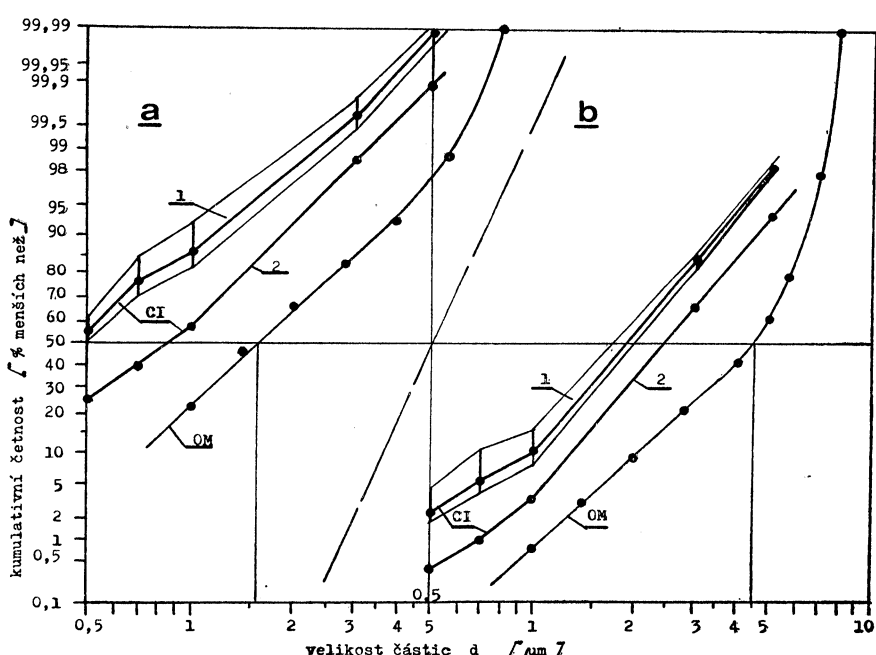
Ukázalo se, že při analýzách vzorků prachu v suchém stavu došlo sice ke značnému přiblížení výsledků měření disperzity mezi analyzátorem částic a optickou mikroskopí, na druhé straně se však ani těmito opatřeními nepodařilo uspokojivě vyřešit problém měření prachových částic větších dimenzií.

### 3. VÝSLEDKY MĚŘENÍ A JEJICH ROZBOŘ

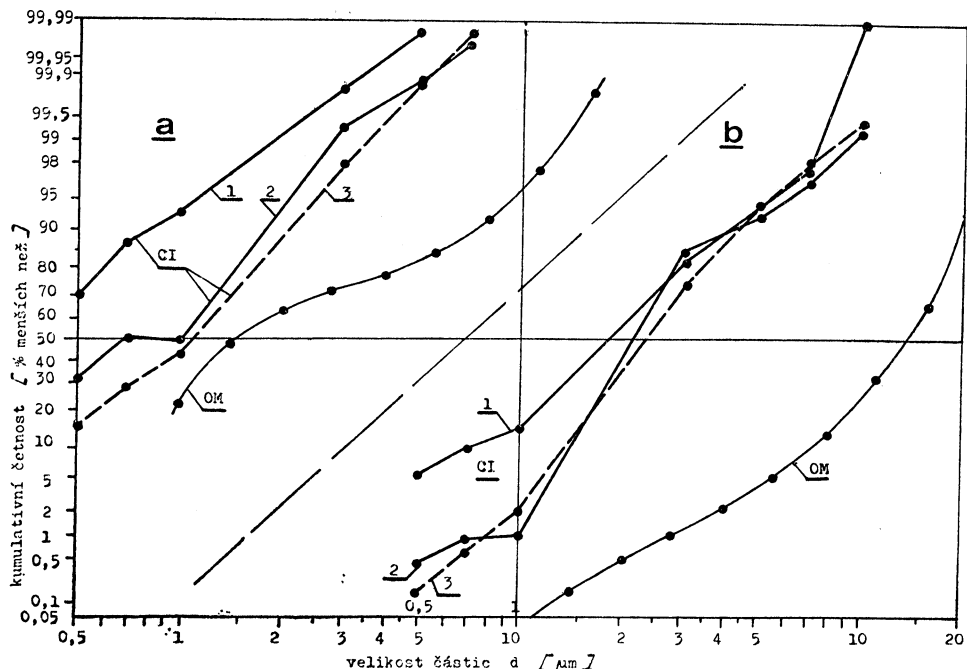
Výsledky porovnávacích měření jsou znázorněny graficky na obr. 1 a obr. 2. Vzorek 1 prachu po vytřídění na mikrositu obsahoval frakce velikosti pod 5  $\mu\text{m}$ , vzorek 2 byl vytříděn pro frakce mezi 5 až 15  $\mu\text{m}$ . Vliv předchozího třídění obou vzorků prachu dobře vystihuje mikroskopická metoda (OM). Podle ní měl první vzorek (obr. 1) logaritmickonormální rozdělení četnosti, charakterizované:

— středním geometrickým průměrem podle počtu částic  $d_{gn} = 1,55 \mu\text{m}$ , resp. podle hmotnosti částic  $d_{gg} = 4,5 \mu\text{m}$  a

— standardní geometrickou odchylkou  $s = d_{84\%}/d_{50\%} = 2,85/1,55 = 1,84$ . Sítování vzorku se projevilo zaoblením distribučních křivek, podle kterých prach obsahoval 97,5 % podle počtu částic, resp. 62 % podle hmotnosti částic velikosti pod 5  $\mu\text{m}$ .



Obr. 1. Kumulativní křivky četnosti (% částic menších než zvolená velikost) křemenného prachu velikosti pod 5  $\mu\text{m}$  (vzorek 1) a — podle počtu částic, b — podle hmotnosti částic, OM — optická mikroskopie, CI — analyzátor částic CI-208 C (1 — analýza ze suspenze prachu v deionizované vodě, 2 — analýza prachu v suchém stavu s rovným míchadlem)



Obr. 2. Kumulativní křivky četnosti křemenného prachu velikosti mezi 5 a 15  $\mu\text{m}$  (vzorek 2). Značení jako v obr. 1 (3 — analýza v suchém stavu se zlepšeným zaobleným míchadlem)

Reprodukce výsledků měření a představu o variačním rozptylu u analyzátoru částic si učiníme z průběhu křivek 1: silnou čarou je vyznačen průběh aritmetické střední kumulativní četnosti, slabšími čarami je vyznačeno pásmo extrémního rozptylu při  $n = 4$  opakových měření. Z průběhu křivek podle hmotnosti částic vyplývají malé rozptyly výsledků měření, které svědčí o dobré reproducovatelnosti metody.

Průběhy křivek 1 (analýza ze suspenze) a 2 (v suchém stavu) mají přibližně stejný sklon a tím i směrodatnou odchylku jako optická mikroskopie, jsou však posunuty směrem k menším velikostem. U tohoto druhu prachu velikosti pod 5  $\mu\text{m}$  je tedy možno stanovit korekční (přepočítací) faktory pro převod výsledků měření obou použitých metod (OM — CI-208 C). Optické mikroskopii bližší výsledky prokázala jednoznačně analýzu vzorků prachu v suchém stavu, zatím co analýza ze suspenze se ukazuje být méně vhodná.

V obr. 2 průběhy křivek 1 až 3 (jako střední hodnoty vždy ze 3 měření) znázorňují výsledky měření pomocí analyzátoru CI-208 C, a to podle způsobu přípravy a produkce měřeného aerosolu. Nejméně příznivá byla opět analýza vzorku z vodní suspenze (1). Stejný způsob generace aerosolu se sice používá při cejchování přístroje, je však nutno si uvědomit, že při kalibraci se používají monodisperzní aerosoly velmi malých rozměrů maximálně do 2  $\mu\text{m}$ .

Z výsledků analýzy vzorku 2 hrubšího prachu vyplývá, že analyzátor CI-208 C stanovuje systematicky nižší četnosti výskytu prachových částic velikosti nad 3  $\mu\text{m}$ ,

než mikroskopie. Tuto nepříznivou skutečnost se nepodařilo uspokojivě vyřešit žádým z uvedených tří způsobů generace aerosolu a jeho přívodu do přístroje. Vše nasvědčuje tomu, že částice uvedených rozměrů se v generátoru aerosolu nemohou dostat do potřebného vznosu. Vzhledem k této nepříznivé skutečnosti je proto aplikace granulometrické metody pomocí analyzátoru částic (ve spojení s generátorem aerosolu CI-205) omezena jen na velmi jemné druhy prachu velikosti asi pod 5  $\mu\text{m}$ .

#### 4. ZÁVĚRY

Na dvou druzích experimentálního křemenného prachu, rozdílných svým velikostním složením, byla sledována možnost použití analyzátoru CI-208 C pro granulometrické analýzy práškových materiálů. Z výsledků měření a jejich porovnání se standardní mikroskopickou metodou vyplývají tyto závěry:

1. Vlivem jiné dolní meze rozlišovací schopnosti než má mikroskopie (0,3, resp. 0,8  $\mu\text{m}$ ), analyzátor částic stanovuje křivky četnosti, posunuté směrem k menším velikostem, avšak pro částice pod 5  $\mu\text{m}$  se stejnou směrodatnou odchylkou.

2. Výsledky analýz do značné míry závisejí na způsobech přípravy vzorku prachu, produkci a přívodu vzorku z generátoru aerosolu CI-205 do vlastního analyzátoru. Kvalitnější výsledky měření poskytuje analýza prášku v suchém stavu, méně vhodná je analýza z vodní suspenze.

3. Převodní vztahy výsledků měření mezi analyzátorem částic a optickou mikroskopí je možno stanovit jen u jemnozrnných prachů velikosti přibližně pod 5  $\mu\text{m}$ . To je také oblast praktické použitelnosti analyzátoru, zatím co v oblasti částic větších dimenzí tato metoda naprostě selhává.

#### LITERATURA

- [1] Standardní metody měření prašnosti v pracovním ovzduší. Příloha č. 8 k Acta hygienica, epidemiologica et microbiologica. Institut hygieny a epidemiologie, Praha, 1976.
- [2] Šimeček, J.: Sledování venkovního ovzduší analyzátorem částic CI-208 C. Zdravotní technika a vzduchotechnika 29 (1986), 6.: 229 – 234.

#### СРАВНЕНИЕ ДВУХ ГРАНУЛОМЕТРИЧЕСКИХ МЕТОДОВ

Инж. Ярослав Шимечек, к. т. н.

По гранулометрическому составу два разных сорта кварцевой пыли были анализированы с помощью микроскопического метода и анализатора частиц CI-208 C (Climet Instruments, USA). Принимая во внимание разные нижние пределы разрешающей способности обоих методов результаты определения дисперсивности пыли взаимно перемещены. У анализатора результаты измерения зависят от способа продукции аэрозоля и его подвода в прибор. В сравнении с микроскопическим методом определяет анализатор систематически более низкие частоты наличия частиц пыли больших размеров; метод поэтому возможно использовать только для тонкой пыли с размером приблизительно до 5  $\mu\text{m}$ .

#### COMPARISON OF TWO GRANULOMETRIC METHODS]<sup>1)</sup>

Ing. Jaroslav Šimeček, CSc.

Two kinds of the quartz dust different in size composition have been analysed by the microscopical method and by the particle analyser CI-208 C (Climet Instruments, USA). With regard to the diverse low limits of the differentiation of the both methods results of the dispersity determina-

tion are reciprocally shifted. Results of the measuring of the analyser depend on the production process of aerosol and on its feeding into the instrument. In comparison with the microscopical method the analyser evaluates systematically lower rate of the dust particles of greater size; this method can be therefore used for fine dusts with the size about to 5 µm only.

## VERGLEICH VON ZWEI KORNGRÖSSENVERTEILUNGSMETHODEN

Ing. Jaroslav Šimeček, CSc.

Zwei durch die Korngrößenverteilung verschiedene Quarzstaubarten wurden mit Hilfe der mikroskopischen Methode und des Partikelanalysators CI-208 C (Climet Instruments, USA) analysiert. Mit der Rücksicht auf die verschiedenen Untergrenzen einer Auflösungsfähigkeit von beiden Methoden sind die Ergebnisse der Bestimmung einer Staubdispersität gegenseitig verschoben. Beim Analysator hängen die Messergebnisse vom Verfahren der Aerosolproduktion und von seiner Zuführung ins Gerät ab. Im Vergleich mit der mikroskopischen Methode bestimmt der Analysator systematisch die niedrigeren Häufigkeiten eines Vorkommens von grösseren Staubpartikelgrössen; man kann diese Methode deshalb nur für feine Stäube bis etwa 5 µm anwenden.

## COMPARAISON DE DEUX MÉTHODES GRANULOMÉTRIQUES

Ing. Jaroslav Šimeček, CSc.

Deux catégories de la poussière quartzeuse avec différente composition de taille étaient analysées par la méthode microscopique et par l'analysateur des particules CI-208 C (Climet Instruments, USA). En égard à différentes limites inférieures d'un pouvoir résolvant de toutes deux méthodes, les résultats de la détermination d'un pouvoir dispersif de la poussière sont déplacés réciproquement. Auprès de l'analysateur, les résultats de mesure dépendent du mode de la production d'un aérosol et de son amenée dans l'appareil. En comparaison de la méthode microscopique, l'analysateur détermine systématiquement les fréquences plus basses d'une resource des particules de poussière des tailles plus grandes; il est possible d'utiliser cette méthode pour les poussières fines de la taille jusqu'à concurrence de 5 µm seulement.

### ● Energeticky úsporná budova v Tokiu

V Tokiu byla vyprojektována a postavena administrativní budova firmy Ohbayashi z hlediska maximální úspory energie. Při návrhu bylo vytyčeno 98 bodů opatření k úspoře energie, a to:

- 1 — optimální umístění budovy
- 2 — optimální orientace budovy
- 3 — stavba ve tvaru krychle
- 4 — vytvoření terénních laviček
- 5 — omezení počtu podlaží
- 6 — omezení výšky pater
- 7 — použití systému dvojitého jádra
- 8 — vchod rovnoběžně s převládajícím směrem větrů
- 9 — instalace větrolamu u vchodu
- 10 — instalace závětrní
- 11 — odpočívárny a schodiště s denním osvětlením
- 12 — snížení plochy oken
- 13 — použití speciálních zdvojených skel na severní straně
- 14 — izolace vnějších stěn
- 15 — izolace střechy
- 16 — použití izolovaných okenic
- 17 — použití vnějších okenních žaluzií
- 18 — izolace vodorovných výstupků
- 19 — izolace vstupních dveří
- 20 — zvýšená těsnost vstupních dveří
- 21 — zvýšená izolace a těsnost oken
- 22 — využití přirozeného větrání
- 23 — vytvoření „zeleného“ okolí
- 24 — použití dvojitěho opláštování na jižní fasádě
- 25 — použití reflexních skel u vnějšího opláštování
- 26 — naklápení reflexních skel
- 27 — přímé využití sluneční energie pro vytápění a klimatizaci
- 28 — využití solární energie pro přípravu TUV
- 29 — akumulace sluneční energie při nižších teplotách
- 30 — akumulace sluneční energie v podloži budovy

- 31 — vytápění slunečními panely  
 32 — použití rotačních výměníků tepla  
 33 — omezení energetických nároků na udržování vnitřní teploty vyrovnáním střední teploty sálání v místnostech  
 34 — snížení chladicí zátěže použitím úsporného systému osvětlení  
 35 — snížení chladicí zátěže použitím plošného osvětlení instalovaného ve zdvojeném pláště  
 36 — kontrolované přírodní chlazení v chladném a přechodném období  
 37 — kontrolovaný přívod čerstvého vzduchu v závislosti na obsazení budovy měřením koncentrace CO<sub>2</sub>  
 38 — kontrolovaný přívod vzduchu během předehřívání a přechodných období  
 39 — kontrolované větrání zdvojeného pláště  
 40 — noční odvětrávání vnitřních prostorů  
 41 — optimální umístění nasávání venkovního vzduchu  
 42 — podzemní vedení přívodu venkovního vzduchu  
 43 — použití těsných klapek  
 44 — použití systému s proměnným objemovým průtokem  
 45 — použití systému s velkým rozdílem teplot (mezi přiváděným vzduchem a vzduchem v místnosti)  
 46 — použití systému odvodu vzduchu bez spotřeby energie při přirozeném chlazení  
 47 — kontrola počtu čerpadel v činnosti  
 48 — použití závěsů osvětlení s odvětrávacími kanály  
 49 — použití bezpotrubních systémů přívodu vzduchu  
 50 — použití vysoce účinných motorů  
 51 — použití převodových řemenů s vnitřním ozubením  
 52 — snížení odporu třením ve vzduchovém potrubí  
 53 — snížení odporu třením v ostatním potrubí  
 54 — použití systémů pro zpětné získávání tepla  
 55 — zvýšení teploty chladicí vody v chladicí  
 56 — použití systému akumulace tepla  
 57 — omezení spotřeby energie pro čerpadla zabudovanými akumulačními nádržemi na teplo  
 58 — použití tepelně izolovaných akumulačních nádrží  
 59 — použití systému akumulace tepla kondenzátorové vody  
 60 — kontrolovaný systém akumulace tepla z chladicí vody  
 61 — programované optimální startování vytápěcích a chladicích systémů  
 62 — zesílená izolace okolo akumulačních nádrží  
 63 — zesílená izolace okolo strojního zařízení  
 64 — zesílená izolace rozvodu vzduchotechnického potrubí  
 65 — zesílená izolace rozvodu ostatního potrubí  
 66 — utěsněný rozvod vzduchu  
 67 — přirozené větrání strojoven  
 68 — přirozené větrání kuchyně  
 69 — místní větrání odpočíváren a šatren  
 70 — použití dvoustupňové klimatizace  
 71 — použití klosetu s úsporou vody  
 72 — snížení spotřeby vody snížením tlaku vody  
 73 — přívod vody do 1. poschodi napojený přímo na městský vodovod  
 74 — místní přívody teplé užitkové vody  
 75 — programované zařízení na přípravu čaje  
 76 — samotížný odpadní systém  
 77 — využití dešťové vody  
 78 — využití odpadní vody ze strojního zařízení  
 79 — kontrolovaný systém samotížného odvodu dešťové vody  
 80 — osvětlení řízené v závislosti na osvětlení okolí  
 81 — použití vypínačů tabletového typu  
 82 — regulace osvětlení v obvodové zóně s využitím denního osvětlení  
 83 — automatické vypínání světel v odpočívárnách a na schodišti v závislosti na denním osvětlení  
 84 — programované vypínání světel v době oběda  
 85 — automatické vypínání světel po naprogramovaných intervalech  
 86 — automatické vypínání nouzových světel ve dne a o pracovním volnu  
 87 — použití úsporných předráždáků  
 88 — použití úsporných zářivek  
 89 — účinné chlazení svítidel zpětným vzduchem  
 90 — použití světlých maleb a nátěrů v místnosti  
 91 — zlepšení účinníku  
 92 — použití vysoce účinných transformátorů  
 93 — kontrolovaný počet transformátorů v činnosti v souladu s okamžitou zátěží  
 94 — automatické vypínání periferních prvků počítací, pokud tyto nepracují  
 95 — kontrolovaný provoz motorů aj.  
 96 — programované ovládání podokenních klimatizačních jednotek  
 97 — použití solárních článků  
 98 — výroba elektrické energie fotovoltaickými články bez bateriové jednotky

Těmito opatřeními, jak se ukázalo po prvním roce provozu, bylo ušetřeno téměř 75 % energie ve srovnání s obdobnými běžnými administrativními budovami.

# GRAFICKÉ URČOVANIE HODNÔT DOPADAJÚCEHO SLNEČNÉHO ŽIARENIA NA LUBOVOLNE ORIENTOVANÚ ROVINU\*)

ING. ŠTEFAN ONDÁŠ

Stavebná fakulta VŠT Košice

V článku je podle známého výpočetného postupu vypracován grafický zpôsob určenia intenzity slnečného zárenia na libovolne orientovanou a libovolne sklonenou rovinu a v prílohach tohto čísla časopisu sú uvedené príslušné nomogramy.

Grafický postup umožňuje rýchle určenie intenzity zárenia pro výpočet tepelných ziskov a tepelné záťaze oslnených ploch. Do jisté míry supluje možnosti výpočetnej techniky v prípadech, kde tato technika není k dispozícii.

Recenzoval: Doc. Ing. Dr. Jaromír Cihelka

V súčasnom období čoraz viac je potrebné hospodáriť s energiou, ktorú získavame z klasických zdrojov. Preto sa pozornosť obracia i na využívanie netradičných zdrojov energie. Jednou z nich je i slnečná energia. Využitie slnečnej energie je možné pasívnu, ale aj aktívnu formou. Aby slnečná energia mohla byť využitá, je potrebné poznat intenzitu dopadajúceho slnečného žiarenia na rôzne orientované povrchy pri rôznych poveternostných a klimatických vplyvoch danej geografickej lokality.

Predkladaný grafický postup určovania dostupnosti slnečného žiarenia vychádza z poznatkov vykonanej analýzy v prácach [2], [3]. V týchto rozboroch vychádza sa z maximálneho priblíženia matematického modelu reálnym klimatickým pomerom. Realita vonkajšej klímy je reprezentovaná predovšetkým oblačnosťou, resp. slnečným svitom a charakteristikou vyjadrujúcou znočistenie, príp. zákal atmosféry. Na základe matematického modelu je možné s dostačou presnosťou vypočítať hodnoty intenzity dopadajúceho slnečného žiarenia na rôzne orientovaných povrchoch pri jasnej i zamračenej oblohe s rôznymi hodnotami zákalového činitelia atmosféry. Matematický algoritmus metódy podľa [2] je v zjednodušenej podobe pretransformovaný autorom príspevku do grafických závislostí, čoho výsledkom pre komplexný výpočet intenzity slnečného žiarenia je 7 nomogramov.

Intenzita slnečného žiarenia pre posudzovaný povrch závisí hlavne od vzájomnej polohy Slnka na oblohe a posudzovaného miesta a jeho povrchu. Poloha Slnka na oblohe

v priebehu dňa i roka sa neustále mení. V každom okamžiku roka je možné polohu Slnka určiť horizontálnymi súradnicami [1], t. j. výškou Slnka „ $h_0$ “ a azimutom Slnka „ $A_0$ “. Tieto súradnice určujú sa z miestneho slnečného času za predpokladu, keď Slnko dosiahne maximálnu výšku na poludnie každého dňa v čase  $\tau = 12$  h. V tomto čase Slnko nachádza sa nad južným horizontom, kedy azimut Slnka  $A_0 = 0^\circ$ . Tieto súradnice v libovoľnom čase roka — podľa dátumu a hodiny (príp. rovníkovej súradnice Slnka — deklínaciou Zeme „ $\delta$ “) je možné určiť z nomogramu —  $A$ . Z nomogramu je možné zároveň odčítať čas východu Slnka „ $H_v$ “, kedy vlastne začína slnečné žiarenie a výpočtovú hodnotu azimutu Slnka  $A_0^s$ . Nomogram —  $A$  je zostavený pre miesta na Zemi, ktoré sa nachádzajú na  $\varphi = 49^\circ$  severnej zemepisnej šírke. Objasnenie pojmov súradnice Slnka ako aj ďalších symbolov použitých v tomto príspevku znázorňuje obr. 1.

Vzájomné postavenie Slnka na oblohe a posudzovaného miesta na Zemi je vyjadrené uhlom dopadu slnečných lúčov „ $i$ “ (obr. 1). Hodnoty tohto uhlá budú sa meniť v závislosti na súradničach posudzovaného povrchu a súradničach Slnka. Posudzovaný povrch na Zemi je definovaný obdobne dvoma uhlami súradnicami azimutom povrchu „ $A_n^s$ “ a odklonom od horizontálnej roviny „ $\beta$ “. Ak posudzovaný povrch je v horizontálnej polohе „ $H$ “, t. j.  $\beta = 0^\circ$ , vtedy azimut povrchu  $A_n^s$  nie je definovaný. V grafickom postupe pri horizontálnej polohe povrchu „ $H$ “ určujú sa výpočtové parametre z výšky Slnka „ $h_0$ “.

\*) Obrázek a nomogramy k tomuto článku sú uvedené na kartonových prílohách 116a, b, c, d.

Vzájomné postavenie Slnka na oblohe a posudzovaného povrchu v grafickom postupe určovania intenzity slnečného žiarenia sú vyjadrené súčinitelom „ $K_\beta$ “ (príp.  $K_v$  pre  $\beta = 90^\circ$ ;  $K_H$  pre  $\beta = 0^\circ$ ) pre odklon povrchu s uhlov. „ $\beta$ “ ( $= 0^\circ, 30^\circ, 45^\circ, 60^\circ, 90^\circ$ ) v nomograme —  $B$ .

Pri určovaní intenzity dopadajúceho slnečného žiarenia na posudzovaný povrch v predkladanom grafickom postupe vychádza sa z hodnoty solárnej konštanty  $E_0 = 1360 \text{ W m}^{-2}$ . Intenzita dopadajúceho slnečného žiarenia bude sa meniť v závislosti na klimatických a poveternostných charakteristikách pri vzájomne definovanej polohe Slnka a povrchu. Poveternostné vplyvy sú obdobne aj v grafickom postupe rozdelené na určovanie intenzity slnečného žiarenia pri jasnej oblohe — bezoblačnej (pri slnečnom svite) a pri zamračenej oblohe. Vplyv znečistenia atmosféry je vyjadrený zákalovým činidlom atmosféry „ $T$ “. Podľa [3] koeficienty znečistenia atmosféry nadobúdajú nasledovné hodnoty:

$$\begin{aligned} T &= 3,0\text{--}3,5 \text{ krajina vo väčších nadmorských výškach} \\ &3,5\text{--}4,0 \text{ vidiek, čisté ovzdušie} \\ &4,0\text{--}5,0 \text{ mestská oblasť, priemerné znečistenie} \\ &5,0\text{--}6,5 \text{ priemyselná oblasť, silné znečistenie} \end{aligned}$$

Pre určenie hodnoty priamej intenzity dopadajúceho slnečného žiarenia, t. j. pri jasnej oblohe, v grafickom postupe vychádza sa z troch určujúcich charakteristik: výšky Slnka „ $h_0$ “, vzájomnej polohy Slnka a posudzovaného povrchu vyjadreného súčinitelom „ $K_\beta$ “ ( $K_H$ ,  $K_v$ ) a v závislosti na zákalovom činidle atmosféry „ $T$ “. Zo vzájomného spolu pôsobenia určujúcich charakteristik pri jasnej oblohe je možné vyjadriť z nomogramu —  $C$  číselné hodnoty priamej intenzity slnečného žiarenia pre daný orientovaný povrch so sklonom „ $\beta$ “ — „ $I_{P\beta}$ “ a priamu intenzitu slnečného žiarenia dopadajúcu na povrch kolmý na smer slnečných lúčov — „ $I_{PN}$ “. Hodnoty dopadajúcej intenzity slnečného žiarenia sú vyjadrené vo  $\text{W m}^{-2}$ .

Mimo priamej intenzity slnečného žiarenia „ $I_P$ “ dopadá na posudzovaný povrch aj difúzna zložka intenzity slnečného žiarenia „ $I_D$ “ a mimo horizontálnych povrchov aj odrazená zložka žiarenia od okolitých povrchov „ $I_D^o$ “. Intenzita difúzneho žiarenia oblohy „ $I_D$ “ závisí pri jasnej oblohe hlavne od zloženia atmosféry a jeho znečistenia vyjadrené zákalovým činidlom atmosféry „ $T$ “. Intenzita odrazeného žiarenia „ $I_D^o$ “ závisí predovšetkým na intenzite dopadajúceho žiarenia a charaktere odraživosti žiarenia okolitého terénu a povrchov, vyjadrené súčinitelom odraživosti žiarenia „ $\varrho$ “. Sumárne pôsobenie všetkých zložiek slnečného žiarenia, t. j. priame, difúzne i odrazené dávajú intenzitu globálneho, resp. celkového slnečného žiarenia.

Grafické určovanie zložiek intenzity difúzneho žiarenia je odvozené od intenzity difúzneho žiarenia pre horizontálnu rovinu „ $I_{DH}$ “.

Hodnoty intenzity difúzneho žiarenia pre horizontálnu rovinu „ $I_{DH}$ “ grafický sú určované z výšky Slnka „ $h_0$ “ a zákalového činidla atmosféry „ $T$ “. Grafická závislosť týchto premenných veličín je spracovaná v nomograme —  $D$ . Prevod intenzity difúzneho žiarenia na horizontálnej rovine pre rôzne orientované povrhy so sklonom „ $\beta$ “ ( $= 30^\circ, 45^\circ, 60^\circ, 90^\circ$ ) je spracovaný pomocou súčinitela „ $K_D$ “. Súčinitel „ $K_D$ “ vyjadruje závislosť vzájomného postavenia Slnka s posudzovaným povrom (súčinitel „ $K_\beta$ “) a charakter rozptylu slnečného žiarenia v atmosfére (súčinitel „ $T$ “). Hodnota súčinitela „ $K_D$ “ určuje sa z grafickej závislosti vyjadrenej v nomograme —  $E$  pre príslušný odklon posudzovaného povrhu s uhlov.  $\beta$ .

Odrazená intenzita difúzneho žiarenia závisí od súčinitela odraživosti žiarenia „ $\varrho$ “ a od hodnoty dopadajúcej intenzity slnečného žiarenia. Dopadajúca intenzita je zložená z priamej intenzity „ $I_P$ “ a difúznej zložky „ $I_D$ “ slnečného žiarenia. Vstupnou hodnotou pre potreby určovania intenzity odrazenej zložky žiarenia „ $I_D^o$ “ je hodnota súčtu intenzity slnečného žiarenia (priama a difúzna), ktorá dopadá na horizontálnu rovinu, t. j.  $I_{GH} = I_P + I_{DH}$ . Z tejto hodnoty je graficky vyjadrená hodnota intenzity odrazeného žiarenia spracovaná v nomograme —  $F$ .

Vplyv zamračenej oblohy pri určovaní intenzity difúzneho žiarenia podľa [2] je pretransformovaný pomocou výpočtových konštant do vplyvu charakteristiky zákalového činidla atmosféry „ $T$ “. Preto i v grafickom určovaní intenzity difúzneho žiarenia zo zamračenej oblohy „ $I_z$ “ základnými určujúcimi charakteristikami budú výška Slnka „ $h_0$ “ a zákalový činidel atmosféry „ $T$ “. Z týchto charakteristik určuje sa základná hodnota intenzity difúzneho žiarenia dopadajúca na horizontálny povrch „ $I_{ZH}$ “, z ktorej sú odvozené hodnoty intenzity žiarenia pre rôzne sklonky povrchov s uhlov. „ $\beta$ “ ( $= 30^\circ, 45^\circ, 60^\circ, 90^\circ$ ) bez vplyvu odraživosti žiarenia okolitých povrhov, a s vplyvom odraživosti s rôznymi hodnotami „ $\varrho$ “. Grafická závislosť je vyjadrená v nomograme —  $DZ$ .

Snahou autora predkladaného grafického postupu určovania intenzity slnečného žiarenia bolo minimalizovať potrebu matematických operácií. Pri praktickom použíti predkladanych nomogramov užívateľ potrebuje použiť jednoduché matematické operácie pri hľadaní hodnôt interpoláciou. Presnosť výsledných hodnôt bude závisieť od presnosti odčítavania pomocných a výsledných veličín z jednotlivých nomogramov. Grafický postup výpočtu rýchlosťou vyrovnaná sa rýchlosťi počítania na minikalkulačkách s funkciemi.

Postup grafického určovania intenzity slnečného žiarenia dopadajúcej na rôzne orientované povrhy je názorne zdokumentovaný na príklade s rozvedeným postupom v jednotlivých nomogramoch a tabuľkovým vyjadrením odčítaných hodnôt v poradí ako sú odčítavané. Grafické výsledky sú porovnané s vypočítanými hodnotami podľa matematického modelu.

**Priklad:** Pre 10. III. určiť v čase  $\tau = 10^{\text{oo}}$  hodin hodnoty intenzity slnečného žiarenia vo  $\text{W} \cdot \text{m}^{-2}$ :  $I_{PN}$ ,  $I_{PB}$ ,  $I_{D\beta}$ ,  $I_{DB}^e$ ,  $I_{Z\beta}^e$ ,  $I_{DV}^e$  v oblasti s činiteľom  $T = 4$  a súčiniteľom odrazivosti  $\varrho = 0,3$  na  $\varphi = 49^\circ$  s. z. š. pre povrch s orientáciou JV ( $A_n^s = 135^\circ$ ) pri sklonе povrchu  $\beta = 0^\circ$ , t.j. „H“;  $\beta = 45^\circ$  a  $\beta = 90^\circ$ , t.j. „V“.

Por	Nom	Vstupné údaje pre výpočet	Odčítané hodnoty z nomogramu	Kontrolný výpočet matematickým postupom
1.	A	10. III. $\tau = 10^{\text{oo}}$	$A_o = 36^\circ$ $h_o = 31^\circ$ $A_o^s = 144^\circ$ $\delta = -4^\circ$ $H_V = 6^{20}$	$A_o = 35,5^\circ$ $h_o = 30,8^\circ$ $A_o^s = 144,5^\circ$ $\delta = -4,11^\circ$ $H_V = 6^{19}$
2.	B	$ A_n^s - A_o^s  = 9^\circ$ $h_o = 31^\circ$ ; $Z = 4$ $\beta = 0^\circ, 45^\circ, 90^\circ$	$K_H = 5,15^*)$ $K_\beta = 9,6$ $K_V = 8,45$	
3.	C	$h_o = 31^\circ$ ; $Z = 4$ $K_H = 5,15$ $K_\beta = 9,6$ $K_V = 8,45$	$I_{PN} = 680$ $I_{PH} = 350$ $I_{PB} = 660$ $I_{PV} = 580$	$I_{PN} = 686,3$ $I_{PH} = 351,8$ $I_{PB} = 659,7$ $I_{PV} = 581,2$
4.	E	$K_\beta = 9,6$ $Z = 4$ $K_V = 8,45$	$K_{D\beta} = 13,8$ $K_{DV} = 11,1$	
5.	D	$h_o = 31^\circ$ $Z = 4$ $K_{D\beta} = 13,8$ $K_{DV} = 11,1$	$I_{DH} = 110$ $I_{D\beta} = 151$ $I_{DV} = 122$	$I_{DH} = 110,5$ $I_{D\beta} = 152,1$ $I_{DV} = 122,3$
6.	F	$I_{GH} = 460^{**})$ $\varrho = 0,3$ $\beta = 45^\circ, 90^\circ$	$I_{D\beta}^e = 20$ $I_{DV}^e = 70$	$I_{D\beta}^e = 20,3$ $I_{DV}^e = 69,4$
7.	DZ	$h_o = 31^\circ$ $Z = 4$ $\beta = 0^\circ, 45^\circ, 90^\circ$ $\varrho = 0,3$	$I_{ZH} = 192$ $I_{ZV} = 77$ $I_{Z\beta} = 159$ $I_{Z\beta}^e = 8,5$ $I_{ZV}^e = 29$	$I_{ZH} = 195,5$ $I_{ZV} = 78,1$ $I_{Z\beta} = 160,9$ $I_{Z\beta}^e = 8,6$ $I_{ZV}^e = 29,3$

\* ) Pre povrch „H“ ( $\beta = 0^\circ$ ) uvažovať s „ $h_o$ “, namiesto  $|A_n^s - A_o^s|$ .  
\*\*)  $I_{GH} = I_{PH} + I_{DH}$

#### Použitá literatúra:

- [1] Kittler, Kittlerová: Návrh a hodnotenie denného osvetlenia. ALFA, Bratislava 1975.
- [2] Mikler, J.: Výpočet dostupnosti slnečnej energie na ťubovoľnej rovine s uvažovaním vplyvu oblačnosti. Stavebnícky časopis č. 5/83.
- [3] Puškáš, J.: Matematický model tepelnej zátaže budov od slnečného žiarenia. Žáver. správa úlohy P-04-521-293-09.04 Stavebná fakulta SVŠT Bratislava 1977.

Графическое определение значений падающей солнечной радиации на произвольно ориентированную плоскость  
Инж. Штефан Ондаш

В статье разработан по знакомому порядку вычисления графический способ определения интенсивности солнечной радиации на произвольно ориентированную и на произвольно наклонной плоскость

и приводятся соответствующие номограммы. Графический способ позволяет быстрое определение интенсивности радиации для расчета тепловых прибылей и тепловой нагрузки поверхностей, на которые падает солнечная радиация. В какой-то мере заменяет вычислительной техники в случаях, когда эта техника не в распоряжении.

Graphical determination of the values of impinging solar radiation on the arbitrary directed plane

Ing. Štefan Ondáš

The graphical method of solar radiation intensity determination on an arbitrary directed and inclined plane in accordance with the known calculation method is described in the article and the nomographs are presented there, too. The graphical method allows to determinate fast the radiation intensity for the heat gains calculation and the thermal loads of the isolated surfaces. To a certain

extent this method substitutes the possibilities of the computer technique in the cases when this technique is not at disposal.

Rechentechnik einigermassen in den Fällen, wo diese Technik nicht zur Verfügung steht.

### Graphische Wertbestimmung der auf die beliebig orientierte Ebene fallenden Sonnenstrahlung

Ing. Štefan Ondáš

Im Artikel wird die graphische Bestimmungsmethode der Sonnenstrahlungsintensität auf eine beliebig orientierte und beliebig geneigte Ebene nach dem bekannten Berechnungsverfahren ausgearbeitet und weiter werden die angehörigen Nomogramme eingeführt. Die graphische Methode ermöglicht die schnelle Bestimmung der Strahlungsintensität für die Berechnung der Wärmegewinne und des Wärmeverlustes der Sonnenbestrahlten Flächen. Sie suppliert die Möglichkeiten der

Détermination graphique des valeurs du rayonnement solaire incident sur un plan orienté arbitrairement

Ing. Štefan Ondáš

Dans l'article présenté, la méthode graphique de la détermination de l'intensité de rayonnement solaire sur un plan orienté arbitrairement et incliné arbitrairement est élaborée suivant le mode de calcul connu et les nomogrammes correspondants sont cités. La méthode graphique permet la détermination rapide de l'intensité de rayonnement pour le calcul des gains thermiques et de la charge thermique des surfaces insolées. À certain point, celle-ci supplée aux possibilités de la technique de calcul dans les cas où cette technique n'est pas à la disposition.

### Poznámka redakční rady

Grafický způsob určení intenzity slunečního záření popsáný Ing. Ondášem je jednoduchý a umožňuje poměrně rychlé řešení v případech, kde není k dispozici výpočetní technika. Z tohoto důvodu článek otiskujeme, i když dáváme přednost programům pro výpočetní techniku.



Fridrich

# ZKUŠENOSTI Z PROVOZU ZAŘÍZENÍ PRO REKUPERACI TEPLA Z ODPADNÍCH VOD

ING. JIŘÍ MATĚJČEK: *Inklemo, Praha*  
ING. PETR KUTINA, CSc.: *VÚPS, Praha*  
ING. MIROSLAV HARTL: *VÚPS, Praha*

Zařízení pro rekuperaci tepla, které je v článku popsáno, lze používat pro předehřívání velkých průtoků vody teplem získaným z neagresivních a relativně málo znečištěných odpadních vod. Praktická aplikace zařízení je uvedena pro provozovnu Pražských lázní v Praze 5.

Recenzoval: Doc. Ing. Jaroslav Chyský, CSc.

## 1. Úvod

Pro hygienickou očistu se používá teplá užitková voda (TUV), nejčastěji o teplotě okolo 40 °C. Tato voda odchází po použití do splaškové kanalizace. Hodnota tepelné energie potřebné pro přípravu (ohřátí) TUV se tím bez zbytku ztrácí.

Myšlenka získávání tepla z odpadních vod není nová. Při řešení se vždy naráželo na problém nízké životnosti celého zařízení. Ta je způsobena hlavně zanášením výměníku tepla usazeninami z odpadní vody.

Pro aplikaci rekuperátoru bylo nutno vytyčovat vhodný objekt, ve kterém by bylo možno z kanalizace oddělit relativně čistou odpadní vodu o stálé teplotě.

Byl vybrán objekt Hygie a Pražských lázní v Praze 5, kde bylo možno v kotelně oddělit část odpadních vod, které jsou znečištěny pouze šampony, mýdlem a kožními deriváty.

## 2. Situace

V provozovně se připravuje teplá užitková voda ve dvou akumulačních výměnících tepla o objemu cca 2 500 l a výhrevné ploše 10 m<sup>2</sup>. Ohřívacím médiem je nízkotlaká pára. Výměníky nestačí pokrýt potřebu TUV v průběhu dne. Proto bylo třeba před zahájením provozu akumulovat teplo ve vodě o teplotě 100 °C a tuto ohřátou vodu mísit se studenou vodou na teplotu maximálně 65 °C. Pro sprchování a mytí se ohřátá voda dále míší se studenou vodou v místech baterií v místě spotřeby na teplotu okolo 40 °C.

Tento provoz vede k nadmerné inkrustaci na teplosměnných plochách, k dalšímu snižování jejich výkonů a ke snižování životnosti zařízení.

Průměrná teplota použité vody v kanalizačním potrubí je 33 °C, průtok odpadní vody

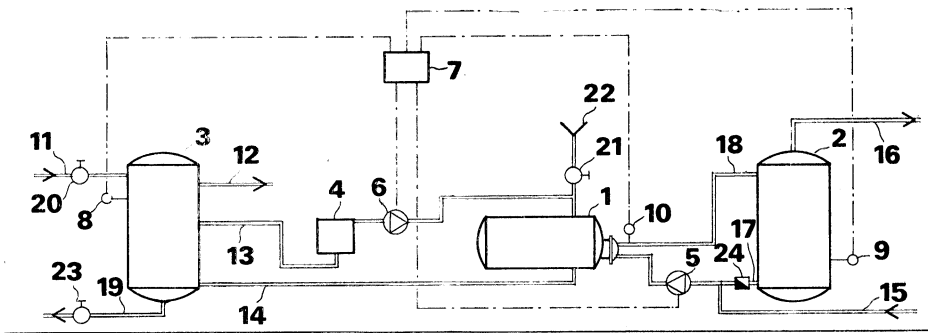
o této teplotě byl odhadnut na 7 m<sup>3</sup>/h v době provozu zařízení, tj. po dobu 10 hodin denně, včetně sobot.

Aby se snížila energetická náročnost provozu a zároveň zabezpečil dostatek užitkové vody o požadované teplotě, bylo navrženo a postaveno zařízení pro přímou rekuperaci tepla z odpadních vod, bez použití tepelného čerpadla. Hlavní součástí zařízení je protiproudový ohříváč o výhrevné ploše 16 m<sup>2</sup>. Ohřívací (odpadní) voda je přiváděna do pláště výměníku, předehřívaná voda o průměrné teplotě 11 °C protéká trubkovnicí. Při prostém průtoku ohřívací i ohřívané vody se změní teploty obou kapalin jen nepatrně.

Aby se zvýšila účinnost zařízení, jsou na straně odpadní i předehřívané vody předřazeny samostatné cirkulační okruhy. V každém okruhu je instalováno oběhové čerpadlo a vyrovnávací nádrž. Před čerpadlem okruhu odpadní vody je vřazen lapač vlasů typu LVI. Při tomto uspořádání probíhá výměna tepla ve výměníku za intenzivního proudění po obou stranách teplosměnných ploch. Jelikož množství vody dodávané čerpadly je vyšší než množství vody při přímém průtoku, proběhnou obě kapaliny výměníkem několikrát. Účinnost zařízení do značné míry ovlivňuje zanášení teplosměnných ploch výměníku na straně odpadní vody.

## 3. Popis funkce zařízení (obr. 1)

Chod oběhových čerpadel je ovládán elektronickým regulátorem se třemi teplotními vstupy a dvěma ovládacími výstupy. Snímá se teplota vody ve vyrovnávací nádrži čisté předehřívané vody a teplota předehřáté vody na výstupu z výměníku tepla. Jestliže je teplota ve vyrovnávací nádrži odpadní vody nižší než je teplota ve vyrovnávací nádrži čisté vody a zároveň je



Obr. 1. Schéma zařízení pro rekuperaci tepla z odpadních vod

- |  |  |
|--|--|
| 1. Rekuperační výměník tepla                                 | 14. Vratné potrubí odpadní vody do vyrovnávací nádrže  |
| 2. Vyrovnávací nádrž užitkové vody                           | 15. Přívod studené užitkové vody                       |
| 3. Vyrovnávací nádrž odpadní vody                            | 16. Odvod předehřáté užitkové vody                     |
| 4. Lapač vlasů LV 1  | 17. Vstup užitkové vody do cirkulačního okruhu         |
| 5. Cirkulační čerpadlo okruhu užitkové vody                  | 18. Vratné potrubí užitkové vody do vyrovnávací nádrže |
| 6. Cirkulační čerpadlo okruhu odpadní vody                   | 19. Odkalovací potrubí vyrovnávací nádrže odpadní vody |
| 7. Elektronický regulátor ER-01                              | 20. Uzavírací šoupě odpadní vody                       |
| 8. Teplotní čidlo vyrovnávací nádrže odpadní vody            | 21. Uzavírací šoupě chemického čištění výměníku        |
| 9. Teplotní čidlo vyrovnávací nádrže užitkové vody           | 22. Nálevka čisticího roztoku                          |
| 10. Teplotní čidlo na výstupu užitkové vody z výměníku tepla | 23. Šoupě na odkalovacím potrubí                       |
| 11. Přívod odpadní vody                                      | 24. Zpětná klapka                                      |
| 12. Přepad odpadní vody                                      |  |
| 13. Přívod odpadní vody k lapači vlasů LV 1                  |  |

teplota ohřívané vody na výstupu z výměníku nižší než je teplota ve vyrovnávací nádrži ohřívané vody, je celé zařízení v klidu. Odpadní voda protéká vyrovnávací nádrží a přepadem odteká do kanalizace.

Cistá užitková voda při odběru prochází výměníkem tepla. Když je teplota ve vyrovnávací nádrži odpadní vody vyšší než je teplota ve vyrovnávací nádrži užitkové vody a zároveň je teplota užitkové vody na výstupu z výměníku nižší než je teplota ve vyrovnávací nádrži užitkové vody, uvede se do chodu oběhové čerpadlo okruhu odpadní vody. Přebytečná odpadní voda odteká přepadem do kanalizace.

Ve výměníku tepla předává odpadní voda teplo užitkové vodě. Stoupne-li teplota užitkové vody na výstupu z výměníku tepla nad teplotu ve vyrovnávací nádrži užitkové vody o předem nastavenou hodnotu, uvede se do chodu oběhové čerpadlo okruhu užitkové vody. Porovnává se přitom jen teplota na výstupu z výměníku tepla a teplota ve vyrovnávací nádrži užitkové vody, již bez ohledu na teplotu ve vyrovnávací nádrži odpadní vody.

Toto řešení umožňuje optimální využití energie akumulované v odpadní vodě a zároveň šetří elektrickou energii potřebnou k pohunu cirkulačních čerpadel.

#### 4. Provoz zařízení

Jako hlavní překážka zajištění trvalého provozu se jevilo nebezpečí zanešení teploměnných ploch výměníku.

Z tohoto důvodu bylo zadáno řešení problematiky chemického čištění oddělení stavební chemie VÚPS Praha. Cílem řešení bylo stanovení způsobu chemického čištění výměníku tepla jakožto části rekuperačního zařízení využívajícího teplo odpadní vody z lázní v Praze 5 pro ohřev vody přiváděné z vodovodního rádu. Z odpadních vod, zbaňených hrubými nečistotami sitem o průměru otvorů 4 mm, se na vnějším povrchu teploměnných měděných trubek výměníku postupně usazuje vrstva snižující účinnost přestupu tepla a tím i celého zařízení. Účelem je tuto vrstvu periodicky odstraňovat chemickým proplachováním tak, aby nedošlo ke koroznímu poškození měděných trubek, ocelového pláště výměníku, ocelových trubek a ocelové nádrže, pryžových a fíbrových ucpávek spojek a lojové ucpávky u čerpadla. Pro vlastní proces čištění proplachem je k dispozici asi 300 l vody o teplotě až 80 °C, kterou je možno čerpadlem recirkulovat výměníkem, přetokovou nádrží a filtrem. Technické řešení je komplikováno tím, že pro kontrolu je přístupná pouze malá část

teplosměnných trubek výměníku po demontáži vstupní horní příruba; dále je to kolisavý a nekontrolovatelný stupeň znečištění a nemožnost přímého a přesného hodnocení účinnosti jednotlivých čisticích roztoků.

První zkouška čištění byla provedena na základě prohlídky výměníku asi po 1 měsíci provozu, kdy byl na povrchu měděných trubek výměníku zjištěn tenký nesoudržný povlak světlé barvy; lze předpokládat, že převládající složkou tohoto povlaku byly vápenaté soli mastných kyselin  $C_8-C_{18}$ , vzniklé vyšrazením alkalických solí těchto kyselin tvořících podstatu mýdel. Informativní zkouškou bylo prokázáno, že tento povlak je možno rozpojit a odplavit proudem teplé vody.

Vlastní zkouška čištění systému horkou vodou byla provedena po měsíci letní odstávce zařízení. Během této doby došlo ke změně povahy usazeného povlaku. V důsledku rozkladních hnilebných procesů se mění původní světlá barva povlaku na tmavě černou a její charakter z rozpojitelných gelovitých částic na soudržnou mastnou a páchnoucí hmotu. Vzájmu úplnosti byl proveden proplach vodou o počáteční teplotě asi  $80^{\circ}\text{C}$  v trvání 60 minut. Podle zbarvení proplachové vody po zkoušce a vyšetření přístupných míst bylo konstatováno částečné odstranění povlaku v místech intenzivnějšího turbulentního proudění, avšak v jiných místech byla účinnost proplachu malá.

V literatuře bylo zjištěno jen minimum údajů o chemické podstatě těchto látek, které vznikají rozkladním působením aerobních bakterií, mj. druhu *Beggiaota*, na organické látky v odpadních vodách. Jsou velice pestrou směsí aminokyselin, mastných kyselin, sirnáků a dalších látek. Jako čisticí přípravky přicházejí v úvahu především silné alkálie,

způsobující zmýdelnění mastných složek; dále povrchové aktívny látky (detergenty) a konečně také enzymatické látky, které by měly rozkládat bílkovinové látky. Pro první fázi byly proto zvoleny následující roztoky:

a) 5 % roztok hydroxidu sodného ( $\text{NaOH}$ ) jako prakticky nejsilnější dostupná alkálie, s výhradou jejího nepřiznivého působení na těsnění v čerpadle,

b) 5 % roztok uhličitanu sodného — sody ( $\text{Na}_2\text{CO}_3$ ), jako nejběžnější látka používaná pro podobné účely,

c) 0,4 % roztok enzymatického pracího prostředku Biomat, jako kombinace detergenty a enzymaticky aktívny látkami.

Z výměníku byl odebrán vzorek usazené nečistoty. Po roztřepání byly napipetovány objemy 0,5 ml suspenze do zkumavek, přidána 5 ml množství uvedených roztoků, a zkumavky vloženy do vodní lázně temperované na  $60^{\circ}\text{C}$ . Kritériem rozrušené úsady byla ztráta soudržnosti přírodně klkovité hmoty a změna její původní černé barvy na rezavě hnědou. Relativně nejrychlejší bylo působení 5 % roztoku  $\text{NaOH}$ , přibližně stejnou účinnost měly za daných podmínek roztoky sody a Biomatu.

Po přibližně stejných dobách provozu byly provedeny zkoušky chemického čištění 5 % roztokem sody a 0,4 % roztokem Biomatu s hodinovým proplachem. Zkouška se sodou byla nepríznivě ovlivněna nižší teplotou čisticího roztoku, který se částečně ochladil v důsledku neúplné uzavřeného přívodu ohřívané vody do výměníku. V obou případech bylo konstatováno vyhovující odstranění usazenin z míst přístupných pro kontrolu. O dobrém účinku čištění také svědčí zvýšení účinnosti výměny tepla, prokázané registračními přístroji.

Tab. 1

Palivo, Druh energie	Cena paliva (energie) [Kčs . kWh <sup>-1</sup> ]	Denní úspora [Kčs]	Roční úspora (při provozu 280 dnů v Kčs v roce)
Hnědé uhlí	0,088	30,10	8 428,00
Černé uhlí	0,132	45,14	12 639,00
Koks	0,147	50,27	14 075,00
Lehký topný olej	0,351	120,04	33 611,00
Těžký topný olej	0,252	86,18	24 130,00
Zemní plyn	0,280	95,76	26 812,00
Svítiplyn	0,270	92,34	25 855,00
Energie (CZT)	0,202	69,08	19 342,00
<hr/>			
Elektrická energie			
<i>Pro střední odberatele</i>			
VT — vysoký tarif	0,330	112,86	31 600,00
NT — nízký tarif	0,190	64,98	18 194,00
<i>Pro velkoodberatele</i>			
VT — vysoký tarif	0,300	102,60	28 728,00
NT — nízký tarif	0,190	64,98	18 194,00

Z praktického hlediska se dosud jeví jako provozné vhodnější využívání přípravku Biomat než sody, a to vzhledem k jeho snadnější dostupnosti a hlavně k nižším dávkám (1,2 kg Biomat proti 15 kg sody). Před prvním chemickým čištěním nového zařízení doporučujeme odebrat vzorek nánosu z teplotněměnných ploch a provést laboratorní zkoušku rozpustnosti usazenin.

## 5. Energetické přínosy

Měření energetických přínosů bylo provedeno vodoměrem s elektronickým měřičem tepla VMTK 52.

Zařízení bylo uvedeno do provozu 12. 6. 1985. Měření bylo ukončeno výskytem spodní vody v prostoru kotelny dne 20. 1. 1986. V tomto období byly uskutečněny přestávky z důvodu:

1. dovolené (od 1. 8. 85 do 31. 8. 85)

2. provedení nového uložení čerpadel na betonové základy za účelem snížení jejich hlučnosti (od 5. 10. 85 do 31. 10. 85)

Po odečtení uvedených přestávek, dnů pracovního klidu a svátků bylo zařízení v provozu celkem 123 dnů. Za toto období byla naměřena energetická úspora 151,41 GJ, což představuje 42 058 kWh (v průměru 342 kWh denně). Průměrné ceny paliv a energií, denní a roční úspora, jsou uvedeny v tab. 1.

## 6. Pořizovací náklady a životnost

Náklady na pořízení rekuperačního zařízení dosahly v uvedeném případě 42 tisíc Kčs. Do této částky nejsou započteny výzkumné a vývojové práce spojené s výzkumem a vývojem zařízení a náklady spojené s výzkumem čištění výměníku.

Životnost zařízení je odhadnutá na 15 let.

## 7. Hodnocení ekonomické efektivnosti investic

Pořizovací náklady: 42 000 Kčs

Provozní náklady:

Roční náklady na provoz čerpadel	554,40 Kčs
Roční náklady na chemické čištění	200,00 Kčs
Roční náklady na mzdy pro obsluhu	1 200,00 Kčs
	1 954,40 Kčs

Odpisy: Cena ZP: Odpis. Kčs  
sazba [%]

42 000,00 Kčs 6,7 2 814,00

Souhrnná efektivnost zařízení

Předpokládaná doba využívání zařízení...

T = 15 let

Roční úspora nákladů uživatele při provozu 280 pracovních dní.

$$U_r = 342 \cdot 280 \cdot 0,147 = 14\,077 \text{ Kčs}$$

souhrnná efektivnost

$$e = \frac{U_s}{J_n}$$

$U_s$  = souhrnné úspory nákladů uživatele za dobu užívání zařízení

$$U_s = 14\,077 \cdot 15 = 211\,155$$

$J_n$  = Jednorázové náklady

$$J_n = 42\,000$$

$$e = \frac{211\,155}{42\,000} = 5,03 \text{ Kčs}$$

To představuje úsporu 5,03 Kčs na 1 Kčs jmenovitých nákladů za dobu životnosti zařízení.

Doba úhrady jednorázových nákladů

$$d_u = \frac{J_n}{U_s} = \frac{43\,954,40}{14\,077} = 3,12 \text{ roku}$$

Společenská efektivnost investic

Kritérium efektivnosti

$$\Delta N_{pe}(1 + a_3) \geq k_v(a_1 + k_t) J \pm \Delta N_{pr} - pe \pm a_2 \Delta N_m$$

$a_2$  je koeficient omezenosti pracovních sil,  $\Delta N_{pe}$  úspora spotřeby paliva a energie [Kčs/rok],

$\Delta N_{pr-pe}$  změna provozních nákladů snížených o spotřebu paliv a energie, souvisejících se substituční investicí,

$\Delta N_m$  změna mzdových a ostatních nákladů [Kčs/rok],

$a_3$  koeficient omezenosti paliva,

$k_v$  koeficient vázaných prostředků,

$k_t$  koeficient ekonomické efektivnosti investic stanovený pro ekonomickou životnost s ohledem na vliv činitele času,

$J$  jednorázové náklady,

$a_1$  koeficient omezenosti investičních prostředků,

$$\Delta N_{pe} = 14\,077$$

$$\Delta N_{pr-pe} = 1\,400$$

$$\Delta N_m = 1\,200$$

$$a_3 = 0,75$$

$$k_v = 1$$

$$k_t = 0,096$$

$$J = 42\,000$$

$$a_1 = 0,05$$

$$a_2 = 0,6$$

$$14\,077(1 + 0,75) - 1(0,05 + 0,096) \cdot 42\,000 + 1\,400 + 0,6 \cdot 1\,200 = 24\,635 > 8\,252$$

Investice je tedy ekonomicky efektivní.

## 8. Zkušenosti získané provozem

Po dobu provádění experimentu zejménovali chod zařízení výzkumní pracovníci. Tím byly získány přímé zkušenosti z provozu. Pravidelná údržba sestávala z týdenního čištění vlasového filtru LV I a chemického čištění

prováděného v tříměsíčních lhůtách. Při provozu se ukázalo chemické čištění jako plně postačující a zařízení nevykázalo pokles účinnosti.

Na podkladě provozu byly navrženy další konstrukční úpravy, které však není možno na daném zařízení realizovat. Tyto zkušenosti povedou ke zvýšení účinnosti rekuperacního zařízení, usnadní jeho čištění a umožní vizuální kontrolu stavu znečištění. Navržené úpravy budou realizovány postupně na dalších rekuperacních zařízeních v provozovnách pražských lázní „Koruna“ a „Karlový lázně“.

## 9. Závěr

Bylo ověřeno, že:

- chemickým čištěním lze rekuperační zařízení udržovat trvale v provozu,
- obsluha je nenáročná,
- roční náklady na chemické čištění jsou minimální,
- konstrukčními úpravami lze dosáhnout dalšího zvýšení účinnosti rekuperace tepla.

Zařízení je vhodné instalovat v provozech s velkým odpadem relativně čisté vody, např. tam, kde je stálý přítok vody, jako je to v provozu lázní a plováren. Dále je možno zařízení instalovat v umývárnách v průmyslu, kde se ohřívá značné množství vody do zásoby pro konec směny.

Případné přesnéjší informace je možno získat ve Výzkumném ústavu pozemních staveb Praha, Praha 10, Pražská 16 (Ing. Kutina, CSc., nebo Ing. Hartl) a v oborovém pracovišti pro racionální využívání energie Inklemo Praha 10, Donská 11 (Ing. Matějček).

## An experience from the operation of the equipment for heat recuperation from waste water

Ing. J. Matějček, Ing. P. Kutina, CSc., Ing. M. Hartl

The equipment for heat recuperation described in the article can be used for heating of great amounts of water by heat gained from relatively low polluted waste water with no deleterious

effects. The practical application of the equipment is described there for the Prague Baths, Praha 5.

## Опыт из эксплуатации оборудования для рекуперации тепла из сточных вод

Инж. Й. Матейчек, Инж. П. Кутина, к. т. н., Инж. М. Гартл

Оборудование для рекуперации тепла, которое описывается в статье, можно использовать для подогрева большего количества воды с помощью тепла полученного из неагрессивных и относительно мало загрязненных сточных вод. Описывается практическое применение оборудования для Пражской бани, Прага 5.

## Erfahrungen aus dem Betrieb einer Anlage für die Wärmerekuperation von Abfallwässern

Ing. J. Matějček, Ing. P. Kutina, CSc., Ing. M. Hartl

Man kann die Wärmerekuperationsanlage, die im Artikel beschrieben ist, für die Vorwärmung der grossen Wassermengen durch die von unaggressiven und relativ wenig verunreinigten Abfallwässern zurückgewonnene Wärme anwenden. Praktische Anlageanwendung ist im Prager Badegebäude in Prag 5 realisiert.



## Expériences de l'exploitation d'une installation pour la récupération de chaleur des eaux résiduaires

Ing. J. Matějček, Ing. P. Kutina, CSc., Ing. M. Hartl

Il est possible d'utiliser l'installation pour la récupération de chaleur perdue qui est décrite dans l'article présenté pour le préchauffage des quantités grandes de l'eau par la chaleur récupérée des eaux résiduaires non-agressives et polluées relativement peu. L'application pratique de l'installation est réalisée dans le bâtiment d'exploitation des Bains pragois à Prague 5.



## VZPOMÍNKA NA ING. IVANA IWANUSIWA

Dne 30. 12. 1986 zemřel náš přední odborník v oboru vzduchotechniky Ing. Ivan Iwanusiw. Narodil se 8. 5. 1901 v Lopince na Ukrajině. Absolvoval Vysokou školu strojního a elektrotechnického inženýrství v Praze a pracoval u vzduchotechnických firem Müller a Vzduchotechna. Po znárodnění a sloučení vzduchotechnických podniků působil v n. p. Janka jako vedoucí projekce a konstrukce. Pod jeho vedením vznikla řada jednotkových odsavačů, jako VELUX, UNEX, FILTREX, SVAREX a FUMOR, stříkačí kabiny Calona a stříkačí box Grand. Tato zařízení byla progresivním prvkem a stala se podkladem pro další vývoj až do současné doby. Zejména třeba vzpměnout na zcela novou koncepci vzduchotechnického řešení stříkačích boxů, u nichž přešel od málo účinného odsávání pomocí podlahových roštů na celkové řešení proudění vzduchu v boxu, založené na přívodu vzduchu perforovaným stropem.

Velké zásluhy si získal Ing. Iwanusiw svou činností organizátorskou, konzultační, přednáškovou a technicko-výchovnou, orientovanou především na mladé projektanty. O jejich výchovu se zasloužil a právem si mezi nimi získal obdiv a popularitu. Byl spoluautorem knihy „Zkoušky vzduchotechnických zařízení“.

Pracoval až do osmdesáti let svého života a v posledních letech své činnosti ještě uvedl do praxe v projekci k. p. Janka návrh potrubí na počítači.

V Ing. Iwanusiwovi odešla významná osobnost československé vzduchotechniky. Dílo, které za svého života vykonal, však zůstává a jeho láska k oboru, v němž pracoval, dále žije v jeho následovnících. Pro nás všechny bude trvale vzorem vynikajícího pracovníka a ušlechtilého člověka.

Čest jeho památce!

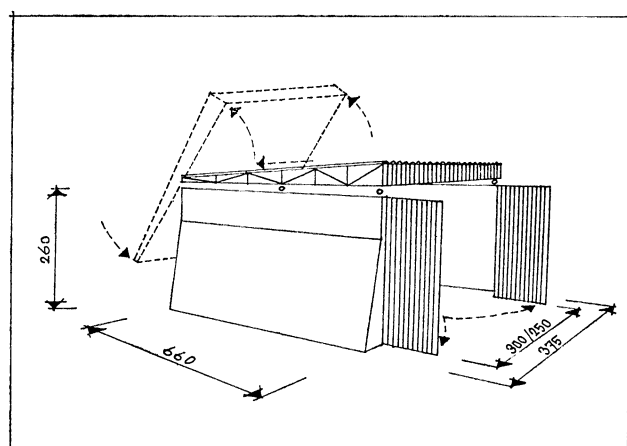
Redakční rada ZTV

## KRYTÁ SKLÁDKA PALIVA S ODKLOPNOU STŘECHOU

Vtipné řešení dočasné nebo provizorní skládky paliva realizovali pracovníci topenářského střediska Veliká Ves v okrese Chomutov. Skládka je svařena z ocelových plechů, uzavíratelná vrata 300/250 cm z vlnitého PVC. Ze stejného materiálu je i krytina lehké konstrukce střechy. Střecha se po odsunutí dá překlopit a umožní tak zajetí nákladního

auta do skládky a vyskladnění paliva skládkou. Mechanismus sklapení je velmi jednoduchý a snadno ho ovládá jeden pracovník. Sklopna střecha a vjezdová vrata jsou uzamykatelné. Využitelný ložný prostor skládky je asi 50 m<sup>3</sup> a pojme tedy asi 35 tun hnědého uhlí.

Fridrich



Obr. 1.

## ROTAČNÍ REGENERAČNÍ VÝMĚNÍKY NDR PRO ŽIVOČIŠNOU VÝROBU

Důležitým faktorem pro zdraví zvířat je vhodné klima ve stáji. Intenzívní chov zvířat podmiňuje především, v důsledku vysoké produkce škodlivin, nutzenou výměnu vzduchu, která v nynějších velkostájích podstatně vzrostla. Zvýšená potřeba vzduchu vyžaduje z energetického hlediska instalaci zařízení pro zpětné získávání tepla.

Zvláštní provozní podmínky kladou na zařízení pro zpětné získávání tepla u větracích zařízení pro stáje tři podstatné nároky:

- zádný negativní vliv na stájové klima (teplotu, vlhkost, škodliviny, přenos mikroorganismů),

- odolnost vůči korozi, především vůči čepavkám, SO<sub>2</sub>, CO<sub>2</sub> a proti jejich sloučeninám s vodou,

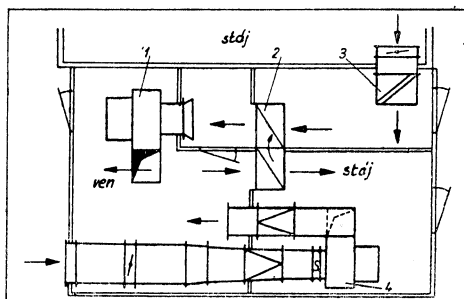
- dobrou možnost čištění jednoduchými prostředky (voda, pára, tlakový vzduch), desinfikovatelnost běžnými postupy a odolnost vůči desinfekčním prostředkům.

Ve světě se používají všechny systémy zpětného získávání tepla. Přednosti regene-

račních systémů spočívají ve vysoké termické účinnosti a samočisticím efektu. V důsledku toho byly regenerační výměníky (regenerátory) vyráběny v závodě Gotha kombinátu u Luft- und Kältetechnik vyzkoušeny při chovu prasat. V článku jsou zachyceny zkušenosti ze 14 000 hodin zkušebního provozu.

### Popis zařízení

Zařízení je rozděleno na letní s přívodem a odvodem vzduchu axiálními ventilátory Ø 30 a na zimní se strojovnou větráním s radiálními ventilátory velikostí 400 a regenerátorem. Strojovna přilehající k jedné stěně stáje (obr. 1) obsahuje odváděcí ventilátor (1), rotační regenerační výměník (2), odvod vzduchu ze stáje s filtrem (3) a přiváděcí ventilátor (4) s předráženým filtrem a přiváděcí potrubí. Strojovna je rozdělena příčkami a v jedné z nich je zabudován regenerátor. Nastavení vhodného objemového průtoku odváděného i přiváděného vzduchu v závislosti na živé



Obr. 1.

hmotnosti zvířat se děje klapkami. Toto řešení má zajistit, aby i při znečištěním regenerátoru byl v prostoru čerstvého vzduchu přetlak vůči prostoru odváděného vzduchu.

Obsazení stáje je 400 veprů hmotnosti od 6,5 až 40 kg. Objemový průtok vzduchu v létě 2,1 až 5,6 m<sup>3</sup>/s, v zimě 0,6 až 1,2 m<sup>3</sup>/s, teplota ve stáji 16 až 26 °C. Použity regenerátor typu RW 1000, tj. s teplosměnnou (akumulační) plochou z nenasáklivého materiálu (hliníkové fólie).

#### *Provoz regenerátoru*

Hlavním účelem bylo ověření chování regenerátoru vůči nečistotám ve vzduchu odváděném ze stáje, které spolu s jeho vysokou relativní vlhkostí (až 85 %) při nízkých venkovních teplotách (pod rosným bodem) mohou vytvořit na teplosměnné ploše lpící nános. Použití regenerátoru závisí tedy na jednoduchém a nenákladném způsobu čištění. Do odváděného vzduchu byl před regenerátorem předřazen tahokovový filtr třídy Al, napuštěný olejem s příсадou desinfekčního prostředku. Kvalita použitého filtru závisí od dané situace (druhu a množství nečistot ve vzduchu). Účinná filtrace prodlužuje sice cykly čištění regenerátoru, ale kromě vyšších investičních nákladů má za následek i vyšší provozní náklady v důsledku vyšší tlakové ztráty filtru. Provoz ukázal, že použití filtru třídy Al se za daných podmínek osvědčilo a intervaly čištění regenerátoru byly shledány za přijatelné. Přitom je třeba mít na zřeteli, že životnost filtru nepřekročí pravděpodobně 5 let v důsledku koroze.

Čištění regenerátoru se děje tlakovým vzduchem s přisáváním vody. Provádí se za rotaci regenerátoru. Vodní proud, vystupující o vysoké rychlosti, zbaví teplosměnnou plochu nečistot dokonale, takže se pak dosáhne výchozí tlakové ztráty. Do sprchové vody se přidává ještě desinfekční prostředek — 5 % roztok formaldehydu.

U zařízení byl v přechodném období a v zimě (v důsledku podkročení rosného bodu a silnějšího znečištění regenerátoru) zaveden tento režim: Zpočátku dvakrát týdně čištění tahokovového filtru, po 9 týdnech čištění regenerátoru desinfekce, vyčištění filtru a desinfekce stáje. K čištění regenerátorů je možno použít i jiných

způsobů, pokud jsou k dispozici, bez nebezpečí poškození teplosměnné vody, jako např. vystríkání teplou vodou nebo parou.

Mokré čištění klade na zařízení nároky, které je třeba při projekci respektovat:

— dobrý přístup k regenerátoru — zde se osvědčilo řešení pomocí příček, jinak by bylo nutné vytvořit velké přístupové otvory v připojeném potrubí,

— odpovídající provedení podlahy s odpadem.

#### *Koroze*

Regenerátor je téměř stále vystaven vlhkému agresivnímu prostředí, jak v důsledku provozu zařízení, tak i při jeho čištění. Teplosměnná plocha se po 14 000 hodinách nijak nezměnila a byla rovněž zachována výchozí tlaková ztráta. Běžná antikorozní ochrana skříně se však ukázala nedostatočná a je třeba i lépe utěsnit uložení hřídele.

#### *Přenos tepla*

Jako důležité kritérium pro posouzení kvality regenerátoru je množství předaného tepla v závislosti na teplotním spádu. Na základě měření na zkoušebně a ověření v provozu dosahuje účinnost tepelné výměny regenerátoru typu RW při výchozích podmínkách hodnoty 0,74. Vyvstala proto otázka, jak se tato hodnota mění se znečištěním. Provozní měření ukázala, že účinnost tepelné výměny po dobu mezi dvěma periodami čištění zůstala v podstatě stejná.

#### *Přenos hmoty (vlhkosti)*

U regenerátorů typu RW je přenos vlhkosti podstatně omezen. Součinitel výměny vlhkosti je za výchozích podmínek 0,15, pokud teplota venkovního vzduchu neklesne pod rosný bod odváděného vzduchu. Pokud se rosný bod podkročí, výměna vlhkosti vzrůstá a při podkročení o 30 až 35 °C dosahuje výšu účinnosti tepelné výměny, což může nastat v zimě při nízkých venkovních teplotách. To lze považovat za výhodu, protože je to energeticky úsporné vlhkání suchého venkovního vzduchu. Srovnávací měření klimatu v dané stáji ukázala, že nejsou výrazné změny ve vlhkosti vnitřního vzduchu.

#### *Tlaková ztráta*

Znečištění regenerátoru se nejvýrazněji projeví na tlakové ztrátě a tak její hodnota může být indikátorem znečištění. Nárůst tlakové ztráty během jedné periody čištění byl různý a pohyboval se mezi 20 až 100 % tlakové ztráty v čistém stavu. Toto zvýšení ovlivňuje objemový průtok a musí být proto při projektu respektováno. Při zkoušeném provozu nebyly shledány žádné závažné změny stájového klimatu v důsledku změn objemového průtoku. Zanášením teplosměnné plochy došlo k poklesu objemového průtoku až cca o 20 %. Po vyčištění regenerátoru se docílilo opět výchozích hodnot.

## Hygienické poznatky

Zkušební provoz ukázal, že regenerátory typu RW se hodí pro použití ve stájích, neboť nevedou ke zvýšené vlhkosti a koncentraci škodlivin, nepřenášejí mikroorganismy z odváděného na přiváděný vzduch a při pravidelném čištění a desinfekci nejsou živou půdou pro množení mikroorganismů.

### Ověřování

Ověřování regenerátorů se dělo za účasti okresního veterinářského ústavu v Lipsku a přitom se došlo k této zjištění:

— klíma ve stáji nevykazovalo výrazné rozdíly,

— přenos vlhkosti vzduchu regenerátorem nepůsobí negativně na vnitřní klíma,

— hlavní vliv na vlhkost ve stáji má udržování čistoty (mytí cest). Mikrobiologické ověřování prováděl odbor hygieny zvířat lipské univerzity s tímto konstatováním:

— přenos mikroorganismů z odváděného na přiváděný vzduch se pohyboval v rozmezí 0,1 až 1 %,

— množení mikroorganismů na teplosměnné ploše lze z 99 % potlačit omýváním a desinfekcí,

— v regenerátoru dochází v důsledku prudkého vzduchu k usmrcování mikroorganismů, takže přiváděný vzduch jich obsahuje méně než nasávaný venkovní vzduch,

— v regenerátoru se netvoří selektivní množení patogenních mikroorganismů s vysokou chemoterapeutickou rezistencí,

— zpětné získávání tepla pomocí regenerátorů RW při větrání stáji je hygienicky nezávadné.

## Závěry

Na základě ověřovacího provozu je regenerator typu RW vhodný pro zpětné získávání tepla ve stájích za těchto podmínek:

— k zajištění funkční schopnosti je nutná periodická údržba; jde především o čištění teplosměnné plochy a filtru odpadního vzduchu; výhodou je samočisticí efekt regenerátoru,

— čištění lze snadno provádět např. vodou rozprašovanou tlakovým vzduchem za provozu zařízení,

— rychlosť zamášení teplosměnné plochy a tedy intervaly čištění závisí od místních podmínek; v případě popsaného ověřovacího provozu byly intervaly čištění regenerátoru 9 týdnů a filtru 1 až 2 × týdně,

— nejsou žádné hygienické námitky proti používání — regenerátory se snadno desinfikují,

— optimální funkce zpětného získávání tepla se dosáhne za předpokladu bezvadné funkce celého zařízení,

— poznatky vedou k závěru, že rotační regenerační výměníky typu RW lze použít i pro stáje jiných zvířat,

— hospodárnost zpětného získávání tepla závisí od řady faktorů a musí být v každém jednotlivém případě vyhodnocována,

— regenerační výměníky vyráběn v NDR musí být pro použití v živočišné výrobě lépe opatřeny proti korozi včetně utěsnění ložisek.

Zpracováno podle článku: *Ch. Seifert, H. Hübler: Erprobung eines ILKA-Regenerators zur Wärmerückgewinnung in der lufttechnischen Anlage eines Schweineaufzuchtstalles, Luft- und Kältetechnik 1/85, str. 23—25.*

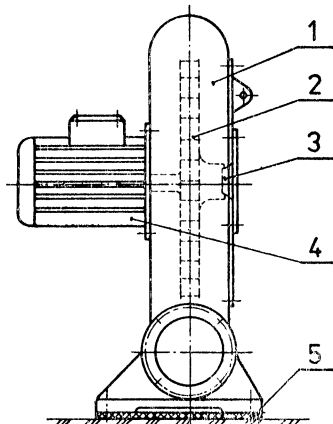
Kubíček

## RADIÁLNÍ VYSOKOTLAKÉ VENTILÁTOŘE RVZA

Radiální vysokotlaké ventilátory RVZA 500 vyrábí a dodává vzduchotechnický závod ZVVZ Prachatic pro Železáry a drážovny k. p. Bohumín. Jednoúčelové radiální vysokotlaké ventilátory, jednostranně sací, se používají pro bezplamenné kotly LUMEX a všude tam, kde svými parametry vyhovují.

Ventilátory jsou určeny pro dopravu čisté vzdušiny, bez abrazivních přimissenin o teplotě  $-20^{\circ}\text{C}$  až  $+40^{\circ}\text{C}$ . Dovolená teplota okolí ventilátoru je ve shodném teplotním rozsahu.

Hlavní díly ventilátoru jsou uvedeny na obr. 1. Jedná se o jednoduché uspořádání. Samonosná spirální skříň je zhotovena z hliníkové slitiny a nese přírubový elektromotor 4 AP 80-2; 1,1 kW; 2840 min $^{-1}$ ; 380 VD; 50 Hz; IM 3081; IP44; M; izolace vinutí B. Na čepu elektromotoru je nasazeno oběžné kolo lehké konstrukce zhotovené z hliníkové slitiny a konstrukční oceli. Ke spirální skříni je připojeno sací ústí, které zajišťuje plynulý vstup vzdušiny do oběžného kola. Na sání ventilátoru se připojuje nejčastěji filtr. Výrobce ventilátoru na požadavek dodává ochranou mříž na sání,



Obr. 1. Hlavní díly ventilátoru RVZA 500  
(1 — spirální skříň, 2 — oběžné kolo, 3 — sací hrdlo, 4 — přírubový elektromotor, 5 — rychovaná pružina)

bude-li ventilátor nasávat vzdušinu z volného prostoru bez filtru.

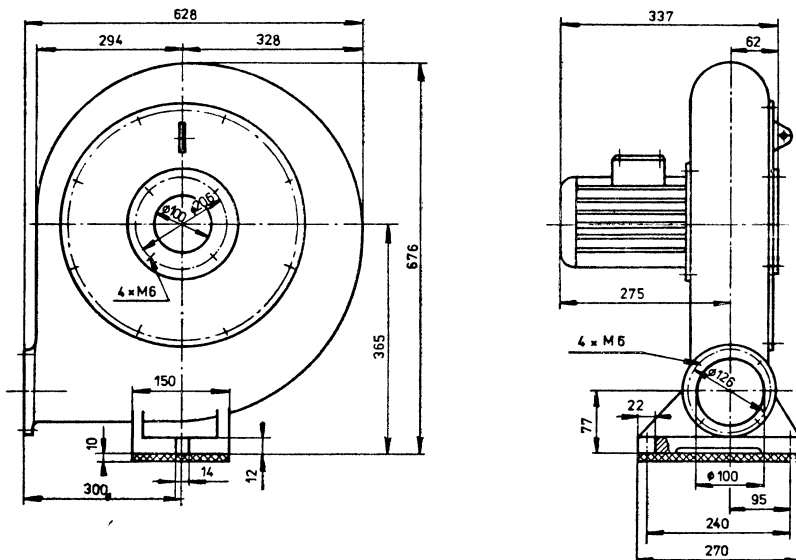
Hlavní rozměry ventilátoru jsou uvedeny na obr. 2, vzduchotechnické parametry vyplývají z charakteristiky na obr. 3 a z tab. 1.

Přípustné hodnoty chvění ventilátoru jsou uvedeny v podnikové normě PM 12 2011. Měřicí místa u ventilátoru RVZA 500 jsou vyznačena na obr. 4. Efektivní rychlosť kmitání

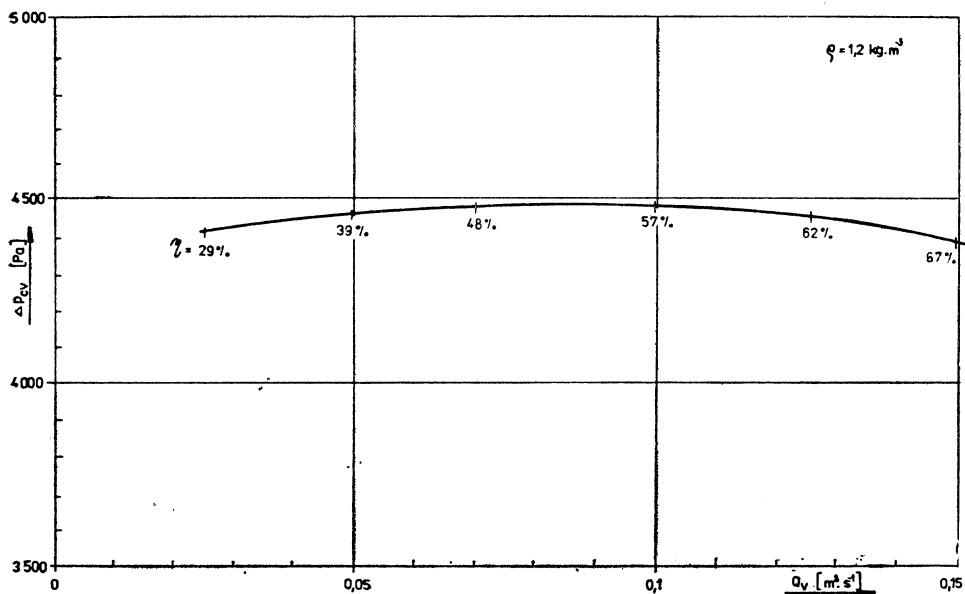
nového ventilátoru měřená ve výrobním zázvodě nesmí být vyšší než  $v_{ef} = 2,8 \text{ mm s}^{-1}$ . Hodnota efektivní rychlosti při provozním stavu může být do hodnoty  $v_{ef} = 7,1 \text{ mm s}^{-1}$ .

Hladiny akustického výkonu hluku vyzařeného do výtlačného potrubí a otevřeného sání ventilátoru jsou uvedeny v tab. 2 a 3.

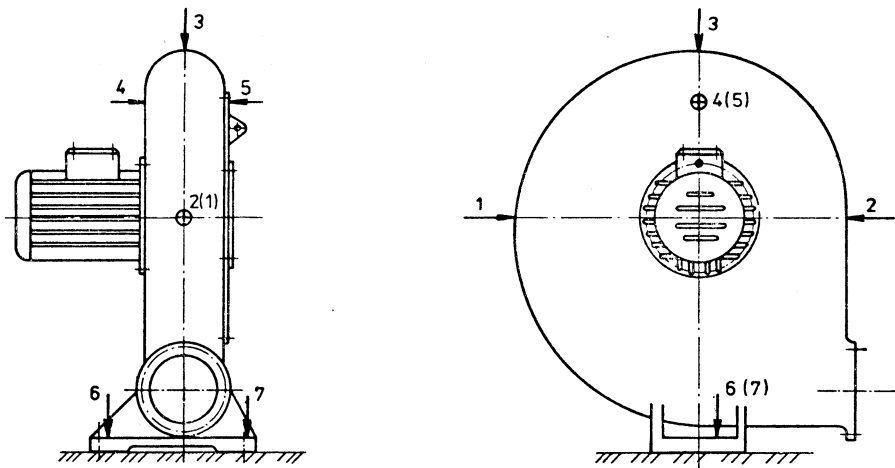
Provozní podmínky ventilátoru musí být v souladu s podnikovou normou PM 12 3398.



Obr. 2. Hlavní rozměry ventilátoru RVZA 500



Obr. 3. Charakteristika ventilátoru RVZA 500 — závislost průtoku a celkového tlaku při 20 °C



Obr. 4. Schéma měřicích míst pro kontrolu chvění ventilátoru

Tab. 1. Výkonové parametry

Průtok vzdušiny $Q_v$ [ $\text{m}^3 \text{s}^{-1}$ ]	0,083
Celkový tlak $\Delta p_{cv}$ [Pa]	4 450
Hustota $\rho$ [ $\text{kg m}^{-3}$ ]	1,2
Otáčky ventilátoru $n$ [ $\text{min}^{-1}$ ]	2 840
Příkon ventilátoru $P_{pv}$ [kW]	0,8
Hmotnost elektromotoru $m$ [kg]	36

Tab. 2. Hladiny akustického výkonu hluku vyzařovaného do výtlaku ventilátoru

$Q_v$ [ $\text{m s}^{-1}$ ]	$L_{PAP_2}$ [dB(A)]	L <sub>P<sub>p2</sub></sub> [dB] v oktálových pásmech					
		125	250	500	1 000	2 000	4 000
0,055	89	82	83	84	87	80	72
0,083	90	85	84	86	88	81	74
0,134	90	82	83	84	88	80	71
0,209	86	85	84	82	82	79	72
0,293	89	89	89	86	83	83	75

Tab. 3. Hladiny akustického výkonu hluku otevřeného sání ventilátoru vyzařovaného do okolí

$Q_v$ [ $\text{m}^3 \text{s}^{-1}$ ]	$L_{PAP_2}$ [dB(A)]	L <sub>P<sub>p2</sub></sub> [dB] v oktálových pásmech					
		125	250	500	1 000	2 000	4 000
0,055	85	69	65	80	82	78	75
0,083	86	72	66	80	83	78	75
0,134	85	69	65	80	82	78	75
0,209	84	68	65	78	80	77	75
0,293	86	67	68	82	82	78	76

Smysl otáčení oběžného kola je vyznačen směrovou šípkou na spirální skříni. Závěsná místa jsou vyznačena žlutou barvou.

Ventilátor RVZA 500 se smějí spouštět pouze s instalovaným filtrem, při použití bez filtru s použitím ochranné mříže, při uzavřeném regulačním ústrojí v potrubí. Elektroinstalaci musí provést odborník podle platných předpisů a norem.

Pro omezení přenosu vibrací do základu je pod spirální skříni instalována rýhovaná pružina z pryže. Ventilátor RVZA 500 se plně osvědčil v provozních podmínkách s kotlem LUMEX.

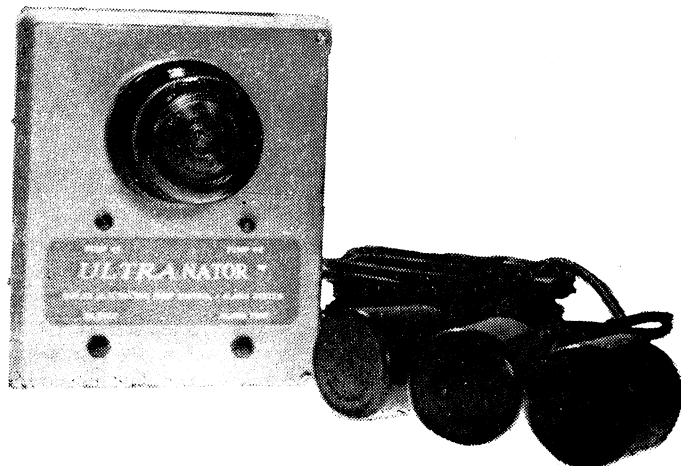
(S. Novotný)

## ŘÍZENÍ PROVOZU ČERPADEL

Dva nové systémy pro řízení provozu čerpadel, vybavené poplachovou signalizací, uvedla na trh firma S. J. Electro Systems z USA. Na obr. 1 je jednodušší model označený „*Tank Alert II Plus*“, který je určen jak pro podniky, tak i pro využití v domácnostech a zajišťuje spolehlivé řízení provozu vodovodních a kalových instalací. Řídící systém, který je dodáván se dvěma plovákovými snímači, vykonává současně funkci řídící i poplachové jednotky. Pomocí přepínače je možné volit buď automatické, nebo ruční ovládání provozu

čerpadel. Řídící systém lze bez mimořádných nároků zapojit i do stávajících instalací.

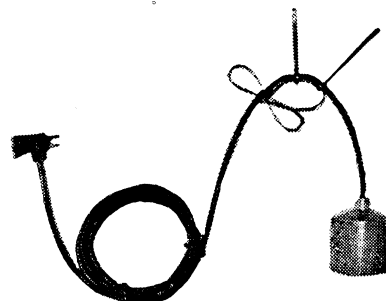
Druhým typem ovladače je tzv. „*Ultrinator*“, obr. 2. Jedná se o duplexní systém, který je konstruován i pro využití ve venkovních prostorách. Tímto systémem může být současně řízen provoz dvou čerpadel, čímž se podstatně prodlouží jejich životnost a sníží se opotřebení celé instalace. Systém je konstruován tak, že v případě poruchy jednoho z čerpadel se automaticky zapíná druhé. Pokud by byla překročena kapacita instalace,



Obr. 1. Tank Alert II Plus



Obr. 2. Ultrinator



Obr. 3. Univerzální tlakový spínač

uveďe ovladač obě čerpadla do provozu a zapojí zvukovou i světelnou signalizaci tohoto stavu. Řídící systém „Ultranator“ je dodáván se třemi plovákovými snímači.

Univerzální použití nabízí tlakový spínač, který je uveden na obr. 3. Tímto spínačem lze samostatně řídit provoz až dvou čerpadel.

V unikátním ovladači je zabudován rtuťový spínač, opatřený pojistkou, která zabraňuje opakování zapínání čerpadla při kolísání tlaku blízkém mezní hodnotě. Tímto způsobem se podstatně omezí opotřebení čerpadla a tlakového spínače.

(Jandák)

## SYMPOZIUM A VÝSTAVA TVORBA A OCHRANA ŽIVOTNÍHO PROSTŘEDÍ PRO ČLOVĚKA — DÜSSELDORF, 1. AŽ 3. 10. 1986

V rámci prohlubování kontaktů a spolupráce mezi ČSR a Severním Porýní — Vestfálskem na úseku životního prostředí, založených obdobnou akcí v březnu 1985 v Praze, uskutečnila Česká národní rada ve spolupráci s vládou Severního Porýní — Vestfálska ve dnech 1. až 3. 10. 1986 v Düsseldorfě symposium s doprovodnou výstavou na téma Tvorba a ochrana životního prostředí pro člověka. Přípravu a realizaci zajišťovala Česká komise pro vědeckotechnický a investiční rozvoj spolu s ministerstvem životního prostředí, územního uspořádání a zemědělství Severního Porýní — Vestfálska (SPV).

Sympozium zahájil předseda zemského sněmu SPV K. J. Denzer, který uvedl, že problémy životního prostředí (ŽP) se nezastavují na hranicích zemí, a proto je nutná mezinárodní spolupráce spočívající v hledání společných řešení. To je smyslem i tohoto sympozia.

Z české strany přednesl zahajovací projev člen předsednictva ÚV KSČ a předseda ČNR J. Kempný. Zdůraznil, že tvorba a ochrana ŽP odpovídá našemu politickému programu a je úkolem dalekosáhlého významu, který přesahuje hranice států. Naše vláda zvyšuje náklady na ochranu ŽP v této pětiletce na dvojnásobek proti minulé. Ocenil přispěvek podniků SPV k řešení ochrany ŽP a uvedl, že cesta dobré sousedské spolupráce, kterou jsme nastoupili, je správná a je příspěvkem celoevropskému dorozumění.

Pozdravný projev přednesl předseda společnosti SRN—ČSSR J. van Nes Ziegler.

V úvodním referátu zdůraznil ministr životního prostředí, územního uspořádání a zemědělství SPV K. Matthiesen význam mezinárodního partnerství k výměně zkušeností mezi odborníky. Obě naše země jsou původci a současně postiženými znečištěním ŽP. Např. jen ztráty způsobené znečištěním ovzduší představují v SPV 50 mld. DM ročně. V této spolkové zemi se těží 80 % uhlí a vyrábí 45 % elektrické energie a 60 % oceli z celé SRN. V letech 1963 až 1983 se dosáhlo snížení emisí prachu a SO<sub>2</sub> o 60 %. Zdravotní zatížení obyvatelstva klesá, ale škody na lesích ještě narůstají. Dalším problémem jsou odpady, jichž vzniká v SPV více než 40 % z celkové produkce odpadů v SRN a připočtuji se kaly, pak je to 75 %. Řešení je ve zvýšení recyklace. Závěrem se vyjádřil pro spolupráci s ČSR.

Úvodní referát za českou stranu přednesl

místopředseda vlády ČSR F. Šrámek. Informoval o čs. podmírkách na úseku ŽP, které jsou ovlivněny vysokou koncentrací průmyslu, rozvojem urbanizace a rekreace a polohou ČSR. Zaměřil se na otázky zastavení znečištění ovzduší, spojené zejména s odsírováním a se systémy zásobování teplem, na ochranu vody a zajistění jejího potřebného množství a na snížení eroze půd. Výstavbou odsírovacího zařízení v elektrárně Tušimice 2 se zachytí 40 tisíc tun SO<sub>2</sub> ročně, z něhož se vyprodukuje 69 tisíc tun H<sub>2</sub>SO<sub>4</sub>. Žádný ekonomický úkol nesmí být realizován na úkor ŽP. Cílem je dosáhnout stavu na přelomu sedmdesátých a osmdesátých let. Koncem roku 1985 schválila federální vláda a obě vlády národní zásady státní koncepce tvorby a ochrany životního prostředí a racionálního využívání přírodních zdrojů do roku 2000.

Po skončení úvodní části otevřel člen předsednictva ÚV KSČ a předseda ČNR J. Kempný doprovodnou výstavu. Mezi čs. hosty byl též ministr zemědělství a výživy ČSR O. Vaněk.

Odborný program sympozia byl zahájen referáty z oboru pracovního prostředí. V. Kodat referoval o úkolech hygienické služby v ČSR, o prováděné kategorizaci pracovišť a preventivním hygienickém dozoru při posuzování strojů. V koreferátu E. Jagra byla informace o výzkumném programu zaměřeném převážně na slévárny, jehož body tvoří snižování škodlivých vlivů prostředí, snižování fyzické záťaze lidí a zvyšování kvalifikace pracovníků a obohacování náplně práce. L. Oppl v referátu o ochraně ovzduší v uzavřených prostorech ukázal na úlohu místního odsávání a celkového větrání pro dosažení požadované čistoty ovzduší a na základě modelových zkoušek i měření v terénu dospěl k požadovaným způsobům řešení přívodu vzduchu do provozů s vývinem toxicitních látek a k možnostem jejich provedení. Koreferát H. Schmitze obsahoval přehled hlavních předpisů VDI v oboru větrání a klimatizace a ukázky realizovaných zařízení pro kancelářskou a správní budovu Dresdner Bank AG v Düsseldorfě a výrobní a správní budovu japonské firmy JVC v München-gladbachu s výrobami, montáží videomagnetofonů prováděnou v čistých prostorech, sklady a kancelářemi. Pro kancelářské místnosti se navrhoje dávka venkovního vzduchu min. 70 m<sup>3</sup>/h a teploty vzduchu 22 až 26 °C při venkovní teplotě -12 až +32 °C. Stručně byly popsány systémy přívodu vzduchu

pro čisté prostory, vybavené výustěmi s aerosolovými filtry.

*M. Cikrt* ve společném referátu s *V. Benckem* podal fundovaný přehled o biologickém monitorování expozice kovům a metaloidům v pracovním a životním prostředí. Hovořil o expozičních testech a biologických limitech a o vztahu mezi biologickým indikátorem a biologickým limitem. Na tento referát navazoval *H. Deden* zkoušenostmi s kontrolou zacházení s nebezpečnými látkami. Zaměřil se na mezní hodnoty a strategii měření koncentrací v ovzduší. Pojetí nejvyšších přípustných koncentrací na pracovišti (NPK-P) je podobné našemu. Odlišné jsou tzv. technické směrné koncentrace (TRK) pro látky, pro které nelze NPK stanovit, neboť nevykazují z pracovny lékařského hlediska toxikologické účinky. Jsou závazné pro látky zařazené mezi karcinogeny.

V sekci Ochrana životního prostředí uvedl předsedající *M. Pütz* referátu z oboru hluku konstatovaným, že 15 mil. obyvatel SRN, tj. asi 1/4, je ohroženo nebo obtěžováno hlukem z dopravy. *L. Louda* ve společném referátu s *J. Havránekem* uvedl stručně historii boje proti hluku v ČSSR a informoval o našich předpisech na ochranu proti hluku, především o vyhlášce MZ ČSR č. 13/77 sb. Podle názoru autorů se nepodařilo nikdo ve světě najít efektivnější systém legislativních předpisů a všeobecně se konstatuje, že účinnost legislativy v oblasti hluku a vibrací je malá. V ČSSR se vývíjí především tlak na výrobce a dovozce v rámci výjimkového řízení. Pokud jde o hluk v sídlech, byla přijata opatření v rámci kterých jsou orgány místní správy prostřednictvím hlukových map a hlukových studií informovány o dopadu svých rozhodnutí na hlučnost v ŽP. Součinnosti těchto orgánů a orgánů hygienického dozoru se podařilo zastavit nárůst hluku v sídlech v denní době. Na pracovištích je od sedmdesátých let zaznamenáván pokles nemoci z povolání z hluku a vibrací. V přehledu o výzkumných pracích uskutečněných v poslední době poukázal referující na vývoj limitních hodnot pro vibrace a uplatnění výsledku výzkumu při jejich stanovení. V koreferátu *D. Krane* se zabýval s hlukem jako faktorem nejen obtěžujícím, ale i zdravotním. U osob s hypertenzí, exponovaných hlukem, bylo zjištěno až dvojnásobné stoupení tlaku. Hluk snižuje kvalitu bydlení a nutí obyvatele opustit příslušnou oblast. Není třeba mit k dispozici hlukovou mapu města, ale určit oblasti, kde se překračují mezní hodnoty, které se rozlišují pro hluk z dopravy a z průmyslu. Hladiny ohrožení jsou 70 dB (A) ve dne a 60 v noci u dopravního hluku, 65 dB (A) ve dne a 50 dB (A) v noci pro hluk z průmyslu. Provádí se analýza zdrojů hluku a oblasti se hodnotí podle počtu postižených lidí. Na základě toho se navrhují systémy a opatření ke snížení hluku.

V diskusi podrobněji specifikoval *J. Havránek* čs. způsob omezování hluku v obcích. Kritérium počtu postižených obyvatel, jak o něm hovořil *Dr. Krane*, hodnotil pozitivně, jako jeden z možných přístupů. U nás rozlišu-

jeme hluk z pozemní a letecké dopravy. Dopravní hluk z komunikace je jednostranný, zatímco letecký působí ze všech stran. Dotazoval se zda v SRN je v metodice výpočtu zahrnuta nějaká forma hodnocení různého hluku. Z odpovědi vyplynulo, že se vychází z rozdílných hodnot ohrožení, které jsou založeny na rozdílném působení hluku na člověka. Zvýšením hluku z dopravy o 1 dB (A) se zvyšuje počet postižených o 3 %.

Další skupina referátů se týkala ochrany venkovního ovzduší. *J. Kurfürst* referoval o informačním systému ochrany ovzduší v ČSR a jeho využití v Praze. Prognózní a signální systém je komplexní a veškeré informace se soustředí do jednoho centra. Systém je založen na emisních a imisních informacích a doplňkových informacích meteorologických. Okamžitá imisní situace se zjišťuje na základě imisního monitoringu a podle ní se provádí regulační opatření. Informace o emisích se získávají výpočtem u menších zdrojů jako jsou lokální topení a z emisního katastru REZZO u ostatních zdrojů. Velmi názorný byl promítнутý histogram emisí SO<sub>2</sub> zdrojů označených čísly a seřazených podle velikosti. Emise v závislosti na čísle zdroje klesají exponenciálně. Rozhodující jsou tudíž zdroje na počátku řady, zatím co emise zdrojů vyšších čísel řady tvoří jen malé procento.

V koreferátu informoval *M. Pütz* o signálně začínajícím varovném systému při smogových situacích v pěti oblastech SPV. Systém slouží pro výstrahu obyvatelstva a bylo o něm referováno již na sympoziu v r. 1985 v Praze. V SPV byly vydány již v roce 1964 zvláštní předpisy na ochranu před smogovým nebezpečím. V r. 1974 byly nahrazeny nařízením o smogu, vycházejícím ze spolkového zákona o ochraně proti imisím. Poslední úprava byla v roce 1985. Vyhlášení poplachových stupňů předchází předběžná výstraha, která není spojena s opatřením. Poplachové stupně jsou dva. Prvý vede k zákazu automobilové dopravy v době 6 až 10 a 15 až 20 hodin ve vyznačených oblastech. V průmyslových kotelnách se smí topit jen palivem s nízkým obsahem síry. Druhý stupeň představuje akutní nebezpečí a znamená zákaz automobilové dopravy v uzavřených oblastech a zákaz provozu průmyslových zařízení. Smogový poplach a jeho stupeň se vyhlašují rozhlasem a tiskem. Systém vyžaduje uvědomovací kampaň o smogových situacích ve veřejných sdělovacích prostředcích, jejichž smyslem je zevrubně informovat obyvatelstvo. Systém je založen na meteorologických údajích o inverzi a rychlosti větru (závažná situace při výšce inverzní vrstvy do 700 m a rychlosti větru do 1,5 m/s v průměru během dvacáti hodin) a na údajích 42 měřicích míst s kontinuálním měřením SO<sub>2</sub>, CO, NO<sub>x</sub> a prachu. Úřady jsou oprávněny vydat výjimky ze zákazu dopravy. Vyhlášení poplachových stupňů, zejména stupně 2, před zahájením školního vyučování znamená též osvobození od školní docházky.

Referát *J. Materný* se týkal lesního hospo-

dářství v imisemi zatížených oblastech ČSR. Účelem je zpomalit postup poškozování, neboť cíl dosáhnout koncentrace  $\text{SO}_2$  pod  $20 \mu\text{g}/\text{m}^3$  bude těžko dosažen. Koncentrace se pohybuje v rozmezí 10 až 100  $\mu\text{g}/\text{m}^3$  a většina našich lesů je v oblasti 20 až 40  $\mu\text{g}/\text{m}^3$ . Smyslem prováděných opatření je zvýšit stabilitu porostu. V půdě je významný pokles vápníku, draslíku a magnézia. Proto jsme přikročili k vápnění lesů. V letech 1986 až 1990 bude povápněno 100 000 ha lesa. Vyskytuje se tzv. novodobé poškození lesa způsobené řadou dalších láték, ale není u nás tak významné.

V koreferátu hovořil O. A. Schmitt o konцепci výzkumu „Znečištění ovzduší a škody na lesních porostech“. Přes úspěchy v boji proti emisím škod pokračují. Bylo dosaženo snížení koncentrací  $\text{SO}_2$  a  $\text{NO}_x$ , vznikají však nové škody ve vzdálenějších oblastech od průmyslu. Tato nová poškození se vyskytují náhle a SPV je jimi silně postiženo. SPV je v poškození lesů na 5. místě v SRN. Zvláště poškozeny jsou západní a jihozápadní části Bavorského lesa, a to na částech odvrácených

od ČSSR. Nedostatek výživy lesů vede při stejném znečištění ovzduší ke zvyšujícímu se poškození lesa. Citovaný výzkum byl vyhlášen zemskou vládou SPV 4. 9. 1984 a v koreferátu byl uveden příklad řešení v Eggegebirge, vzdáleném od SPV 130 km vzdoušnou čarou. Měří se prach a chemické škodliviny, sledují se biologické parametry, provádí se epidemiologický průzkum a studuje se patogeneze novodobých škod v lesích.

Na dotaz v diskusi odpovídal J. Materna, že k vápnění lesů u nás je potřeba 100 000 t/rok dolomitického vápence, tj. 3 t/ha. Pokud jde o působení fluóru, dochází k poškození od  $0,3 \mu\text{g}/\text{m}^3$  v některé době v Krušných horách při spalování uhlí s vyšším obsahem fluóru. Průměrné roční koncentrace  $\text{NO}_x$  jsou pod  $20 \mu\text{g}/\text{m}^3$ , špičkově se vyskytne koncentrace i  $1 \text{ mg}/\text{m}^3$ . Více je  $\text{NO}_2$  než  $\text{NO}$ .

Další informace ze sympozia a z exkurze do závodu Bayer-Leverkusen a do těžební oblasti povrchových dolů uveřejníme v příštím čísle tohoto časopisu.

(Oppl)

## QUEST MICRO 15 — NOVINKA MEZI PŘÍSTROJI NA MĚRENÍ ZVUKU

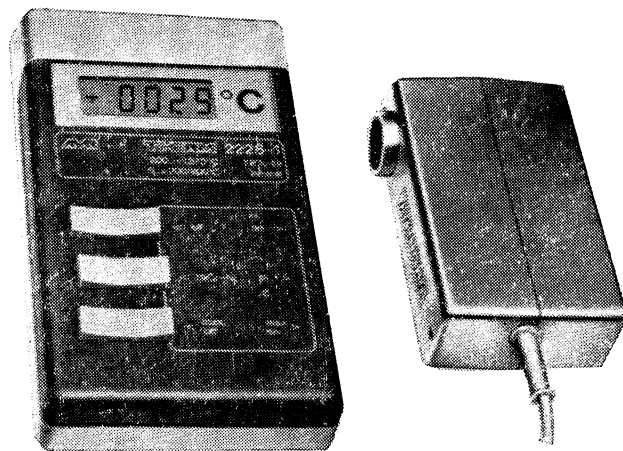
Quest Micro 15 — Tento nový expozimetr hluku je vybaven mikropočítacem a je schopen současně kontrolovat 15 funkcí. Kromě toho je možno jej použít jako integrační zvukoměr. Přístroj sdělí na pouhý stisk tlačítka tři různé zvukové expozice, tři střední hladiny, dvě střední hodnoty s časovým hodnocením, hladinu zvukové expozice, hladinu zvuku při časové charakteristice  $S$  („Pomalý“), dobu měření, dobu trvání přestávky a dobu, po kterou je překročena určitá předem nastavená hladina zvuku. Vnitřní přepínače dovolují individuální programování, tj. nastavení 6 prahových hodnot, 4 činitelů bisekce a 4 ekvalizačních hladin. K dispozici jsou 2 měřicí rozsahy, 2 hraniční hladiny a 2 frekvenční vaření.

Naměřené údaje uložené ve vnitřní paměti mohou být vytisknuty pomocí dvou výstupů. Výstupy lze použít i pro jiné další zpracování naměřených údajů.

Přístroj Quest Micro 15 používá jako zdroj 9 V destičkovou baterii, která vydrží 80 hodin provozu. Lze s ním měřit při teplotách od  $-10$  do  $+50^\circ\text{C}$  a relativní vlhkosti do 95 %. Rozměry přístroje jsou  $64 \times 130 \times 33 \text{ mm}$  a má hmotnost asi 315 g. Vyrábí ho fy AIRFLOW Luftechnik GmbH, NSR.

(Mastik)





Obr. 1.

Firma Ahlborn (NSR) nabízí dva nové přístroje k bezdotykovému měření povrchových teplot. Jsou to:

**Therm 2228 (obr. 1)**

Přístroj řízený mikroprocesorem je vybaven IR čidlem Typ I 9628.

Rozsah: —30 až +70 K (0,1 K)  
0 až +200 K (0,1 K)  
0 až +800 K (1,0 K)

Linearizace:  $\pm 0,05$  K

Spektrální rozsah: 8 až 14  $\mu\text{m}$

Součinitel sálavosti nastavitelný v rozmezí:  
0,25 až 1

Výstupní napětí pro registraci: 0,1 mV/digit  
(Bašus)

**Infrarot — transmitter serie ET (obr. 2)**

Přístroj převádí dopadající sálavý tok na linearizovaný výstupní signál 4 až 20 mA



Obr. 2.

s přesností 1 %. Celkový rozsah je 0 až 800 K, spektrální rozsah je 8 až 14  $\mu\text{m}$ . Poskytuje možnost měření v prostředí do +60 K, s přídavným, vodou chlazeným pláštěm do teploty +170 K.

(Bašus)

**● Odlučovače do ČLR**

Vzduchotechnický závod ZVVZ Prachatice se podílí na dodávkách technologického zařízení pro parní elektrárnu 2 × 500 MW SHEN TOU v Čínské lidové republice.

Závod bude dodávat pro kompletační zařízení ZVVZ k. p. Milevsko mokré hladinové odlučovače typu MHL pro odlučování prachu.

Dodávky se uskutoční v roce 1988 na základě zahraničního kontraktu PZO Škoda-export Praha a vládního usnesení. V letech 1986—1987 proběhne předvýrobní příprava včetně konstrukčně technologického zpracování zakázek.

(SN)

**ASHRAE Journal 28 (1986), č. 6**

- Residential heat recovery (Zpětné získávání tepla v bytové výstavbě) — Perlman M., Mills B. E., 28—32.
- Variable flow pumping? (Čerpadla s proměnným průtokem?) — Albern W. F., 34—36.
- Indoor air quality (Kvalita vnitřního vzduchu) — McNall P. E., 39—42, 44, 46, 48.
- A new angle in software (Nový prvek v software) — Dupre E., 50—52.

**Die Kälte und Klimatechnik 39 (1986), č. 6**

- Jahrestagung des Deutschen Kälte- und Klimatechnischen Vereins (DKV) 1985 in Aachen (Výroční zasedání Německého svazu chlazení a klimatizace (DKV) v r. 1985 v Aachen) — Heinze K., 254, 256, 258, 260, 262, 264, 266.
- Leipziger Messe 16. bis 22. März 1986 (Lipský veletrh od 16. do 22. března 1986) — Enke G. Ch., 278, 280.

**Heating, piping, air conditioning 58 (1986), č. 6**

- HPAC Info-dex 86/87 (Adresář výrobčů a přehled výrobků vytápěcí, větrací a klimatizační techniky).

**Heating, piping, air conditioning 58 (1986), č. 7**

- Application of combined VAV air handlers and DX cooling HVAC packages (Použití kombinovaných klimatizačních jednotek s proměnným průtokem vzduchu a balených klimatizačních a chladicích jednotek) — Scolaro J. F., Halm P. E., 71—82.
- Ceiling mounted air conditioning units (Klimatizační jednotky umístěné ve stropě) — McGuire A. B., 89—95.
- Avoiding refrigeration condenser problems: I (Předcházení problémů s kondenzátory pro chlazení) — Cole R. A., 97—102, 105—108.
- New heating/cooling system for motel modernization (Nový vytápěcí a chladicí systém pro modernizaci motelu) — Zaretsky R. V., 111—113.
- New ways to communicate with a building automation system (Nové způsoby komunikace s automatizovaným systémem budovy) — Heller R., 117—121.
- Electronic controllers (Elektronické regulátory) — Thompson R. E., 123—126.
- Air transport factor: opportunities and limitations (Faktor dopravy vzduchu: možnosti a omezení) — Coad W. J., 131—133.

**Heating, piping, air conditioning 58 (1986), č. 8**

- VAV system enhancements (Zdokonalení klimatizačního systému s proměnným prů-

tokem vzduchu) — Gunthermann A. E. s. 67—78.

— The case for certified ratings (Údaje nutné pro akustickou analýzu klimatizačního systému) — Reese J., 85—87.

— 20 years of cogeneration at a hospital (20 let získávání odpadního tepla v nemocnici) — Gamze M., Michaels G., 91—96.

— Clean cooling systems minimize Legionella exposure (Čisté chladicí systémy minimalizují nebezpečí bakterií Legionella) — Meitz A. K., 99—101.

— Sizing and application of large thermostatic water mixing valves (Dimenzování a použití velkých termostatických ventilů pro směšování vody) — Wilcox G. L., 107—112.

— Comfort conditioning in large pump stations (Klimatizace velkých čerpacích stanic) — Lynch M., McCarty R., 115—119.

— Avoiding refrigeration condenser problems: II (Zabránení problémů u chladicích kondenzátorů) — Cole R. A., 123—131.

— HVAC design errors? (Chyby v projekci vytápění, větrání a klimatizace) — Jourdan J., 135—136.

— Research, theory, practice (Výzkum, teorie a praxe v oblasti vytápění, větrání a klimatizace) — Haines R. W., 138.

**Luft- und Kältetechnik 22 (1986), č. 2**

— Wärmepumpenanlage für Schwimmbadheizung (Tepelná čerpadla pro vytápění plaveckých bazénů) — Schneider F., 66—67.

— Zur Leistungsbestimmung von Wärmeübertragern — Bewertung von Leistungsmessungen (Ke stanovení výkonu tepelných výměníků — zhodnocení měření výkonu) — Wunderlich D., 68—71.

— Die Kombination Wärmeübertrager-Stellventil als verfahrenstechnische Einheit in der Lüftungstechnik und Einfluss der Regelgüte auf den Betriebsmittelverbrauch einer einfachen Anlage (Kombinace výměník tepla — regulační ventil jako jednotka v klimatizační technice a vliv jakosti regulace na spotřebu provozních prostředků jednoduchého zařízení) — Zietlow I., 72—74.

— Akustische Untersuchungen an statischen Lüfern in Reisezugwagen (Akustická šetření na statických ventilátorech ve voze cestovního vlaku) — Iwainsky H., 79—82.

— Die energetische Wirksamkeit 2kanaliger lüftungstechnisch angekoppelter Aussenbauwerksteile; 2 Teil: Verhalten der Aussenbauwerksteile (Energetická účinnost dvoukanálových vzduchotechnicky vázaných vnějších stavebních dílů: 2. díl: Chování vnějších stavebních dílů) — Petzold K., 84—87.

— Lüftungstechnik in Mittel- und Grossküchen (Větrací technika ve středních a velkých kuchyních) — Korneli E., 92—94.

— Proportionalität der Geschwindigkeitsfelder

in Strömungssystemen mit unterschiedlichen Werten der Ähnlichkeitskennzahlen (Úměrnost rychlostních polí v systémech proudění s různými hodnotami charakteristických čísel podobnosti) — *Beyersdorfer S.*, 94—95.

— Vorstellung der GAB-Standards für Entstaubungsanlagen TGL 30830/01 und 02 (Představení norem na ochranu zdraví, bezpečnost práce a protipožární ochranu pro odprašovací zařízení TGL 30830/01 a 02) — *Lukas W.*, 96—97.

— Luftentfeuchten mit Reisezugwagen-Klimaanlagen (Odvlhčování vzduchu klimatizačními zařízeními pro vozy cestovního vlaku) — *Schmidt M., Schroth H. H.*, 98—101.

— Erdwärme- und Sonnenenergienutzung für ein Zweifamilienhaus (Využití geometrické a sluneční energie pro dům pro dvě rodiny) — *Krug W.*, 101—103.

— Luftfilterung und Luftkühlung in Käsereien (Filtrace vzduchu a chlazení vzduchu v sýrárně) — *Rubzov J. A.*, 104—105.

### Sanitär- und Heizungstechnik 51 (1986), č. 3

— „Wir folgen jedem Ölpreis“ (Olej v energetické bilanci NSR) — *Spath F.*, 134—137.

— Es begann im Iran (Zásobování energií z Blízkého východu) — 138—140, 142.

— Kontrollieren Sie Ihre Projektkosten! (Důsledná kontrola projektů je nutná) — 141 až 142.

— Kunststoffanstrich kein ausreichender Korrosionsschutz (Povlaky z umělých hmot nejsou vyhovující ochranou před korozí) — *Saunus Ch.*, 143—146, 149.

— Weg von der Wand und nachträglich einzubauen (Koupenly budoucnosti) — 147—149.

— Belastung von Rauchabzugsgeräten bei Windangriff (Zatištění kouřových odtahů při nárazech větru) — *Gerhardt H. J., Krammer C.*, 150—152.

— Korrosion bei weit geringeren Sauerstoffgehalten möglich (Koroze je možná i při velmi malém obsahu kyslíku) — *Stichel W.*, 153 až 154.

— Haushalt und Kleinverbrauch sind nicht ohne Schuld (5) (Domácnosti a maloobděl také znečištějí ovzduší — díl 5) — *Göddeke H.*, 155—158 pokrač.

— Elektrotechnik — Elektronik 32. Teil (Elektrotechnika — elektronika — díl 32) — *Schrawang H.*, 162—163 pokrač.

— MSI: Rauchgas-Analyse auf zwölf Werte (Firemní sdělení: Analysátor kouřových plynů) — 177—178.

— eht Siegmund: Luft als Medium für die Fussbodenheizung (Firemní sdělení: vzduch médiem pro podlahové vytápění) — 180.

### Sanitär- und Heizungstechnik 51 (1986), č. 4

— Ein recht attraktives Volumen (Zvětšování potenciálu energetických zdrojů v NSR) — 204—205, 222.

— Manager für ein Taschengeld (Socializované zemědělské družstvo v Izraeli) — 206—210.

— Wollwarm im Hallenbad Süßen (Využívání tepla v halových lázních) — 211—212.

— Berechnung von Fussbodenheizung mit programmierbaren Taschenrechner (PTR) (Výpočet podlahového vytápění na programovaném kapesním počítači) — *Edelbluth W.*, 215—217.

— Singles bestimmen das Wohnniveau (Studie struktury obyvatel NSR) — 218—220.

— Kohleverflüssigung: Niedriger ölprix hat Entscheidung verlagt (Ústup uhlí pro nízké ceny topných olejů) — *Nagel S.*, 221—222.

— Haushalt und Kleinverbrauch sind nicht ohne Schuld (6) (Domácnosti a maloobděl také znečištějí ovzduší — díl 6) — *Göddeke H.*, 225—228 pokrač.

— Sparsam und funktionell (9) (Úsporný a funkční výukový plavecký bazén — díl 9) — *Saunus Ch.*, 229—232.

— Wilo: Montieren statt installieren mit vorgefertigter Wärmeleitzentrale (Firemní sdělení: zařízení topných centrální) — 238.

— Golan-Plastik: VPE-Rohre aus dem Kibbuz (Firemní sdělení: potrubí z umělých hmot. z K., viz „Manager für ein Taschengeld“ str. 206) — 240—242.

— Viessmann: Erweiterter Aufgabenbereich von Nebenluftvorrichtungen (Firemní sdělení: zařízení na přídavný vzduch) — 247—248.

### Sanitär- und Heizungstechnik 51 (1986), č. 5

— Die Gefahr der Lokalkorrasion kann sich erhöhen (Prostředky ke zpomalování koroze potrubí při podlahovém vytápění) — *Dehnen*, 270—273.

— SHT-Diskussion „Kooperationsmodelle Handel/Handwerk/Industrie“ — Diskuse k problematice realizace modelu kooperace obchod/malovýroba/velkovýroba) — 274—293.

— DLK: Statt Sonderventilatoren Anwendungs-lösungen aus der Serie (Firemní sdělení: specializace ve výrobě ventilátorů) — 309—310.

— Vogel: Unbedenkliches Verfahren zum Schutz vor Ablagerungen und Korrosionen (Firemní sdělení: protikorozní ochrana bez chemikálií) — 310.

— Amcor: Deutsche Versandhäuser Kunde (Firemní sdělení: chladicí systémy, sluneční kolektory) — 312—313.

### Stadt- und Gebäudetechnik 40 (1986), č. 1

— 40 Jahre „Stadt- und Gebäudetechnik“ (40 let časopisu) — *Witte U.*, 1.

— Projektierungsgrundlagen für das energieökonomische Bauen (Projekční podklady pro energeticky ekonomické budování dálkových tepelných rozvodů) — *Rinas F., Sellnau W.*, 2—3.

— Erfahrungen bei der Auslegung und Betriebsführung von Heizzentralen mit alternativen Energiequellen (Zkušenosti s řízením a provozem otopných centrál, využívajících různé energie) — *Hesse W., Zschernig J.*, 4—8.

- Energieökonomische Konzeptionen für die Gebrauchswarmwasserbereitung mittels Fernwärme auch bei niederen Heizwassertemperaturen (Energetické ekonomie koncepcie přípravy teplé užitkové vody za pomoci dálkového tepla při nižších teplotách vody na vytápění) — *Gläser G.*, 8—11.
- Aspekte und Tendenzen bei der Entwicklung von Hausanschlusstationen (Hlediska a vývojové tendenze domovních výměníkových stanic) — *Sternberg P.*, 11—13.
- Direktwirkende mechanische Regler in Stationen der Fernwärmeverversorgung und ihre Auswirkungen auf die technische Konzeption (Mechanické regulátory přímo působící, použité ve stanicích dálkových tepelných rozvodů a jejich vliv na technickou koncepci) — *Meyer J.*, 13—15.
- Fragen der Systemgestaltung in der Fernwärmeverversorgung (Otázky systémového tvarování v dálkovém zásobování teplem) — *Pottel R., Schörel G.*, 15—17.
- Möglichkeiten der Integration industrieller Wärmeverbraucher in Heisswassersysteme (Možnosti integrace průmyslových spotřebičů tepla v horkovodní systém) — *Reetz B.*, 18—21.
- CAD/CAM in der technischen Gebäudeausrüstung — Ziele und Aufgaben im VEB Kombinat Technische Gebäudeausrüstung (Automatizace v technických zařízeních budov v NDR) — *Strobel B., Liebermann H.*, 21—22.
- Mikrorechnergeschützte Automatisierung von wissenschaftlich-technischen Experimenten sowie von Mess- und Prüfprozessen in der Heizungs-, Lüftungs- und Sanitärtechnik (Mikropočítacem chráněná automatizace vědecko-technických experimentů stejně jako měření a zkoušení ve vytápění, větrání a zdravotní technice) — *Fürst W., Kramer M.*, 23—26.
- Bemerkungen zur Gestaltung der Fachbereichsstandards TGL 20399 „Rohrleitungen, Durchflussgeschwindigkeiten“ (Poznámky k oborové normě TGL 20399 „Potrubí, průtokové rychlosti“) — *Gall R.*, 28—30.
- Staub Reinhaltung der Luft 46 (1986), č. 5**
- Stand der Entwicklung von Elektroabscheidern in der DDR (Stav vývoje elektrických odlučovačů v NDR) — *Nindelt G., Lukas W., Hahn A., Müller G.*, 225—229.
- Entstaubung bei der mechanischen Bearbeitung von Graphitteilen (Odprášování při mechanickém opracování grafitových dilů) — *Stanov T., Sarbinova W., Mitowsky M., Kamburova L.*, 230—232.
- Biologische Abluftreinigung mit Hilfe eines neuartigen Permeationsreaktors (Biologické čištění odpadního vzduchu moderním reaktorem propustnosti) — *Bäuerle U., Fischer K., Bardike D.*, 233—235.
- Teer, Pech, Teeröl, Bitumen — Verarbeitung, Verwendung, Arbeitsplatzbelastungen (Dehet, smůla, dehtový olej, živice — rozšíření, použití, znečištění pracoviště) — *Saathoff G., Schecker H. G.*, 235—238.
- Zur Schutzwirkung einer partikelfiltrieren- den Leichtmaske gegenüber Mehlstaub (K ochrannému účinku lehké protiprášné filtrační masky proti moučnému prachu) — *Woitowitz H. J.*, 239—242.
- Untersuchungen zur Oxidantienbildung in der verunreinigten Troposphäre (Šetření, prováděná k problému tvorbení oxidantů ve znečištěné troposféře) — *Georgii H. W., Neuber E.*, 243—249.
- Emissionsmessung von Metallen, Halbmetallen und ihren Verbindungen (Měření emise kovů, polokovů a jejich složek) — *Jockel W., Mistele J.*, 250—254.
- Entwicklung eines automatischen Luftprobennahmers für Labor- und Feldeinsatz (Vývoj automatického vzorkovače vzduchu pro laboratorní a polní použití) — *Haumold W., Ockelmann G., Georgii H. W.*, 255—256.
- Nichtabwaschbare Aerosolteilchen auf den Oberflächen von Koniferennadeln (Nesmytelné aerosolové částice na povrchu jehliček jehličnatých stromů) — *Simmler N., Rump H. H., Schulter H. R.*, 256—258.
- Die biologische Wirkung von Flugstäuben aus Steinkohlekraftwerken (Biologický účinek polétavých prachů z elektráren na kamenné uhlí) — *Misfeld J., Abel U.*, 259—260.
- Sechstes Internationales Symposium über inhalierte Partikeln (Šesté mezinárodní symposium o vdechovaných částicích) — *Spurný K.*, 260—263.
- Bedeutung der TA-Luft (Význam směrnice TA-Luft — technický návod k čistotě vzduchu) — *Otto F.*, 263—264.
- Verantwortlichkeit für Sondermüll aus Produktionsanlage (Odpovědnost za zvláštní odpad z výrobního zařízení) — *Otto F.*, 264.
- „Substitution von Asbest“ („Náhrada za asbest“) — *Köhling A., Lohrer W., Nantke H. J., Poeschel E., Schettler G.*, 265.
- Staub Reinhaltung der Luft 46 (1986), č. 6**
- Benzolexposition beim Umschlag von Ottokraftstoffen (Vystavení účinků benzolu při nahlém změně paliv pro zážehové motory) — *Schulz G.*, 273—275.
- Evaluation occupational exposure to man-made mineral fibre dust by a screening test (Posouzení vystavení pracovníků účinkům prachu z umělých minerálních vláken zkouškou proséváním) — *Breum N. O., Holst E., Schneider T.*, 276—280.
- Gefährdungspotential von Platinemissionen aus Automobilabgas-Katalysatoren (Potenciál nebezpečí platinových emisí z katalyzátorů výfukových plynů automobilů) — *Rosner G., Hertel R. F.*, 281—285.
- Untersuchungen zur Luftverunreinigung durch Mikroben und Staub (Studium znečištění vzduchu mikroby a prachem) — *Šimeček J., Kneiflová J., Štochl V.*, 285—289.
- Nachweis von aromatischen Peroxiden in Schwebstaubextrakten (Důkaz aromatických peroxidů v extraktech suspendovaného prachu) — *Stärk G., Stauff J.*, 289—291.
- Einige Ergebnisse der Messungen des

Niederschlagschemismus in der sozialistischen Republik Kroatien (Některé výsledky měření chemického složení spadu v Chorvatské socialistické republice) — *Poje D.*, 292—294.  
— Kartierung der Blei-, Kupfer-, Zink- und Cadmium-Belastung im Räume Zürich anhand des Mooses Bryum argenteum Hedw. als Biomonitor (Mapování znečištění prostoru Curychu olovem, mědí, zinkem a kadmiem za použití Moos Bryum Argenteum Hedw. jako biomonitoru) — *Thöni L., Schmid-Grob I., Hertz J., Urmi E.*, 295—399.

— Abscheidung von Ölnebeln aus der Abluft von Vergüteanlagen (Odlučování olejových mlh z odpadního vzduchu ze zařízení na tepelné zpracování) — *Winkelbauer W., Paul H., Baumhach G.*, 300—302.

Envitec '86 — Technik für Umweltschutz (Mezinárodní kongres a výstava „Envitec '86 — technika na ochranu životního prostředí“) — *Pfeiffer W., Kopp W.*, 302—304.

### Svetotechnika 55 (1986), č. 3

— Osnovnyje napravlenija razvitija svetotechničeskogo oborudovanija v 12-ju p'jatiletke (Hlavní zaměření rozvoje světelné technických zařízení v 12. pětiletce) — *Pljaskin P. V.*, 1—4.  
— Malomoščnyje lampy vysokogo davlenija (Žárovky s malým příkonem a velkým výkonem) — *Andrejev M. G., Vdovin V. G., Merkuškin V. V., Prytkov A. A.*, 56  
— Osveščenije torgovykh zalov moskovskogo univermag'a „Veňjak“ (Osvětlení prodejních prostorů moskevského obchodního domu) — *Tulčin I. K., Chalkovskij D. A., Šajchet A. A.*, 6—8.

— Ocenna svetovoju sredy Gosudarstvennoj Kartinnoj galerei SSSR (Hodnocení osvětlení ve Státní obrazárni SSSR v Moskvě) — *Kirejev N. N., Obolenskij N. V., Šangina E. V.*, 8—9.

— Propuskanije parallelnogo pučka lučej poly svrtvodom (Propustnost rovnoběžného svazku paprsků dutým světlovodem) — *Braslavskaja M. B.*, 12—13.

— Programma discipliny „Elektriciskeje osveščenije i oblučenije“ (Osnova oboru „Elektrické osvětlení a záření“) — *Kozinskij V. A.*, 15—17.

— Poluchenije projektnych dokumentov na EVM (Projektování počítačem) — *Jerošina T. D., Mosjakina O. I., Tiščenko N. A., Uvarova L. M.*, 17—18.

— Istočniki sveta na Ganoverskoj jarmarke (Světelné zdroje na Hannoverském veletrhu) — *Gornov V. O.*, 19—22.

### Svetotechnika 55 (1986), č. 4

— Itogi i perspektivy razvitiija svetotechničeskoj promyšlennosti (Výsledky a perspektivy rozvoje světelné technického průmyslu) — *Novoselov Ju. E.*, 3—4.

— Ocenka effektivnosti solncezaščity proizvodstvennych pomeščenii (Hodnocení účinnosti slunečních clon ve výrobních prostorách) — *Obolenskij N. V., Spiridonov A. V.*, 5—6.  
— Ustanovka dlja impulsnogo oblučenija semjan rastenij (Zařízení k řízenému ozařování rostlinných semen) — *Vasserman A. L., Volkov A. A., Kvašin G. N., Jakovlev S. V.*, 6—8.

— Vlijanje izgibov na parametry volokonnych svetvodov (Vliv ohybů na parametry vláknových světlovodů) — *Patlach A. L.*, 8—10.

— Osvěščenije terapevtičeskogo korpusa moskovskoj kliničeskoj bolnicy No. 7 (Osvětlení léčebného pavilonu Moskovské kliniky č. 7) — *Ananina R. G., Grigorjev B. E.*, 10—11.

— Pezoelektričestvo v svetotehnike (Piezoelektrina ve světelné technice) — *Klykov M. E., Medvid V. R., Tarasenko N. G., Ševčenko V. A., Jaremčuk R. Ju.*, 11—13.

— Vyraščivanije zelenyh ovošej pri iskusstvennom osveščenii (Pěstování zelené zeleniny při umělém světle) — *Arbuzova K. S., Kondenkova N. D., Litvinenko M. V., Malaškinu L. A., Muchanova Ju. I.*, 13—15.

— Osveščenije Detskogo muzykalnogo teatra v Moskve (Osvětlení moskovského Dětského divadla hudby) — *Lachuti G. G.*, 17—18.

— K rasčetu osvetitelnoj ustanovki točečnym metodom na mikro EVM (Výpočet osvětlovaciho zařízení tokovou metodou na mikropočítači) — *Kušč O. K., Utkin V. N.*, 18—20.

— Fotometrija i kolorimetrija (Fotometrie a kolorimetrie — přehled) — *Dojnikov A. S.*, 20—23.

— Materialy po elektriciskej časti osvetitelnyx ustanovok (Materiály pro elektroinstalaci v osvětlovacích soustavách) — *Kljujev S. A.*, 23—26.

### Vodosnabženie i sanitarnaja technika (1985), č. 11

— Stočnye vody proizvodstva kremnjorganičeskikh soedinenij (Odpadní vody z výroby kremíkových sloučenin) — *Skirdov I. V., Pavilonskaja L. M., Varežkin Ju. M., Michajlova A. N.*, 4—5.

— Očistka stočnych vod ščeločnogo travlenija pečatnyx plat (Čištění odpadních vod z alkaličkého leptání tiskových desek) — *Karelin Ja. A., Jakubovskij E. P.*, 5—7.

— Aktivnye ugli iz otrabotannyx avtopokryšek dlja očistci stočnych vod (Aktivní uhlí z ojetých autopláštěí pro čištění odpadních vod) — *Jacevskaja M. I., Zagorovskaja A. A., Artemova T. A., Frolova M. N.*, 7—8.

— Izmel'čenie tverdych bytovych otchodov (Drcení tuhého domovního odpadu) — *Raznoščik V. V., Bobrov A. G.*, 9—11.

— Novye paketnye vozdušnye fil'try CNIIIPromzdanij (Nové filtry vzduchu) — *Pirunov A. I., Brodskij I. I., Poletika N. N., Tabačnikov G. I., Kalinin V. N., Mjagkova L. I.*, 12—14.

— Železobetonnye napornye truby centro-bežno-prokatnoj technologii (Železobetonové tlakové potrubí technologie odstředivého válcování) — *Dikarevskij V. S., Jakubčík P. P., Smirnov Ju. A.*, 16—17.

— Efektivnost' apparatov očistki vody v rybovodnych ustanovkach (Účinnost zařízení pro čištění vody v sádkách) — *Koren'kov V. N., Zigin A. V., Kalinin A. V., Marčenko A. A.*, 18—20.

— Povyšenie nadežnosti teplosnabženja potrebitelej ot TEC i krupnych kotel'nych (Zvýšení spolehlivosti zásobování teplem z tepláren a skupinových kotelen) — *Gromov N. K.*, 21—22.

— Regulirowanie estestvennykh pritočnych sistem ventiliacii (Regulace systémů přiroděného větrání) — *Erdman N. V., Krjukov Ju. M.*, 23—24.

— Abrazivnyj iznos v sisteme gorodskoj kanalizacii (Abrazivní opotřebení systému městské kanalizace) — *Volovik I. N.*, 24.

— Soveršenstvovanie norm vodopotrebljenija dlja žilich zdanij (Splňení norm spotřeby vody pro obytné budovy) — *Šopenskij L. A., Kožinova A. A.*, 25—27.

— Ne zagrjaznjajuču sredu (Bez znečištění životního prostředí) — 28.

— Naučno-tehničeskij progress v oblasti očistki stočnych vod (Vědeckotechnický pokrok v oblasti čištění odpadních vod) — 29—30.

## Vodosnabženie i sanitarnaja technika (1986), č. 1

— O gidravličeskom rasčete truboprovodov gorjačego vodosnabženija (Hydraulický výpočet horkovodního potrubí) — *Gejnc V. G., Ševelev A. F.*, 5—6.

— Primenenie metoda fiktivnykh raschodov pri proektirovani SPRV (Použití metody fiktivních průtoků při projektování systémů rozvodu vody) — *Mošnin L. F.*, 6—8.

— Korrozija stal'nych truboprovodov v reči vode (Koroze ocelových potrubí v říční vodě) — *Kuľskij L. A., Kruglickij N. N., Žantalaž B. P., Rubežanskij K. A., Vasil'eva V. P.*, 9—10.

— Rabota regeneratorov v uslovijach inee-obrazovanija (Funkej regeneračních výměníků při tvorbě jinovatky) — *Karpis E. E., Poz M. Ja., Granovskij V. L.*, 10—12.

— Reagentnoe umjagčenie vody v osvetliteljach (Reagenční změkčování vody v čiřících) — *Berešovič A. Ch., Gutnikova R. I., Amosova E. G.*, 15—16.

— Rasčet poter' i podsosov vozducha v ventilacionnyh setjach (Výpočet ztrát a přisávání vzduchu ve větracích sítích) — *Mekler V. Ja., Ovčinnikov P. A., Gusev A. Ju.*, 17.

— Opredelenie parametrov omagničivaniya vody po ugliu smaččivaniya (Stanovení parametrů magnetizace vody podle úhlu smáččnosti) — *Žadneprovskij R. P.*, 18.

— Izvest' dlja obezzaraživaniya i sniženija vlažnosti osadkov stočnych vod (Vápnovo pro dezinfekci a snížení vlhkosti kalů odpadních vod) — *Turovskij I. S., Koljučeva S. G., Zaen I. Ch.*, 19—20.

— Doočistka poverchnostnych stočnych vod fil'trovaniem čerez listovoj penopoluiretan (Dočištění povrchových odpadních vod filtrováním přes deskový pěnový polyuretan) — *Mel'cer V. Z., Kazarjan V. A., Zuletova N. A., Sarkisjan Ch. K.*, 21—23.

— Stroitel'stvo nasosnoj stanice sposobom „na plavu“ (Výstavba čerpací stanice) — *Dinel't Ju. B., Lerner V. I., Čumakov Ju. I.*, 24—25.

— Plastmassovye truby dlja sbrosa očiščennyh stočnych vod (Potrubí z plastických hmot pro odvod vyčištěných odpadních vod) — *Fedorovskij N. N.*, 25—26.

— Kondensacionnye otopitel'nye kotly — novoe pokolenie ekonomičnych teplogeneratorov (Kondenzační kotle — nová řada úsporných generátorů tepla) — *Basin G. L., Orlov L. S.*, 27—29.

## Vodosnabženie i sanitarnaja technika (1986), č. 2

— Dvuchstupenčatoe fil'trovanie dlja očistki rek severnyh rajonov (Dvoustupňová filtrace pro čištění řek v severních oblastech) — *Neparidze G. G., Grošev S. K., Trofimova R. A.*, 4—5.

## Vodosnabženie i sanitarnaja technika (1985), č. 12

— Obrobotka osadkov pervičnykh otstojnikov v gidrociklonach (Zpracování kalů z usazovacích nádrží v hydrocyklonech) — *Najdenko V. V., Agranorik R. Ja., Lipmanovič V. Ju.*, 5—7.

— Soveršenstvovanie technologii nejtralizacii kislych stočnych vod (Technologie neutralizace kyselých odpadních vod) — *Chamzeneva V. G., Gimperl S. B., Pesockaja V. V., Morozov A. E.*, 7—8.

— Novyy apparat — tonkoslojnyj flokuljator (Nové zařízení — flokulátor s tenkou vrstvou) — *Epštejn S. I., Muzykina Z. S.*, 9—10.

— Peredvižnaja kotel'naja na gazoobraznom toplive (Mobilní kotelná na plynné palivo) — *Tereščenko V. G., Makarov A. S., Babakov A. N., Ivaniščev S. G.*, 11—12.

— O normach kachestva podpitočnoj i setevoj vody teplovych sítej (Kvalitativní normy vody tepelných sítí) — *Meščerskij N. A., Reznik Ja. E.*, 12—13.

— Isskustvennoe ozonirovanie vozducha (Umělá ionizace vzduchu) — *Murakov A. P., Sikov Ju. A., Spiridonov Ju. L., Mironov V. P.*, 16—17.

— Kompleksnaja razrabotka artezianskogo vodozabora i geotermal'nogo mestoroždenija (Komplexní vypracování plánu jímání vody artézským způsobem) — *Gajdarov G. M., Kurbanov M. K., Alchasov A. B.*, 18.

— Očistka vysokocvetnych vod severnych regionov strany (Čištění vod s vysokým obsahem kovů v severních oblastech SSSR) — *Draginskij V. L., Evtifeev Ju. P., Dokudovskaja S. A., Cyplakova G. V., Truchina G. M., Gajazov R. G.*, 6—8.

— Metody sníženja koncentracii ostatočnogo aljuminija (Metody snížení koncentrace zbytkového hliníku) — *Apel'cina E. I.*, 8—10.

— Stancii očistki podzemnyh vod v Tjumenskoj oblasti (Stanice pro čištění podzemních vod v Tjumenské oblasti) — *Artemenok N. D.*, 11—12.

— Ob'edinennyj ventiljacionnyj blok, sovmešennyj s sanitarno-techničeskoj kabinoj (Větrací jednotka spojená s bytovým jádrem) — *Fel'dman I. N., Pavlinova I. B.*, 12—14.

— Novye vodosčetčiki (Nová měřidla spotřeby vody) — *Dobrovol'skij R. G., Majzel's M. P., Mordjasov M. A., Konoplev Ju. S., Šonin L. N., Abramovič V. L., Avad'ev B. V.*, 15 až 17.

— Očistka bytovych stočnych vod na Kraji Severe (Čištění odpadních vod z domácností na Dalekém severu) — *Močalov I. P.*, 18—19.

— Plavučij vodopriemnik i sifonnyj vodovod v surovom klimate (Plovoucí odběrné zařízení pro vodu a sifonový vodovod v drsném klímu) — *Bukatnikov V. D., Manul' V. K.*, 19—20.

— Novye teploventiljatory dlja životnovodčeskich ferm i kompleksov (Nové ventilátory pro vytápění objektů živočišné výroby) — *Borčenko D. N.*, 21—22.

### Vodosnabženie i sanitarnaja technika (1986), č. 3

— Preobrazovateli častoty dlja kanalizacionych nasosnych stancij (Směšovač pro kanalizační čerpací stanice) — *Barn A. Ju., Epštejn I. I., Pak V. N.*, 4—5.

— Izmenenie technologičeskikh pokazatelej zagruzki vodočistnyh fil'trov (Změna technologických ukazatelů zátěže filtrů pro čištění vody) — *Strelkov A. K., Gorbunov Ju. F., Dmitriev V. D.*, 5—6.

— Jedinnye ventiljacionnye centry promyšlennych zdanij (Větrací centrály průmyslových budov) — *Stromova K. G.*, 7—8.

— Ispol'zovanie gaza v sistemach pritočnoj ventiljaci (Využití plynu v systémech přetlakového větrání) — *Ufimcev G. N., Carev V. K., Sviridova T. S.*, 9—11.

— Očistka poverchnostnych stočnych vod tonkoslojnym otstaivaniem (Čištění povrchových odpadních vod sedimentací v tenké vrstvě) — *Kazarjan V. A., Sarkisjan Ch. K., Zaletova N. A., Korabel'nikov V. M.*, 14—15.

— Analitičeskaja optimizacija biologičeskikh fil'trov s ob'emnoj zagruzkoj (Analytická optimalizace biologických filtrů s objemovým zatížením) — *Dmitrievskij N. G.*, 16—18.

— Mechaničeskoe obezvoživanie osadkov poverchnostnych prirodnyh vod (Mechanická dehydratace kalu povrchových přírodních vod) — *Ljubarskij V. M., Fedorov A. I., Beljaeva S. D., Baburov O. G.*, 19—21.

— Nomogrammy dlja hidravličeskogo rascēta trub gorjačego vodosnabženija (Nomogramy pro hydraulický výpočet teplovodního potrubí) — *Gejnc V. G., Sevelev A. F.*, 22—23.

— Prodlenie rabotosposobnosti armatury (Prodloužení životnosti armatury) — *Mičchajlov S. A.*, 24.

— Sezonnoe akkumulirovanie javnoj teploty (Sezónní akumulace zjavného tepla) — *Karpis E. E., Subbotina T. L.*, 25—28.

**Ztv**

**2**

Zdravotní technika a vzduchotechnika. Ročník 30, číslo 2, 1987. Vydařá český výbor komitétu pro životní prostředí ČSVTS v Academii, nakladatelství Československé akademie věd, Vodičkova 40, 112 29 Praha 1. Adresa redakce: Dvorecká 3, 147 00 Praha 4. — Tiskne Tisk, knižní výroba, n. p., 656 01 Brno, závod 1. — Vychází šestkrát ročně. Rozšířuje PNS. Informace o predplatném podá a objednávky přijímá každá administrace PNS, pošta, doručovatel a PNS ÚED Brno. Objednávky do zahraničí vyřizuje PNS-ústřední expedice a dovoz tisku Praha, závod 01, administrace vývozu tisku, Kafkova 19, 160 000 Praha 6. Cena jednoho čísla Kčs 8,—, roční předplatné Kčs 48,—. (Tyto ceny jsou platné pouze pro Československo.)  
Distribution rights in the western countries: Kubon A Sagner, P.O. Box 34 01 08, D-8000 München 34, GFR.  
Annual subscription: Vol. 30, 1987 (6 issues) DM 110,—.

Toto číslo vyšlo v dubnu 1987.

© Academia, Praha 1987.